

ESTUDIO DE LOS METODOS PARA LOCALIZAR FALLAS EN CABLES SUBTERRANEOS DE SISTEMAS DE DISTRIBUCION ELECTRICA

INVENTARIADO

19/11/2015

POR : TESIS DE GRADO PREVIA LA OBTENCION DEL
TITULO DE INGENIERO EN ELECTRICIDAD

Liliana O
16/12/17

3 SEP 2018
Liliana O

POR :

GUILLERMO MACIAS GONZALEZ

ESCUELA SUPERIOR POLITECNICA DEL LITORAL

GUAYAQUIL - ECUADOR

7' 6615

DIRECTOR DE TESIS

ING. MARCELO JARAMILLO A.

A handwritten signature in blue ink, appearing to read "Jaramillo A".

6615
D'

ESTA TESIS ES PATRIMONIO INTELECTUAL DE
LA ESCUELA SUPERIOR POLITECNICA DEL LITORAL

LA RESPONSABILIDAD POR LOS HECHOS, IDEAS
Y DOCTRINAS EXPUESTAS EN ESTA TESIS,
CORRESPONDEN EXCLUSIVAMENTE AL AUTOR "

ART. VI DEL REGLAMENTO DE EXAMENES Y
TITULOS PROFESIONALES DE LA ESCUELA
SUPERIOR POLITECNICA DEL LITORAL.

Guillermo Macias Gonzalez
GUILLERMO MACIAS GONZALEZ

GUAYAQUIL , MARZO 1974

A MIS PADRES, ESPOSA E HIJO

A QUIENES DEDICO ESTA TESIS

I N D I C E

INTRODUCCION

CAPITULO 1º - ASPECTOS GENERALES

Generalidades	1
Descripción del sistema subterraneo de Gquil.	4
Equipos Subterráneos	8
Cables subterráneos	13
Sistemas conducciones tubulares	14

CAPITULO 2º - CABLES: CARACTERISTICAS Y FALLAS.

Características de los cables subterráneos	21
Efecto de la lámina metálica en cables unipolares	27
Puesta a tierra de la lámina metálica	30
Características Eléctricas:	
Resistencia	35
Inducción	37
Capacidad	40
Mediciones Eléctricas	
Resistencia aislamiento	42
Resistencia conductores	43
Resistencia falla	44
Capacidad	45

Consideraciones generales previa la detección de una falla	46
Fallas en cables:	
Tipos de falla	48
Causas de falla	51
CAPITULO 3º - METODOS PARA LOCALIZAR FALLAS EN CABLES SUBTERRANEOS	
Generalidades: Clasificación	58
Mediciones preliminares	59
Pruebas	60
Métodos de medida de terminales:	
Medida de puente según Murray	64
Medida de la resistencia de aislamiento	71
Medida de la caída de tensión	78
Medida de la relación de tensiones	84
Medida de capacitancia	91
Medida del sentido de paso de la corriente según Wurmbach	97
Métodos de Reflexión	
Método de impulso	100
Método del Radar	108
Método de rastreo por C.A. modulada	114
Método de rastreo por C.D. modulada	118
Método de diferencia de potencial D.C. sobre el recubrimiento	121
Preparación del punto defectuoso	125

Detector electromagnético	127
Detector gradiente de voltaje	131
Estadística de daños en alimentadoras Sub- terráneas	134
Ejemplos prácticos	139
NOTA FINAL	144
Apéndice	
Bibliografía	

I N T R O D U C C I O N

En los sistemas de distribución eléctrica subterráneo la localización de fallas en conductores, es uno de los objetivos principales, pues es importante que la restauración del servicio se efectúe con el mínimo tiempo de retrazo posible.

En el presente trabajo, describiremos el sistema -- subterráneo de distribución eléctrica de la ciudad de Guayaquil, que sirve al sector comercial, se indicarán las características de los cables utilizados y sus fallas más comunes.

Luego analizaremos los métodos para localización de fallas, aplicándolo a una falla específica, indicando las ventajas y desventajas de cada uno de los métodos.

Como conclusión se dan algunas recomendaciones que deben tomarse para la aplicación de los métodos estudiados en la localización de fallas en cables.

CAPITULO 1

ASPECTOS GENERALES

GENERALIDADES:

Una queja común de la gran mayoría de Ingenieros que son responsables de la supervisión y el mantenimiento de cables eléctricos es la falta de un método universal para localizar fallas. Indudablemente, la disponibilidad de un método completamente versátil simplificará grandemente el entrenamiento y equipamiento de especialistas en localizar fallas.

Este método hipotético deberá ser también económico e infalible, su uso reducirá los costos de restauración de servicio a un mínimo y de ser posible aun llevar a la automatización por computación del proceso entero.

Esta introducción nos llevará a cualquier espera -- sin garantía, que debe ser reconocida, lamentablemente, tal método de localizar falla, todavía no ha sido descubierto. A pesar de los progresos constantes que ocurren cada año, en la efectividad de métodos e instrumentos usados para localización de fallas en cables eléctricos, es una verdad que hoy en día no existe un método ó instrumento universal disponible.

La principal razón por lo cual no ha sido descubro-

llido este método universal, es que no existe una falla ó una instalación de cables universales, pues ambos de los cuales son probablemente prerequisitos para tal método.

Básicamente, las fallas en cables son localizadas por aplicación de principios eléctricos que fueron desarrollados hace mucho tiempo. Hoy en día, el esto de desarrollo de los métodos, nuevamente reflejan una gradual pero continua evolución en la aplicación de los principios fundamentales.

Esto es evidente en la variedad de métodos, los cuales son fácilmente usados en el constante refinamiento de los instrumentos tradicionales y en el alto grado de la habilidad que está siendo desarrollada en la aplicación de tales métodos e instrumentos por el entrenamiento del personal, sin embargo, allí existe una cantidad considerable de espacios vacíos que llenar en la eficiencia de los métodos más comunes.

Es por esto que la localización de una falla en cable, depende principalmente en el entrenamiento y experiencia en la aplicación del equipo y también en la familiaridad con la ideoconcreción de la insta

lación bajo prueba.

Siendo las instalaciones subterráneas de distribución eléctrica muy diferentes entre una ciudad y otra, he creído conveniente referirme a un sistema subterráneo para citar como ejemplo, este sistema es el de la ciudad de Guayaquil, cuyo crecimiento de la zona comercial al igual que el de otras grandes ciudades ha experimentado un gran desarrollo, lo cual debido al tipo de construcciones modernas y por ser esta zona la más antigua, la empresa suministradora de energía, se ha visto en la necesidad de construir una red subterránea para suplir así las desventajas de las condiciones físicas para construir una red aérea.

A continuación se describirá brevemente el sistema subterráneo de la ciudad de Guayaquil, su equipo y cables utilizados.

DESCRIPCION DEL SISTEMA SUBTERRANEO DE LA CIUDAD DE GUAYAQUIL

La ciudad de Guayaquil tiene desde hace algunos años un índice de crecimiento muy alto comparado con otras ciudades de Latinoamérica, debido a su situación como puerto y a su comercio.

Este crecimiento sin planificación, motivó que adquiriera el sector comercial un gran desarrollo, lo cual trajo como resultado que la compañía suministradora de energía efectúe el cambio de su red aérea a subterránea, en este sector comercial.

Este sistema de distribución eléctrica subterránea de la ciudad, es de tipo radial y tiene como voltaje 4.16 y 13.8 Kv., que representan el 20% y 80% respectivamente.

El neutro del sistema es común, pues sirve tanto a la red primaria como a la secundaria, está solidamente conectado a tierra en todas las bóvedas subterráneas y solidamente conectado al sistema de puesta a tierra de las plantas y subestaciones.

Existen numerosas interconexiones que permiten el -
seccionamiento ó el cambio de centros de cargas en-
tre diferentes alimentadoras, para así evitar que -
la continuidad del servicio eléctrico sea cortada -
por mucho tiempo.

Este sistema subterráneo representa actualmente u-
nos 14.000 Kva. potencia que es suministrada por 8
alimentadoras que parten, cuatro desde las barras -
de la subestación de transformación Boyacá y las --
cuatro restantes de las barras de la Planta Térmica
Guayaquil, su denominación depende principalmente -
de la calle de su recorrido principal. En la tabla
I, se indican las características de cada una de e-
llas.

A causa del cambio violento de sistemas, el equipo
utilizado al principio era del tipo convencional, -
pero debido a la crudeza de nuestros inviernos, lo
que producía una inundación total de las bóvedas, -
este equipo ha sido paulatinamente cambiado por e--
quipo del tipo sumergibles, siendo la meta de la -
Empresa suministradora tener el 100% del equipo a u
tilizarse en sistemas subterráneos del tipo sumergi
ble, cambio que se logrará después de algunos años,
por cuanto el costo de este equipo es muy elevado.

ALIMENTADORAS DEL SECTOR COMERCIAL

TABLA I

<u>ALIMENTADORA</u>	<u>CAPACIDAD</u>	<u>EXTENSION</u>	<u>PORCENT.</u>	<u>SUBT.</u>
JUAN MONTALVO		3.700 m.	100 %	
BOLIVAR		1.500 m.	100 %	
9 DE OCTUBRE		1.260 m.	57 %	
PEDRO CARBO		2.150 m.	100 %	
PICHINCHA		1.950 m.	54 %	
BOYACA		2.500 m.	15 %	
RUMICHACA		3.200 m.	44 %	
GARAYCOA		2.800 m.	11 %	

Actualmente cada una de las bóvedas que contienen - interruptores, cortacircuitos y transformadores, se halla provista de una bomba de centina automática - para evacuar el agua que penetra, pero debido a que la temporada de invierno pasada fue muy fuerte, estas bombas fueron incapaces de expulsar toda el agua, esto motivó para que la empresa suministradora tome las provisiones necesarias para el futuro, para así evitar la penetración total de agua en las bóvedas.

La alimentación primaria se la efectúa por cables - unipolares y tripolares, cubiertos con aislamientos especiales para ser utilizados directamente enterrados ó en ductos.

Debido a su antiguedad el cable denominado Pilca -- que se enterraba directamente, esta siendo retirado del sistema y reemplazado por cable con aislamiento de polietileno, colocados en ductos subterráneos.

Para poder efectuar las reconexiones y seccionamiento, las bóvedas que poseen equipo de protección, seccionamiento y transformación, son ubicadas estratégicamente en el sistema, es decir en las zonas de mayor carga.

EQUIPO SUSTITUYENDO: En las fotografías del No.2 al 10 que se presenten a continuación, vemos los equipos normalmente usados en las bóvedas subterráneas del sistema de 4.16 kv. de Guayaquil.

Fotografías Nos. 2 y 3, nos muestran interruptores de aceite sumergibles de 3 y 4 vías de 400 A. de capacidad. La fotografía No.4, nos presenta cortocircuitos de aceite sumergibles de 200 A. de capacidad. La fotografía No.5, nos muestra una caja sumergible de 4 vías. Las fotografías No.6 y 6A nos presentan un transformador sumergible del tipo CST de la General Electric.

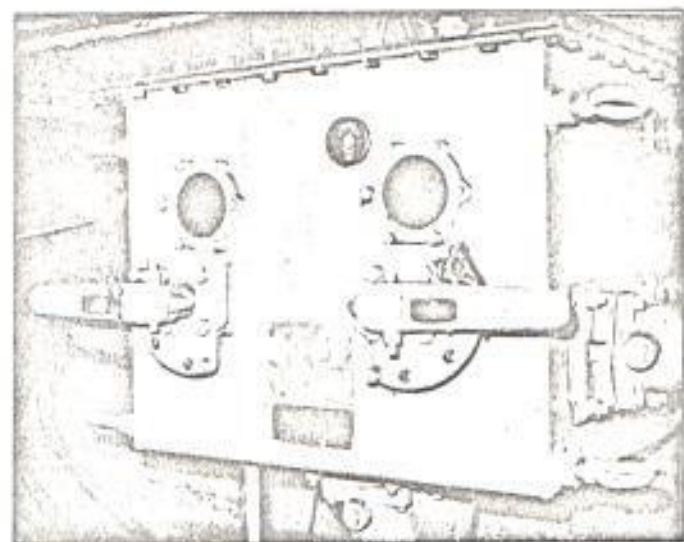
La fotografía No.7 nos presenta cortocircuitos de aceite convencionales de 100 A. de capacidad. La fotografía No.8 nos muestra un banco de capacitores - desconectable, controlado por un reloj.

La fotografía No.9 y 9A, nos muestran banco de transformadores del tipo convencional para uso en exteriores pero que han sido instalados en bóvedas subterráneas.

La fotografía No.10 nos muestra interruptores de aceite de 400 A. y 300 A. La fotografía No.10A, nos



FOTOGRAFIA 1



FOTOGRAFIA 2

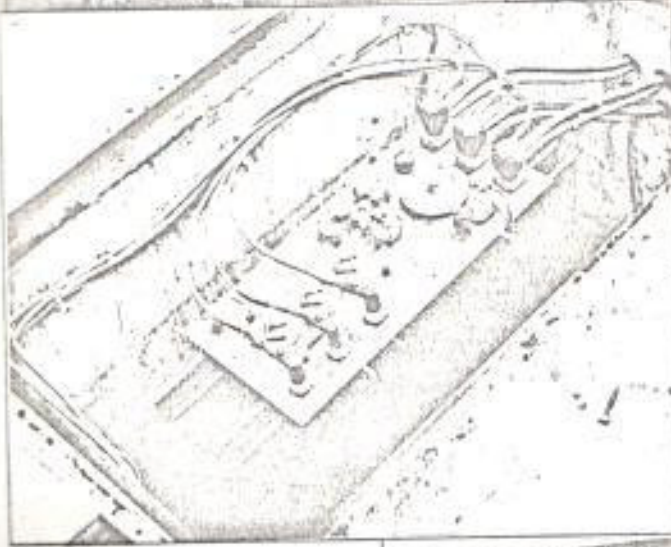
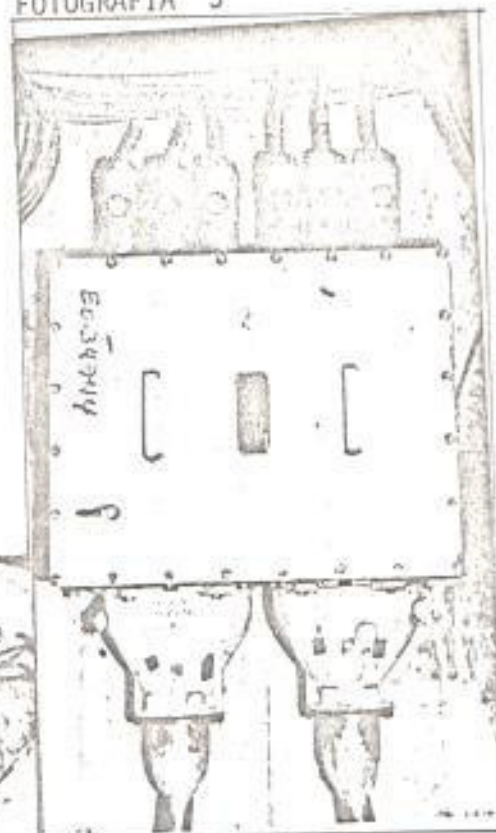


FOTOGRAFIA 3

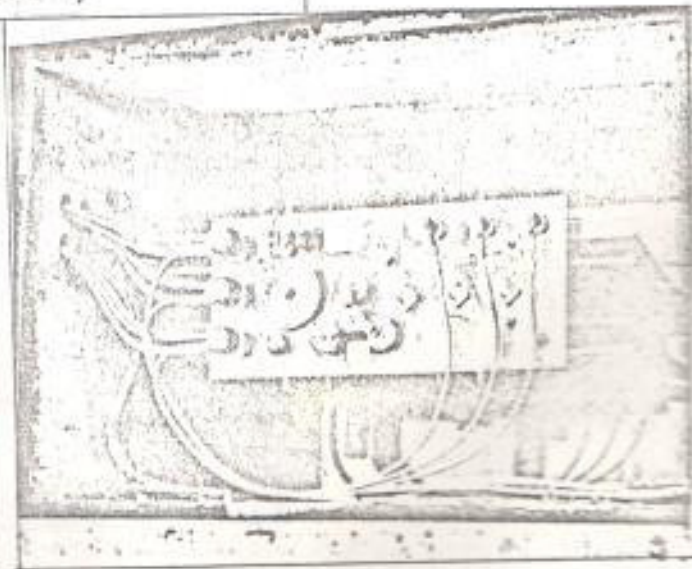
FOTOGRAFIA 4



FOTOGRAFIA 5



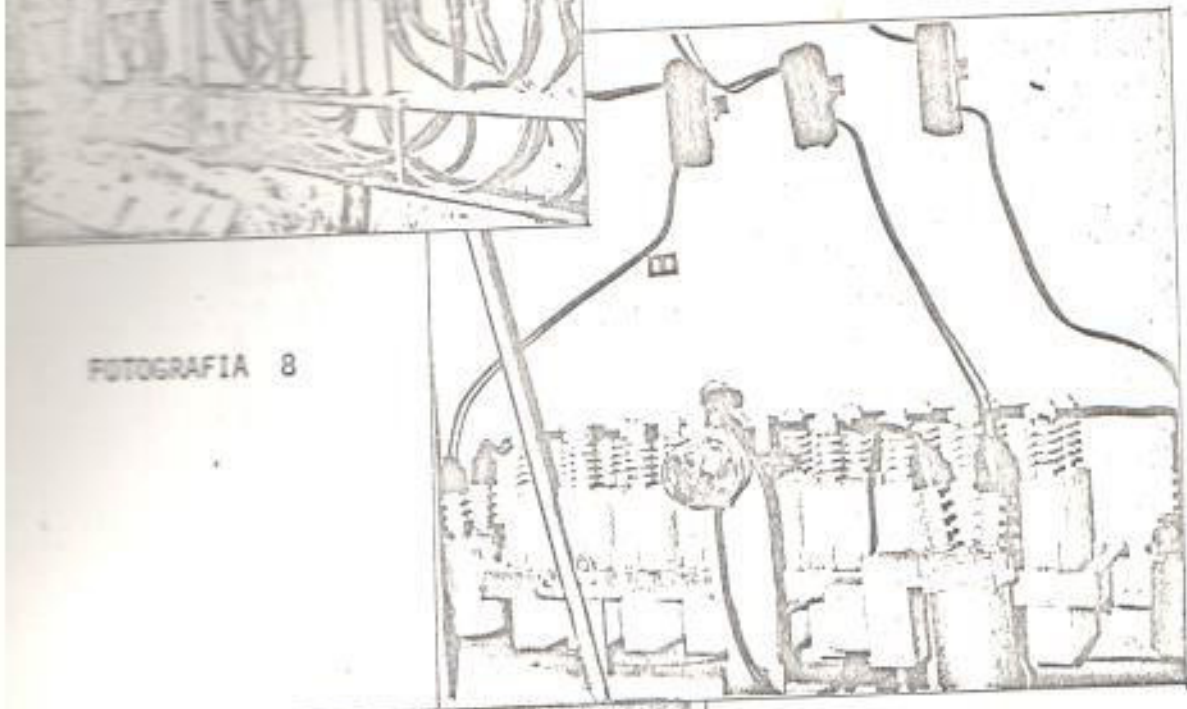
FOTOGRAFIA 6



FOTOGRAFIA 6-A



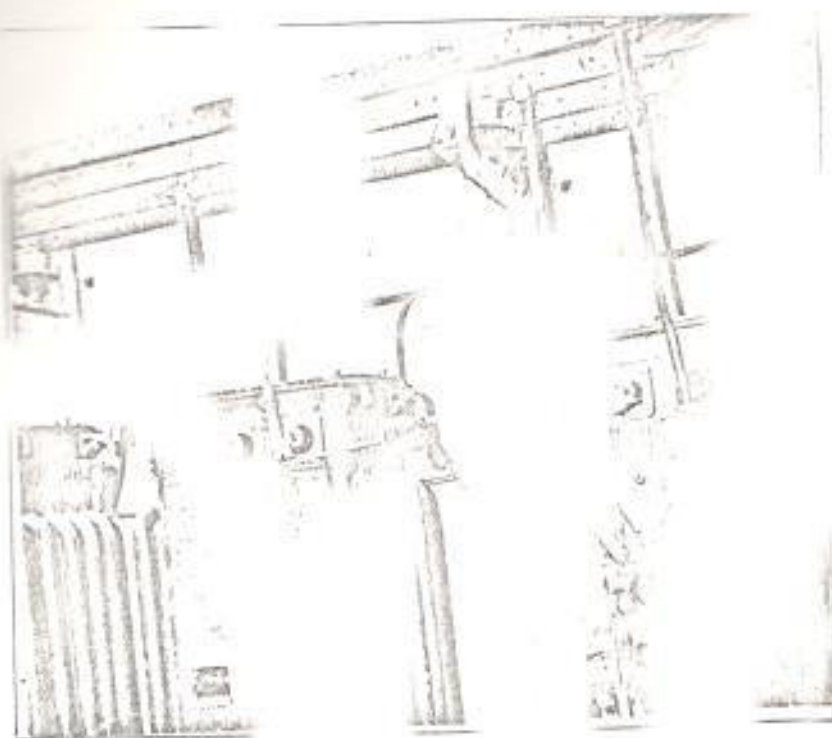
FOTOGRAFIA 7



FOTOGRAFIA 8

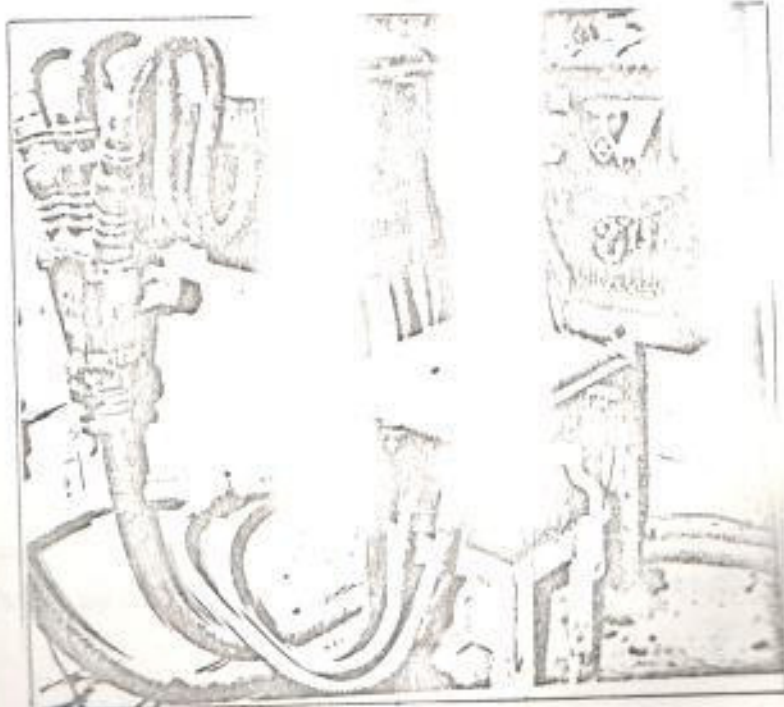


FOTOGRAFIA 9



AFIA

9 a



FOTOGRAFIA ■ 10

presenta los cabezotes terminales.

Como podemos apreciar en las fotografías indicadas, el sistema subterráneo de la ciudad de Guayaquil, está compuesto de una mezcla heterogénea de equipo convencional para uso en exteriores y equipos sumergibles para uso subterráneo.

CABLES SUBTERRÁNEOS.- Los cables subterráneos se emplean para transmitir energía en los casos en que no pueden tenderse líneas aéreas. Este caso ocurre en zonas urbanas muy concurridas, en las centrales y subestaciones y sus alrededores, y en los cruces de anchos cauces de agua donde por alguna causa no sea posible el cruce aéreo. La clase de aislamiento y el tipo de cable a usar depende de la tensión y de las necesidades del servicio.

Los materiales aislantes utilizados para cables subterráneos son de tres tipos:

- a) goma ó caucho y sus compuestos.
- b) aislamientos con cambric barnizado.
- c) panel impregnado.

La empresa suministradora de energía, en Guayaquil, ha utilizado en su sistema de distribución primaria,

los cables con aislamiento de papel impregnado en aceite y con aislamiento de polietileno.

En páginas posteriores se describen completamente estos tipos de cables, enumerando también sus ventajas y desventajas de su utilización en sistemas subterráneos.

SISTEMAS DE CONDUCCIONES TUBULARES Y CAJAS DE REGISTRO.— El sistema de distribución subterránea es indispensable en las zonas urbanas más densamente edificadas, debido a los grandes transformadores y líneas requeridas, y por la multitud de conexiones de acometida hacia las casas. Los alimentadores se instalan a menudo, en conductos subterráneos a lo largo de las calles principales, teniendo cajas de registros en las aceras, para distribución de las acometidas y en las esquinas, para los cruces de calles e interconexiones.

La disposición del sistema subterráneo de conducciones tubulares y cajas de registros, debe atenerse a dos condiciones generales (1) que son:

- 1) Número definitivo y calibre de los cables a instalar.
- 2) Condiciones físicas y geográficas.

El número definitivo de los cables a instalar se determinará según las probabilidades de la carga; es de buen criterio dejar previsiones para ampliaciones futuras.

Las condiciones físicas y geográficas intervienen - por la necesidad de evitar interferencias con otros servicios subterráneos, tales como agua, gas, alcantarillado, teléfono y para estudiar la situación más conveniente de las cajas de registros, teniendo en cuenta las curvas máximas en los conductos y las diferencias de nivel.

Las cajas de registro deben instalarse en los puntos requeridos por las condiciones topográficas por la tensión de tiro del cable que sea visible para su seguridad, por el coeficiente de razonamiento -- del cable dentro de los tubos y por la existencia -- de curvas y desniveles en la conducción tubular.

La forma y dimensión de la caja de registro dependen del número, tamaño y tipo de los cables y del número y dirección de los conductores que concurren. Sus dimensiones horizontales y verticales deben ser suficiente para permitir dilataciones de los cables longitud para empalmes, separación suficiente entre

cables para permitir la realización de empalmes, para la instalación de cualquier equipo auxiliar que sea necesario.

Los ductos se construyen de substancias incombustibles, resistentes a la acción de la humedad y se los encuentran de diferentes diámetros y longitudes.

El diámetro de los ductos viene determinado por el conductor ó los conductores que se van a colocar. Cuando se trata de líneas trifásicas es preferible colocar cada conductor de fase en un ducto a fin de tener dos paredes de las mismas entre cables adyacentes. (1).

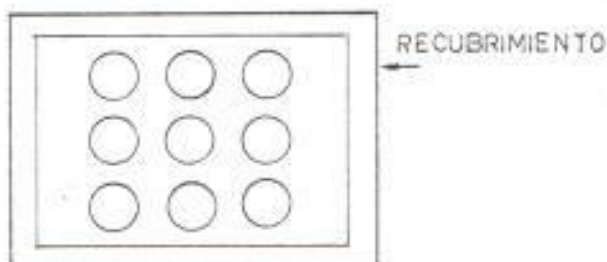
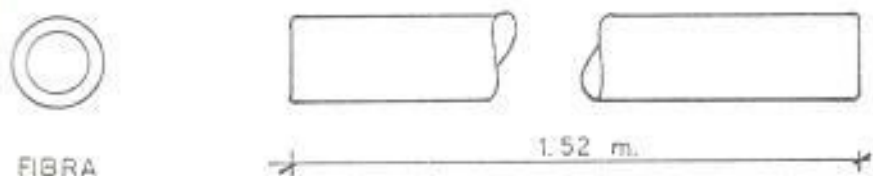
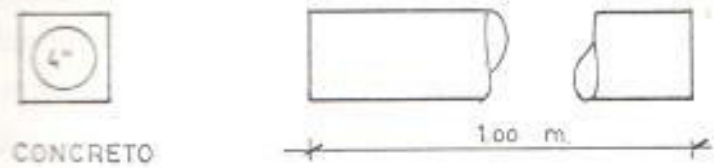
En el sistema de distribución subterráneo de la ciudad de Guayaquil se utilizan ductos de concreto y de fibra. Los de concreto se colocan a lo largo de las aceras, dejando los de fibra para el cruce de las calles, por ser más resistentes a acciones mecánicas.

En las figs. 11 podemos apreciar, cortes de ductos subterráneos, y disposiciones de estos en los pozos de registro.

INSPECCION DE UN SISTEMA DE CONDUCCIONES TUBULARES.-

EN KNOWLTON, MANUAL STANDARD DEL ING. ELECTRICISTA
CAPITULO 14. ARTICULO 295.

DUCTOS Y POZOS DE REGISTRO



DISPOSICION DE LOS TUBOS INCRUSTADOS
EN BLOQUES DE HORMIGON



fig. 11

Antes de utilizar un sistema de ductos, debemos explorar las condiciones en que se encuentra, pues es de vital importancia que los ductos estén en condiciones óptimas de utilización.

En la instalación de cables en ductos, se presentan dos casos:

- 1) Cuando los ductos son nuevos.
- 2) Cuando tenemos ductos desocupados en un sistema - de ductos.

Para el primer caso, el reconocimiento es a base de cables mensajeros, o cualquier sistema apropiado para verificar si el trayecto del ducto se encuentra - sin ningún cuerpo extraño que pueda obstruir el paso de los cables.

Para el segundo caso, podemos efectuar la verificación de las condiciones del ducto de la misma forma que el caso anterior y particularmente cuando el sistema de ductos está ocupado con cables con camisa de plomo, el reconocimiento se lo realiza mediante un - método que se basa en mediciones eléctricas, y que - es conocido con el nombre de "Reconocimiento de Ductos".

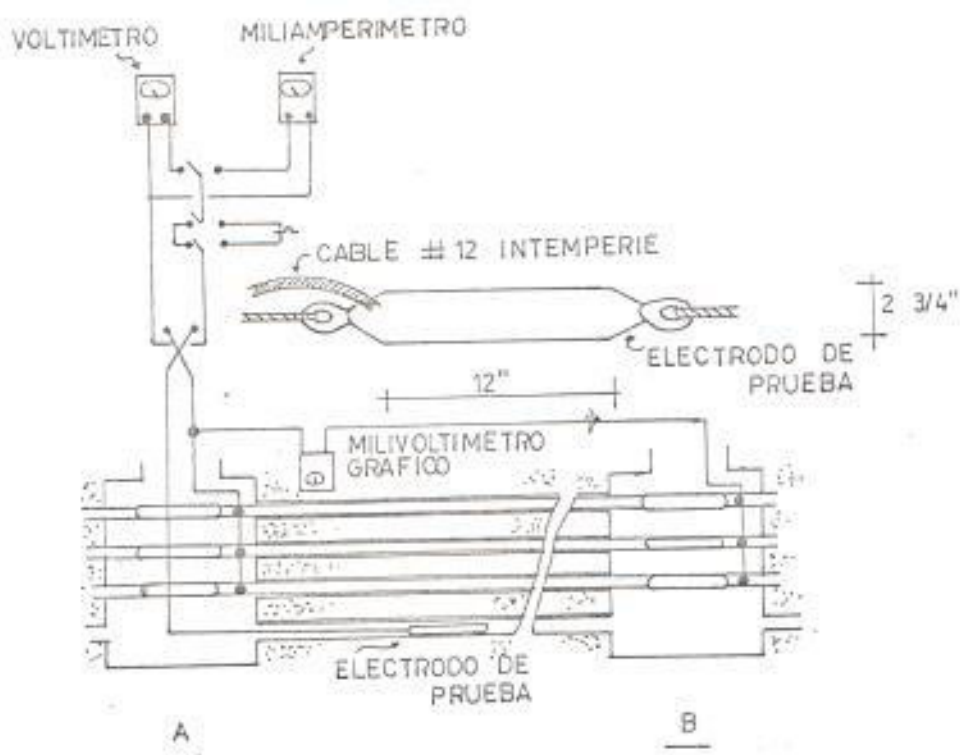
El método consiste en hacer pasar un electrodo por un ducto vacío adyacente a los ductos que contienen los cables, se conectan instrumentos entre este electrodo y la camisa de plomo de los cables adyacentes y se efectúan lecturas de potencial, intensidad y resistencia a intervalos de 2 metros ó más a través del ducto.

La fig. 12 , nos muestra la disposición de los elementos e instrumentos para efectuar el reconocimiento, el electrodo de prueba más conveniente usado consiste de un pedazo de cable de 12 pulgadas de largo; - 2.75 pulgadas de diámetro con lámina de plomo al des cubierto, un ojo para hilar acoplado a un extremo, y un cable soldado a la lámina para poder conectar el electrodo a los instrumentos.

Con estas pruebas, podemos verificar que efectos han ocurrido sobre el conductor con camisa de plomo existente.

En la ciudad de Guayaquil, el Reconocimiento de Ductos se lo realiza a base de cables mensajeros y objetivamente, al inspeccionar los cables existentes en ductos instalados.

INSPECCION DE UN SISTEMA DE DUCTOS
CON CABLES CON CAMISAS DE PLOMO



METODO "DUCT SURVEY"

fig. 12

CAPITULO 2

CABLES :

CARACTERISTICAS Y FALLAS

CARACTERISTICAS DE LOS CABLES SUBTERRANEOS

Los cables son clasificados de acuerdo a su aislamiento, contándose entre los más usados los de papel cambrio barnizado, caucho y asbesto. Cada uno de estos materiales tienen sus características propias lo que permite poder seleccionar para cada uso el material más conveniente.

Así por ejemplo el asbesto es altamente resistente a la temperatura, el Neopreno que pertenece a la familia de los elastómeros, es resistente a la acción de compuestos químicos, etc.

Los cables de poder subterráneo, se construyen para instalarse en la siguiente forma: en ductos ó directamente enterrados. Estos cables pueden ser unipolares ó tripolares y pueden estar dotados de una lámina metálica que recubre el material aislante ó estar provistos de una capa protectora de plomo.

Refiriéndonos al sistema subterráneo tomado como aplicación, podemos indicar que en el sistema subterráneo de distribución eléctrica de la ciudad de --

Guayaquil, se utilizan con más frecuencia los siguientes cables:

Cable tripolar PILCA con camisa de plomo.

Cable tripolar PILCPE con camisa de plomo

Cable Unipolar con aislamiento de polietileno.

Las características más importantes de estos cables se indican a continuación.

Cable Tripolar con camisa de plomo.- Refiriéndonos a la fig. 13, esta representa un corte transversal del cable con camisa de plomo denominado PILCA, en la cual podemos apreciar sus partes constitutivas.

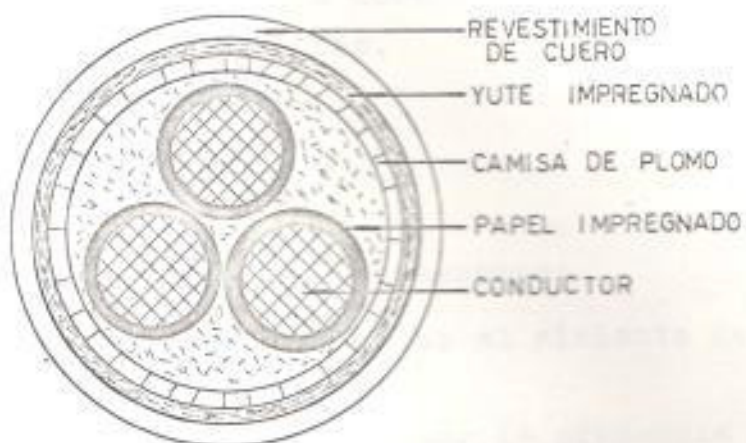


fig. 13

La construcción con camisa de plomo se la realiza - para cumplir con las siguientes finalidades:

- 1) protección de los conductores contra la humedad.
- 2) protección contra la corrosión.
- 3) protección mecánica.

Este tipo sólido de construcción del cable ha dado lugar a que en diferentes casos se utilice directamente enterrado en el suelo, prescindiendo de duc-
tos.

Los cables construidos de esta forma presentan ven-
tajas y desventajas en el uso de los mismos, entre
las principales ventajas encontramos:

- 1) resistencia contra acciones mecánicas.
- 2) escasas pérdidas dieléctricas.
- 3) resistencia a la abrasión.
- 4) tiempo de vida larga.
- 5) bajo costo.

Entre las principales desventajas tenemos:

- 1) mínima flexibilidad, debido a que el aislante de papel es quebradizo.
- 2) facilidad de absorción de agua por la presencia del papel.

La camisa de plomo se la coloca a tierra, con la finalidad de dormar una pila galvánica para así evitar la corrosión del cobre, pues el plomo es un metal que entre sus características tiene la de ser resistente a la corrosión. Además se prevé un camino de descarga para la corriente de falla.

En página No. , se explicará más detenidamente las formas y demás razones de la puesta a tierra de la camisa de plomo en los conductores tripolares.

CABLE TRIPOLAR CON CAMISA DE PLOMO.- La fig. 14 , representa un corte transversal del cable tripolar -- con camisa de plomo, denominado PILCPL, en la cual podemos apreciar sus partes constitutivas.

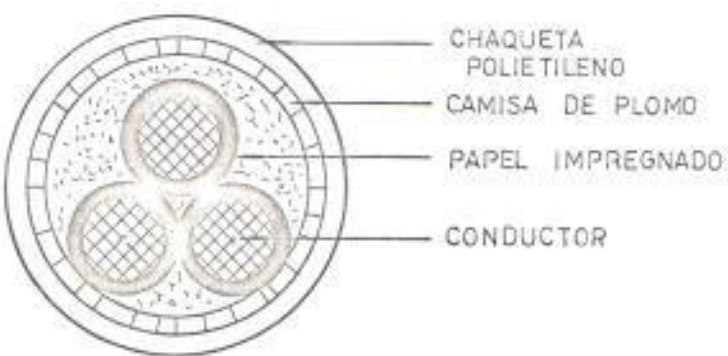


fig. 14

la construcción con camisa de plomo sobre los conductores y el aislante, es igual que para el tipo anterior de cable, es decir, protección contra la humedad, corrosión y acciones mecánicas.

La ausencia de la chaqueta de cuero lo hace menos resistente que el anterior, por lo cual se lo utiliza en ductos.

Este cable presenta características de ventajas y desventajas, similares al anterior, contándose además entre las ventajas, que debido a su revestimiento de polietileno, su superficie es liza y dura, resistente a acciones químicas y microorganismo, lo cual hace que sea utilizado en sistemas de ductos.

CABLE UNIPOLAR CON AISLAMIENTO DE POLIETILENO.- La fig. 15, representa un corte transversal de conductor en el cual podemos apreciar la disposición de sus elementos constitutivos.

Entre las principales ventajas de este cable tenemos

- 1) resistente a acciones mecánicas
- 2) excelente flexibilidad
- 3) resistente al calor
- 4) fácil manejo para utilizarlo en ductos subterráneos.

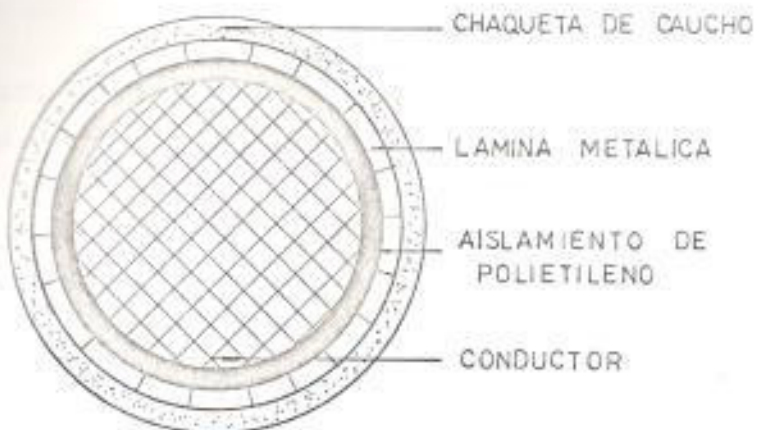


fig. 15

Entre sus desventajas tenemos: que por su construcción no se lo puede utilizar directamente enterrado en el suelo.

El propósito de colocar una cinta metálica alrededor de un conductor aislado, se debe a los siguientes motivos más comunes:

- 1) para reducir la formación de corona.
- 2) para reducir la resistencia térmica.
- 3) para disminuir las pérdidas de potencia.
- 4) para control de la fuerza electrostática.

El efecto corona se presenta cuando el potencial de un conductor se lleva hasta valores tales, que sobrepasan la rigidez dieléctrica del aislante que ro-

des el conductor, ocasionando pérdidas y fallas en los conductores.

La cinta semiconductor tiene la particularidad de que las corrientes que circulan a través del aislante siguen el camino hasta la cinta metálica, y de aquí a tierra, es decir, permite el flujo de corriente en un sólo sentido.

El revestimiento de caucho exterior, da una capa de impermeabilizante necesaria, para evitar la entrada de humedad al conductor.

La lámina metálica se coloca a tierra, principalmente para obtener un mismo potencial en todos los puntos del campo eléctrico con respecto a tierra y también para proveer un camino de fuga a la corriente que circula a través de la cinta semiconductora.

EFFECTOS DE LA LÁMINA METÁLICA EN CABLE UNIPOLAR.-

En su construcción los cables unipolares poseen una lámina metálica, en la cual debido al campo electrostático que se produce, ocurren en el conductor, efectos que enumeraremos a continuación:

1.- Al aplicar un voltaje alterno alto, en un con-

ductor, se producen dos clases de corrientes:

- a) corriente de fuga, y
- b) corriente de carga.

La corriente de fuga va del conductor a la lámina metálica y es del orden $I = E/R$, siendo R la resistencia del aislamiento. Mientras el aislamiento esté en condiciones normales, esta corriente será mínima, en cambio cuando ocurre el deterioro del aislamiento por cualquier causa, la corriente aumenta, produciendo la falla del conductor. (fig. 16).

Debido a la diferencia de potencial que existe entre la lámina metálica y el conductor, y estando separados ambos por un dieléctrico, tenemos formado un condensador, circulando una corriente de carga desde el conductor a la lámina. Esta diferencia de potencial es debido a que en un conductor metálico las cargas siempre están en la periferia. (fig. 16a)

2.- Al circular una corriente alterna por el conductor, se produce un campo magnético variable alrededor de este, el cual produce una f.e.m. inducida, que está de acuerdo a la ley de Lenz. Esta fuerza electromotriz inducida, origina la circulación de -

Los corrientes de Eddy, que circulan en circuito cerrado por la sección transversal de la lámina y ocasiona una pérdida de potencia del orden I^2R , lo que se manifiesta como un calentamiento, que produce un aumento de la resistencia del conductor. En la fig. 16-a podemos apreciar este efecto electromagnético.

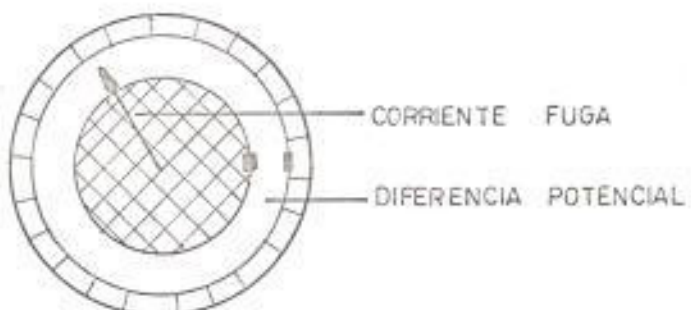


fig. 16

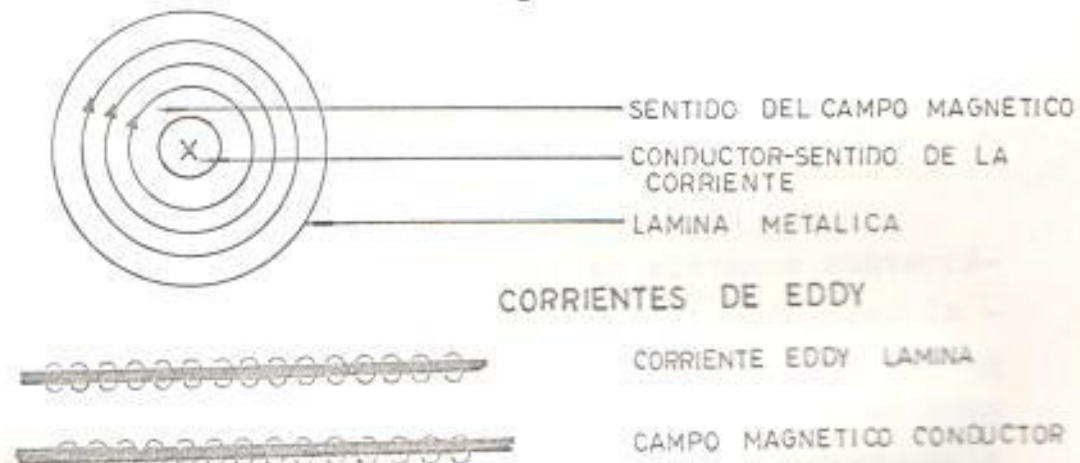


fig. 16 a

PUESTA A TIERRA.- La puesta a tierra de la camisa protectora de plomo en conductores tripolares subterráneos y de la cinta ó lámina metálica en conductores unipolares subterráneos, es una práctica que se inició con la construcción de los primeros conductores de este tipo.

La conexión a tierra se la realiza en todo punto -- que lo permita el sistema como ser: salidas de subestaciones, bóvedas, cajas de registro, etc.

Las razones para la conexión a tierra de estos dos componentes de un cable subterráneo son debido a -- los motivos siguientes.

CONDUCTORES CON CAMISA DE PLOMO.- En los cables -- tripolares con camisa de protección de plomo, la -- puesta a tierra se la realiza por las siguientes ra zones:

1.- En los cables utilizados en sistemas subterráneos , ocurre frecuentemente la corrosión, por la -- acción galvánica entre metales diferentes en presencia de un electrolito, esto es debido a que se establecen potenciales eléctricos entre diferentes metales ó diferentes condiciones en el mismo metal, en

un electrolito.

La corriente eléctrica fluye en el electrolito del metal anódico al metal catódico y a través de un circuito de retorno del cátodo al ánodo, el metal que sufre la corrosión. Entre los metales más resistentes contra corrosión y de costo relativamente bajo se encuentra el plomo, razón por lo que es ampliamente usado para este tipo de construcción.

La Fig. 17 , contiene un diagrama del efecto galvánico.

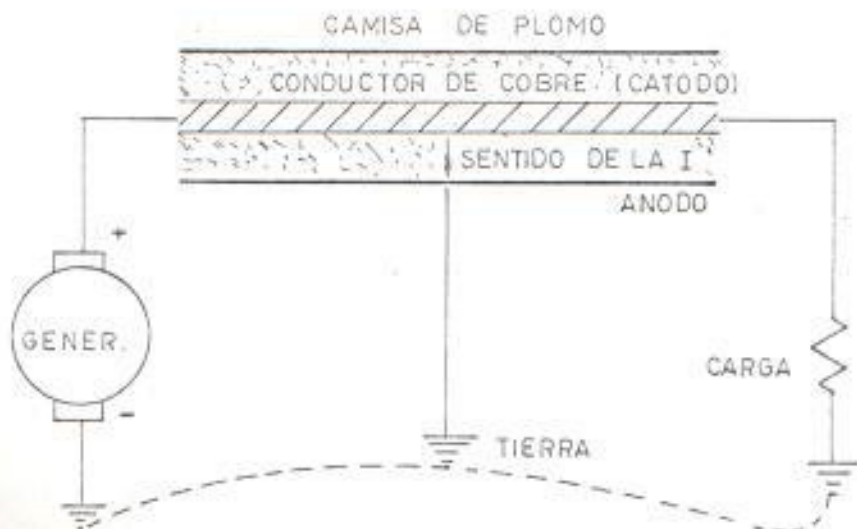


fig. 17

2.- Para proveer un camino a la corriente de falla la forma de conexión a tierra es variada, utilizándose en el sistema subterráneo de Guayaquil, la varilla de cobre copperweld.

CONDUCTORES UNIPOLARES CON CINTA METALICA.- Las tensiones que son directamente proporcionales a la corriente que fluye por el conductor, a la frecuencia, al coeficiente de inducción mutua entre el conductor y la envoltura metálica, así como a la longitud del cable, se inducen en la envoltura metálica de los cables de un solo conductor.

En los métodos usuales de instalación, es decir, conectando las envolturas metálicas en los manguitos y poniéndolos a tierra en los terminales, las tensiones inducidas originan corrientes que fluyen por las envolturas metálicas. Estas a su vez causan pérdidas adicionales y por consiguiente, reducen la capacidad de carga en corriente alterna monofásica ó trifásica.

Si por razones económicas ó con vistas a la capacidad de carga de los cables deben evitarse estas pérdidas adicionales, las envolturas metálicas ó las pantallas de los cables, así como los terminales conectados galvanicamente a ellos, pueden ponerse a -

tierra en un extremo solamente.

En el otro, los terminales se aislan; esto trae consigo que las tensiones inducidas entre las envolturas metálicas y tierra en el extremo libre alcancen su valor de cresta que es mayor que el valor de las tensiones inducidas entre los extremos libres de las envolturas metálicas en un sistema trifásico. A fin de mantener estas tensiones que son proporcionales a las longitudes de los cables, dentro de los límites admisibles, las uniones por cables puestas a tierra en un extremo deben ser cortas, ó bien las tensiones inducidas se deben dividir intercalando fuerzas aislantes. (en caso de tramos largos). Las envolturas metálicas de los tramos parciales resultantes se ponen a tierra en un extremo solamente.

En instalaciones de media tensión es posible mantener las pérdidas debidas a la corriente dentro de límites razonables, eligiendo el tipo de cable más favorable.

En redes de corriente trifásica debe observarse solamente las derivaciones a tierra, puesto que durante el servicio normal, los campos magnéticos de las tres fases se compensan entre si.

Se obtiene una distribución completamente uniforme de la corriente, solo utilizando cables de tres conductores, puesto que de este forma se eliminará la influencia inductiva de los cables próximos en condiciones normales de servicio, debido al trenzado de los conductores.

En definitiva la puesta a tierra de la cinta metálica en conductores unipolares se debe a:

- 1.- Para igualar los potenciales de todos los puntos del campo eléctrico del conductor, con respecto a tierra.
- 2.- Para proveer un camino a la corriente de falla, en caso de un defecto.

La forma de conexión es similar a la indicada para el cable con camisa de plomo.

CARACTERISTICAS ELECTRICAS

RESISTENCIA.— La resistencia de los conductores de un cable depende de la constitución de los mismos y del cable.

Esta magnitud determinada en principio por la resistencia a la corriente continua del conductor, está incrementada por el efecto peculiar, por la influencia de la cubierta de plomo y la armadura, y se modifica con las variaciones de temperatura.

La resistencia de los conductores es la causa principal de la pérdida de la energía en las líneas de transporte. A menos que se especifique otra cosa, al hablar de resistencia nos referimos a la resistencia efectiva. La resistencia efectiva de un conductor es:

$$R = \frac{\text{Pérdida de Potencia en el conductor}}{I^2} \text{ ohmios}$$

P_p = Potencia en vatios

I = Corriente eficaz del conductor. A.

La resistencia efectiva es igual a la resistencia del conductor a la corriente continua solo en aquellos casos en que la distribución de la corriente en el conductor sea uniforme.

La resistencia a la corriente continua viene dada - por la fórmula:

$$R_o = \rho \frac{L}{A}$$

donde:

R_o = Resistencia del conductor

L = Longitud

A = Área de la sección transversal

La distribución uniforme de la corriente en la sección del conductor solamente se presenta en la corriente continua. A medida que aumenta la frecuencia de la corriente alterna, se hace más pronunciada la diferencia entre las densidades de corriente de las distintas zonas de una sección transversal. Este fenómeno se llama efecto peculiar o efecto piel. En un conductor de sección circular generalmente aumenta la densidad de corriente del interior al exterior. Sin embargo en los conductores de radio suficientemente grande, se puede presentar una densidad

de corriente oscilante a lo largo del radio. La causa de este efecto es debido a la falta de uniformidad de los enlaces de flujo.

En los cables de varios conductores, las pérdidas adicionales son causadas por el desplazamiento de la corriente en el conductor (efecto superficial), por las corrientes parásitas en la envoltura metálica y en la armadura, así como por la magnetización de esta última.

En cables de un sólo conductor se originan pérdidas adicionales como consecuencia de la corriente de inducción en la envoltura metálica.

RESISTENCIA DE AISLAMIENTO.- La resistencia de aislamiento depende de:

- 1.- Las dimensiones del cable
- 2.- Clase y composición del aislamiento
- 3.- de la humedad del aislamiento
- 4.- de la temperatura.

INDUCCION.- La inductancia es la propiedad de un circuito que relaciona la f.e.m. inducida, por la variación del flujo magnético, con la velocidad de variación de la corriente. El coeficiente de auto-

inducción L de un conductor macizo, redondo e infinitamente largo, dispuesto, según se indica en la fig. 18, se calcula por la siguiente ecuación:

$$L = \frac{\mu_0}{2\pi} \cdot l \cdot \ln \frac{D}{r'} \quad \text{m H.}$$

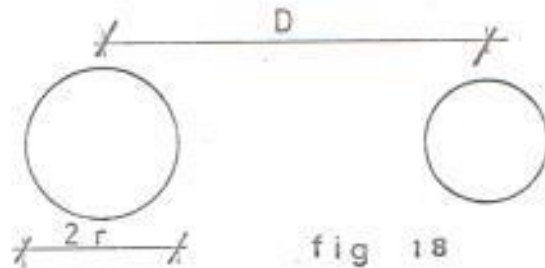
μ_0 = Constante de inducción (permeabilidad en el vacío), en H/cm.

D = Separación entre ejes de los conductores, en mm.

r' = Radio equivalente del conductor, en mm:

r = Radio del conductor, en mm.

l = Longitud de los conductores (del cable), en Km.



Si sustituimos el valor numérico de se obtiene, para una longitud de cable de 1 km y para un solo conductor.

$$L = 0.2 \ln \frac{D}{r^1}$$

$$L = 0.2 \left(\frac{1}{4} + \ln \frac{D}{r} \right) \quad \text{mH/Km}$$

El coeficiente de autoinducción de una línea en un sistema monofásico de corriente alterna se puede obtener con la ecuación No. suponiendo que un conductor sirve como línea de ida y el otro de retorno.

Las ecuaciones para el cálculo de los coeficientes de autoinducción de conductores en un sistema trifásico se encuentran indicadas en la Tabla II.

Existen al respecto tablas de cables, indicando los diámetros, coeficientes y demás parámetros necesarios para los cálculos.

REACTANCIA INDUCTIVA.- Esta magnitud está ligada a la energía electromagnética almacenada en el cable y su valor viene expresado en ohms/km, siendo matemáticamente igual a:

$$X_L = 2 \pi f L$$

en donde:

- X_L = Reactancia inductiva
 f = Frecuencia del sistema
 L = Coeficiente de autoinducción en Henrio/
Km.

CAPACIDAD.— La capacidad entre conductores es la carga por unidad de diferencia de potencial entre ellos. La capacidad de un cable depende de:

- 1.- Las dimensiones del cable (longitud, diámetro de los conductores, separación, etc.)
- 2.- La constante dieléctrica relativa ϵ_r del aislamiento.

CABLES DE CAMPO RADIAL.— Denominandolos así a los cables de un solo conductor, cables con tres envolturas y con aislamiento individual.

La capacidad de cada conductor respecto al recubrimiento ó pantalla que rodea al aislamiento es igualmente la capacidad de servicio, y puede calcularse:

$$C = \frac{5.56 \epsilon_r}{\ln \frac{D}{d}} \cdot 10^{-2} \mu F/Km$$

en donde:

E_r = Constante dieléctrica relativa

D = Diámetro por debajo del recubrimiento metálico, en mm.

d = Diámetro del conductor, incluyendo la capa conductora en mm.

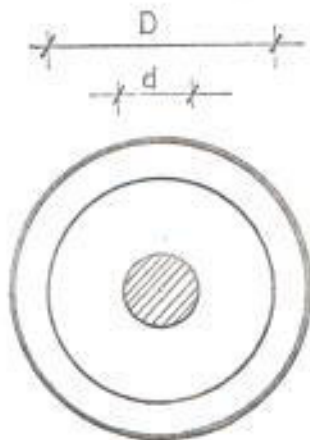


fig. 19

La corriente de carga en servicio trifásico simétrico es:

$$I_C = E_o W.C. 10^3 \text{ A / Km}$$

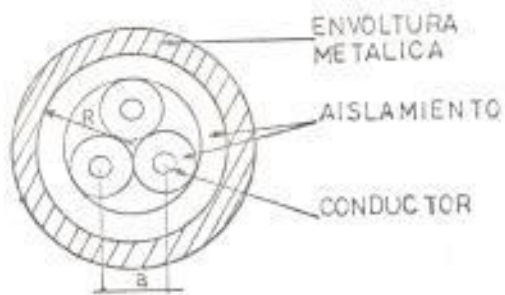


fig. 20

REACTANCIA CAPACITIVA.— (X_C) Esta magnitud está ligada a la energía electrostática almacenada en el cable y se expresa en ohmios/km. No tiene mayor importancia sino en líneas muy largas y su valor depende de la capacidad que existe entre los distintos conductores de un sistema.

MEDICIONES ELECTRICAS EN LA INSTALACION DE CABLES.—
RESISTENCIA DE AISLAMIENTO.— Para los cables del tipo fejados, de campo no radial, la resistencia de aislamiento R'_i de cada conductor se mide respecto a los otros unidos y el recubrimiento metálico puesto a tierra.

En donde:

E_o = Tensión líneas a neutro

C = Capacidad líneas a neutro.

EN CABLES DE TRES CONDUCTORES.- Con aislamiento de papel y en cables de tres conductores con aislamiento de plástico y una pantalla común al conductor central rodeando los conductores retorcidos, la capacidad de servicio trifásico C en sistemas trifásicos simétricos es:

$$C = \frac{0.111 E_r}{\ln \frac{D^2 (3R^2 - D^2)^3}{r^2 (27R^6 - D^6)}} \mu F / Km.$$

Siendo:

r = Radio del conductor incluidas las capas de aislamiento y de coberturas, en mm.

D = Separación entre conductores, en mm.

R = Radio por debajo del recubrimiento.

La identificación de una falla es usualmente acompañada por el uso de un probador de aislamiento. En la actualidad existen instrumentos portátiles para la medición de la resistencia de aislamiento, estos se pueden clasificar como equipos de prueba y ohmímetros. Los equipos de prueba varían desde un simple puente Wheatstone con galvanómetro y batería hasta los más complicados, en que se incluye un puente, una resistencia patrón de 0.1 megahomios y un condensador. Los ohmímetros indican directamente la resistencia y son muy convenientes para ensayos repetidos.

El equipo portátil más utilizado es el denominado - Megger de Evershed, es un ohmímetro que emplea el principio del galvanómetro diferencial; están representados en el epéndice respectivo, algunos modelos comerciales.

Las pruebas pueden ser hechas desde cada terminal disponible para determinar la existencia de circuitos abiertos ó resistencias series en conductores, de corto circuito ó resistencias paralelas entre cada par de conductores, y de tierras ó resistencia paralela entre cada conductor y su lámina ó cimisa, ó la tierra, como el caso se presente.

Un megohmetro disponible para trabajos en cables, deberá tener un rango continuo de bajo voltaje como rango de prueba de aislamiento en alto voltaje de - por lo menos 250 voltios.

Desde que las lecturas toman pocos segundos, la ver-
sión manivela la cual no requiere una batería ó lí-
nea adicional es muy popular en la actualidad, para
las pruebas sobre cables.

El Megger nos determina entonces el valor de la re-
sistencia del aislamiento, en el momento de una fa-
lla, este valor es denominado resistencia de falla,
el cual varía cuando esta es de una línea a tierra,
ó un cortocircuito, ó dos líneas a tierra, etc.

El valor de la resistencia de falla tiene mucha im-
portancia para poder utilizar el equipo y método --
más adecuado para localizar la falla en un cable.

CAPACIDAD.-- La capacidad se mide de forma similar
a la resistencia de aislamiento, explicado anterior-
mente. Para ello se utiliza un patente de medida -
de capacidades.

CONSIDERACIONES TECNICAS PREVIA LA DETECCION DE UNA FALLA

Previa la utilización de los equipos que nos permiten localizar el punto de falla, es necesario la total desconexión de la fuente de poder de la parte del sistema a probarse. Esta medida nos garantiza la seguridad que debe existir para el personal de trabajo y para los equipos a utilizarse.

Una vez que los circuitos a probarse están aislados del resto del sistema, se debe tomar en cuenta las características del circuito comprendido en la zona de prueba, para poder utilizar los métodos de localización más convenientes.

Las características más importantes a considerarse son las siguientes:

a) CONDUCTOR:

Tensión de operación.

Número de fases del circuito.

Disposición de los materiales de construcción, de aislamiento, tipo de revestimiento, lámina metálica,

calibre del conductor.

b) TIPO DE INSTALACION:

En este punto deben tomarse en consideración:

- Si los cables están instalados en ductos.
- Si los cables están directamente enterrados.

c) CARACTERISTICAS DEL CIRCUITO ELECTRICO:

Dentro de esta clasificación consideraremos:

- Tipo de red? radial, mallado.
- Componente afectada por la falla: alimentador principal, remal.

d) CONDICIONES AMBIENTALES:

Tendremos que tener muy en cuenta las condiciones del suelo en la zona afectada, posibilidad de alguna filtración en los ductos debido a aguas servidas, etc.

Esta información preliminar, nos permitirá utilizar el método más adecuado para localizar la falla y poder continuar con los pasos lógicos a darse en el proceso para detectar una falla.

T I P O S D E F A L L A

Esta tesis tendrá por objeto estudiar los métodos más comunes que se utilizan en la localización de fallas ocurridas en sistemas subterráneos de distribución primaria.

Las fallas en sistemas de distribución primaria se pueden dividir en dos grandes grupos:

- 1) Fallas de circuito abierto, y
- 2) fallas de circuito cerrado.

Las fallas por circuito abierto se producen cuando se hace presente una discontinuidad en el camino de la corriente, debido principalmente a rotura de los conductores de fase.

Las fallas de circuito cerrado son todas aquellas que se manifiestan como cortocircuito cuando se pierde la resistencia del aislamiento, originando falla entre conductores ó de línea a tierra.

Podemos encontrar una variedad de casos que pueden presentarse en sistemas subterráneos, así tenemos -

circuitos abiertos, caminos resistivos, falla a tierra, corto circuitos, etc.

Todas las condiciones indicadas se presentan en los casos prácticos variando su incidencia de acuerdo al tipo de falla.

TIPOS DE FALLAS

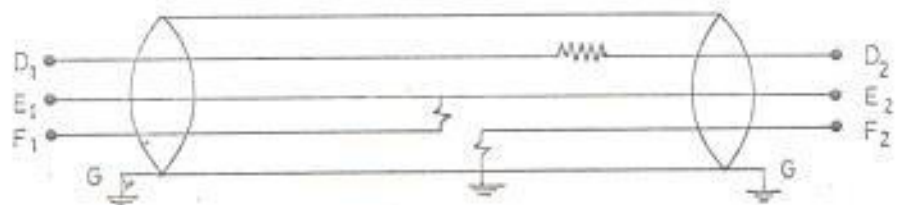
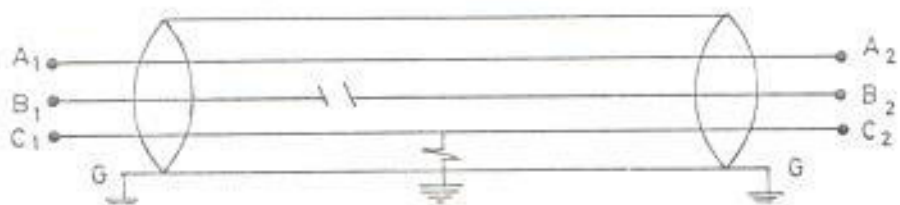


fig. 21

Hay que notar que excepto para las fallas de circuito abierto, todas las fallas y el retorno de tierra son mostrados como teniendo algún valor finito de resistencia, lo cual debe reconocerse como un elemento en el camino de falla.

El circuito abierto y el conductor resistivo son ambos clasificados como fallas serie y pueden identificarse cuando al medir la resistencia del conductor, notamos una variación con respecto a su valor normal. Estas fallas siempre cuentan como una pequeña minoría en los problemas de cables.

El porcentaje mayor consiste de los cortocircuitos y los circuitos a tierra, los cuales son clasificados como fallas paralelas y pueden identificarse -- cuando al medir el valor del aislamiento notamos un cambio con respecto a su valor normal.

Estos valores de resistencia del conductor y resistencia del aislamiento vienen indicados por el fabricante & en su defecto pueden encontrarse en los manuales de cables existentes.

CAUSAS DE FALLAS EN CABLES SUBTERRANEOS

De acuerdo a datos estadísticos y a experiencias de numerosas empresas suministradoras de energía, las causas más comunes de fallas que se pueden encontrar en cables de un sistema de distribución eléctrica -- subterránea, se pueden dividir en cuatro grupos:

- 1.- Causas generales, las que se relacionan con fallas que se producen en los conductores, principalmente en el recubrimiento.
- 2.- Causas directas, las que se derivan de fallas en la fabricación y por el tiempo de servicio.
- 3.- Causas indirectas, las que son debido a factores externos del conductor.
- 4.- Causas desconocidas, denominándolas así, a las que no pueden ser visibles, pues los conductores no muestran ninguna evidencia.

A continuación se describirán brevemente algunas causas de fallas para cada una de las divisiones indicadas anteriormente.

- 1.- CAUSAS GENERALES.- Dentro de esta clasificación podemos encontrar las siguientes:

- a) Fractura del recubrimiento, incluyendo cortes y defectos en el mismo, son causadas principalmente por la entrada de humedad y por la deteriorización lenta del recubrimiento, debido al drenaje del componente aislante.
- b) Corrosión del recubrimiento, producida por la electricidad y por la acción química. Esta falla ocurre siempre en los cables que poseen una chaqueta de plomo. La corrosión reduce el espesor efectivo, el cual después de un tiempo se abre, provocando la falla.

Es necesario tener un conocimiento del ambiente, que rodea al cable para evitar la falla.

- c) Humedad en el aislamiento, evidente pues aumenta la resistencia de la cinta metálica.
- d) Perforación del cable, sin que sea evidente la humedad; es muy probable que esta falla se deba a las siguientes condiciones:
 - 1.- Conductores defectuosos.
 - 2.- Abultamiento del recubrimiento debido a presiones internas.
 - 3.- Pérdida de aceite o componentes del aislamiento

to, en el punto de falla.

4.- Polimerización del compuesto (cera)

5.- Huellas de compuesto carbonizado.

Algunas de estas indicaciones pueden ser debidas al voltaje, pero en la mayoría de los casos, la falla se debe al desarrollo de la presión interna por el punto de falla.

e) El calor, es un caso especial pues ocurre la perforación eléctrica sin humedad, excepto la acción de la deteriorización física principal del papel.

En otros casos, el calor puede ser debido a que el conductor se encuentra sobrecargado, entonces la desipación del calor se efectúe en su superficie; también puede ocurrir que la causa del calor sea debido a fuentes externas.

2.-

2.- CAUSAS DIRECTAS.- Dentro de esta clasificación podemos encontrar las siguientes:

a) Defectos iniciales en el recubrimiento, estos defectos son debido a su espesor delgado ó a defectos estructurales. El espesor delgado es debido a errores en la fabricación cuando se lo hace más delgado que el espesor nominal especificado. Es-

- to causa s debido a los
ante la instalación de presiones normales y
s internas.
- b) Defectos en el sistema de fabricación incluyen irregularidades tóxicas, desgajamientos, rotura o, debido a desplazamientos, -aje, torcimien-
tos, etc.
- c) Deteriorización del sistema a su uso. Si esta causa podrá dividirse en:
-Deteriorización del sistema en 6 años de edad ó menos.
-Deteriorización del sistema en 6 a 10 años de edad.
-Deteriorización del sistema en más de 10 años de edad.
- Estas tres causas son las principales causas de fallas en cables de 10 kV y 33 kV.

3.- CAUSAS INDIRECTAS Dentro de esta clasificación podemos encontrar las siguientes:

- a) Fallas en cables adyacentes: El recubrimiento es generalmente fundido y el aislamiento carbonizado. En el mayor de los casos la falla ocurre en un manhole o en cualquier otro espacio abierto. Generalmente las circunstancias conocidas son suficientes para identificar las fallas debidas a esta causa.
- b) Descarga eléctrica ó perturbación de alto voltaje, el aislamiento es agujereado por una fuente de alto voltaje; ocurren pocos casos de esta clase. - Cuando ellos ocurren, las circunstancias son bien conocidas de tal manera que no existe duda debido a la causa.
- c) Daños mecánicos: El daño mecánico como una causa de falla, involucra la entrada de humedad a través de una abertura en el recubrimiento; de todas maneras en cables operando en altos voltajes, la falla puede resultar en la pérdida del compuesto a través de la abertura en el recubrimiento y entrada de fuego. También puede producirse debido a los siguientes motivos:
-Vibración: la vibración de los carros en las calles o del paso de tractores sobre el pavimento u otras causas pueden ocasionar que el recubri-

miento del cable se rompa cerca de los soportes ó en algunos casos en los ductos. Los cables extendidos sobre puentes están también sujetos a la vibración.

-Expansión y contracción: El movimiento del cable con las variaciones diarias en carga, puede causar la rotura del recubrimiento. En el caso de invierno, si el recubrimiento no es muy fundido, se encontrarán rozaduras, pero rotura del recubrimiento debido a los movimientos del cable, este es a veces acompañada por cierto retorcimiento.

-Causes externas: Estos daños son debido a implementos de trabajo, tales como: palas mecánicas de vapor usadas en la construcción, vibradores, etc.

La causa de la falla es generalmente conocida. En otros casos un examen de la localización de la falla nos mostrará que pasó.

a) Daños durante la instalación: Los daños de este tipo son generalmente debidos a ranuras ó surcos en el recubrimiento causado por piedras, concreto roto en el ducto, etc. La evidencia de ranuras profundas ó surcos es generalmente encontrada

sobre el recubrimiento. En algunos casos la falla -
puede ser debido a la fuerza excesiva de halar el ca
ble durante la instalación.

4.- CAUSAS DESCONOCIDAS.- Si la evidencia disponi--
ble sea directa ó indirecta no presenta una ex--
plicación razonable de la falla, ninguna causa -
de la falla puede ser asignada. En algunos ca--
sos, cuando el cable es destruido por el arco ó
es mutilado sacándolo del ducto, no hay conclu--
sión justificada, es deseable de que el uso de
esta clasificación sea siempre reducida.

CAPITULO 3
METODOS

MÉTODOS PARA LOCALIZAR DE FALLAS EN CABLES SUBTERráNEOS

GENERALIDADES.— Los métodos de medida que se aplican para localizar exactamente las fallas, dependen de la naturaleza de estas y de las condiciones locales.

Existen gran cantidad de instrumentos de medida y de localización de fallas para los diversos métodos, que se pueden dividir en grupos:

- 1.- Método clásico con puentes de medida
- 2.- Técnicas modernas de localización con instrumentos de medida de reflexión de impulsos para la prelocalización e instrumentos de búsqueda para encontrar la posición exacta del punto defectuoso.

La primera clasificación se refiere a los métodos que emplean señales transmitidas en el conductor falso, desde uno de los terminales, estas señales son físicamente rastreadas a lo largo del cable con instrumentos de detección, hasta que la falla se localize, en función de un cambio en la característica de la señal.

Mientras que los métodos convencionales ofrecen buenos resultados bajo determinadas condiciones y el lugar de la avería se localiza después de varios ensayos, los instrumentos modernos determinan el lugar exacto en breve tiempo, sin necesidad de efectuar cálculos laboriosos.

No hay, además, ningún aparato que indique y localice exactamente todas las clases de averías, lo que significa que en casos difíciles es preciso recurrir a medidas auxiliares previas.

Los métodos de localización de fallas se dividen en:

- 1.- Mediciones preliminares
- 2.- mediciones de localización
- 3.- Determinación exacta con instrumentos de proyección.

MEDICIONES PRELIMINARES.- Las medidas preliminares nos indican la clase de falla. Muestran cuales conductores del cable tienen una derivación a tierra, están cortocircuitados ó interrumpidos. Además, se obtiene la resistencia en el punto defectuoso, es decir, la resistencia entre conductores o entre estos y el recubrimiento metálico. Basándose en estas mediciones, se elige el método de localización apropiada.

PRUEBA DE CONTACTOS CON TIERRA Y ENTRE CONDUCTORES.—
Todos los conductores del cable se desconectan en ambos extremos; tienen que estar sujetos y aislados entre si y respecto a tierra.

La resistencia de aislamiento respecto a tierra se comprueba según lo indicado al respecto en páginas anteriores, conectando un borne del magneto al potencial de tierra (recubrimiento metálico) y el otro a cada uno de los conductores sucesivamente.

Al probar los contactos entre conductores, se mide la resistencia de aislamiento entre ellos. Si se emplea un instrumento de medida de reflexión de impulsos, es conveniente medir la resistencia de paso en el punto defectuoso con un comprobador de conductores alimentado por batería o con un puente de medida de baja tensión.

No debe utilizarse en este caso un magneto, puesto que la alta tensión generada puede originar chispas, falsificando así el valor de la resistencia de falla. En tal caso es imposible determinar si conviene utilizar un instrumento de medida de reflexión de impulsos. La tensión de servicio (baja ó media tensión), así como el tipo y la longitud del cable, determinan la resistencia del cable, determinan la resistencia

mínima admisible de aislamiento.

PRUEBA DE CONTINUIDAD DE LOS CONDUCTORES POR MEDIDA
CION DE LA RESISTENCIA.- Los conductores se corto--
circuitan en un extremo del cable. La resistencia -
de cada circuito se mide con un puente y se compara
con los valores hallados al finalizar el montaje o -
bién con los valores calculados en función de la lon-
gitud y de la sección.

Sin embargo, esta comparación entre los valores indí-
cará raras veces la posible reducción de la sección
de un conductor en el punto defectuoso.

Si la resistencia medida en un circuito formado por
dos conductores (en algunos casos del orden de),
se llega a la conclusión de que uno de los conducto-
res está interrumpido.

En los métodos para localización de fallas que se des-
cribirán posteriormente, la intención del autor es -
de proporcionar una guía para la selección del méto-
do más práctico adaptable en circunstancias indivi-
duales. No es la meta dar una guía para la solución
de algún problema particular, sin embargo, se pueden
seguir algunos factores para ser considerados.

Para los cables unipolares, de campo radial, se mide la resistencia de aislamiento $R'i$ entre cada conductor y el recubrimiento metálico. La resistencia de aislamiento Si por kilómetro se calcula como sigue:

$$R_i = R'i l \quad M\Omega \text{ Km.}$$

RESISTENCIA DE LOS CONDUCTORES.— Para medir la resistencia de los conductores se unen estos a través de un puente en un extremo, mediante conexiones de la misma conductividad. Las resistencias de paso deben reducirse a un mínimo estableciendo uniones sólidas por enchufe ó tornillos. La resistencia de los bucles conductores se mide desde el otro extremo usando un puente de medida adecuada.

La resistencia de un conductor es igual a la mitad de la del bucle medido.

RESISTENCIA DE FALLA.— Cuando una falla ocurre en un cable, en la mayor parte de los casos este ocurre por causa del aislamiento. La corriente de fuga que circula por este debido a la pérdida del valor de la resistencia, adquiere un valor muy alto, lo que ocasiona la falla del conductor en este punto.

La práctica del personal sobre el equipo disponible proporcionará la experiencia necesaria para solucionar los problemas en la forma más rápida y eficaz.

MÉTODO: MEDIDA POR PUENTE SEGUN
MURRAY

PRINCIPIO: El conductor tiene una resistencia uniforme por unidad de longitud, por lo tanto la distancia al punto de falla, es proporcional a la relación de resistencias en el hilo calibrado de un puente de Wheatstone.

APLICACION: Falla de línea a tierra en un cable triplex. (Fig. 22).

DIAGRAMA DE CONEXIONES:

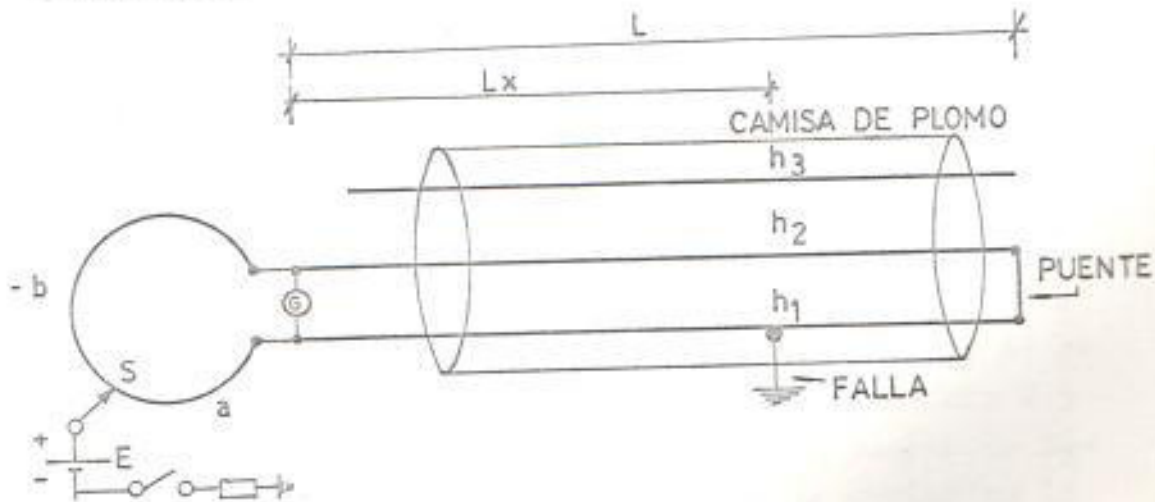


fig. 22,

Siendo:

h_1 = conductor con falla

h_2, h_3 = conductores buenos

X = distancia a la falla

L = longitud entre terminales

G = galvanómetro

S = hilo del cursor del puente

a y b = longitudes de medida del hilo del cursor

E = fuente de corriente directa.

EQUIPO UTILIZADO: Fuente Wheatstone con dos brazos.

OPERACION: La localización del punto defectuoso se efectúa midiendo la resistencia R_x comprendida entre el terminal de origen y dicho punto por la conexión del puente de Wheatstone. Partiendo de la resistencia R_x y de la sección del conductor -- puede calcularse su longitud L_x y por tanto determinar donde se halla la avería. Los conductores se unen en cortocircuito en uno de sus extremos con un cable de igual calibre y sección; al otro extremo se conecta una batería E y el hilo calibrado S de un puente de hilo de Kirchhoff, según se indica en la

Fig. 22

El contacto de corredera se une a través de un galvanómetro G , con tierra.

En esta conexión, la resistencia de aislamiento R_f - en el lugar donde existe la falla, no tiene influencia alguna en la medida. El contacto de corredera se desplazará hasta conseguir que el galvanómetro no se desvíe de su posición de equilibrio.

DIAGRAMA DEL CIRCUITO - CALCULOS: De acuerdo a la conexión indicada en la fig. 23, el conductor defectuoso y otro en buen estado se conectan entre si en uno de los extremos, y en el otro se conecta un sistema de puente con dos brazos que consisten en tramos de resistencia que pueden regularse a voluntad, los dos segmentos de líneas constituyen los otros brazos: Así tenemos el siguiente diagrama.

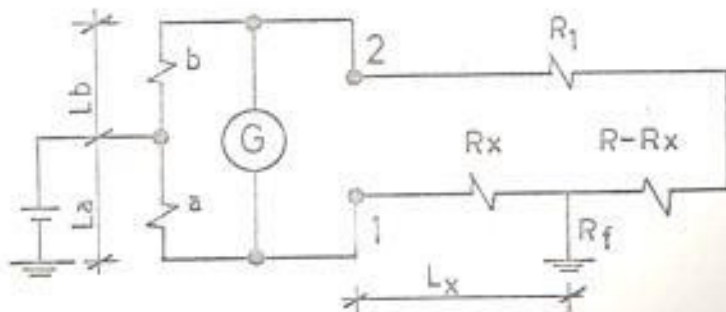


fig. 23

Designamos como R , la resistencia de todo lo líneas (de ida y vuelta), con $2L$ la longitud total, con R_a y R_b la resistencia y longitud, respectivamente, del trozo comprendido entre el origen (l) y el lugar defectuoso, la resistencia R_x será, según la ley del puente de惠更斯:

$$R = R_a + R_x + (R - R_x)$$

$$\frac{R_x}{R - R_x} = \frac{a}{b}$$

De donde:

$$R_x = (R - R_x) \frac{a}{b}$$

Y si tenemos el hilo calibrado medido, la fórmula quedará de la siguiente manera:

$$R_x = (R - R_x) \frac{L_a}{L_b}$$

Si $L = L_a + L_b$ es su longitud total, se obtendrá después de algunas transformaciones de la fórmula anterior.

$$R_x = R \frac{L_a}{L}$$

a más, puesto que $R_x = L \times \frac{\rho}{S}$

$$R = \frac{2L\rho}{S}$$

Tenemos:

$$\boxed{L_x = 2L \frac{La}{L}} \text{ metros}$$

RECOMENDACIONES: Las siguientes indicaciones deberán tomarse como una guía en la aplicación de este método:

- 1.- Si el hilo de retorno, tiene una sección y -- longitud distinta a las del conductor con falla, la longitud del conductor de retorno debe convertirse en una longitud l_l , la sección equivalente a la del conductor a medir.
- 2.- Para cables triples y univoltines, el puente es hecho por la unión del conductor con falla a un conductor bueno del mismo cable.
- 3.- Si existiera un solo conductor, ó donde todos los conductores estuvieran con fallas, se debe medir un conductor provisional a lo largo de la ruta, preferiblemente del mismo calibre y sección.

- 4.- La resistencia de contacto en el anillo y los puntos de prueba, deben reducirse al mínimo, especialmente cuando la líneas es de gran diámetro, o sea de muy pequeña resistencia.
- 5.- La precisión del método de Murray depende primamente sobre la efectividad de los instrumentos y su independencia de la resistencia de falla, aunque este factor no entra dentro de la sensibilidad del puente.
- 6.- La exactitud puede afectarse por la ocurrencia de alguna condición anormal en la resistencia del conductor, causada por: quemadura, ruptura parcial, corrosión, corriente vagabunda, etc.
- 7.- La utilidad del método de puente de Murray depende sobre su resolución y capacidad para vencer la resistencia de falla, lo cual, en cambio, depende sobre ambos el voltaje aplicado y la sensibilidad del detector nulo.
- 8.- La resistencia de falla y el contacto de la resistencia de cursor, estando en el circuito de la fuente, no tienen influencia en la exac-

titud de la medida.

- 9.- Este método es aconsejable para fallas de baja resistencia.

En definitiva podemos indicar que para la localización de una falla de una línea a tierra, utilizando el método del puente de Murray, que este método se basa en un puente ordinario de Weststone sobre una corriente constante básica, la resistencia de falla está en serie con la fuente de poder.

La exactitud final de la medida dependerá de la uniformidad o linealidad del cursor del puente y secciones del cable en los brazos del puente, resistencia de contacto de las conexiones, temperatura del cable conductor y la precisión de los aparatos de medida del cable.

- 10.- Si la falla a tierra es de resistencia elevada, con el sistema indicado en la Fig.22 , del método de Murray, pasaría muy poca corriente por el puente; en tal caso se deben intercambiar la batería y el galvanómetro, y este debe ser de resistencia elevada. Si los brazos de pro-

PRINCIPIO: INDICACION DE LA RESISTENCIA DE ISLA DE FALLO

PRINCIPIO: El conductor tiene una resistencia uniforme por unidad de longitud.

APLICACION: Falla de circuito abierto en un conductor de un cable tripolar.

DIAGRAMA DE CONEXIONES:

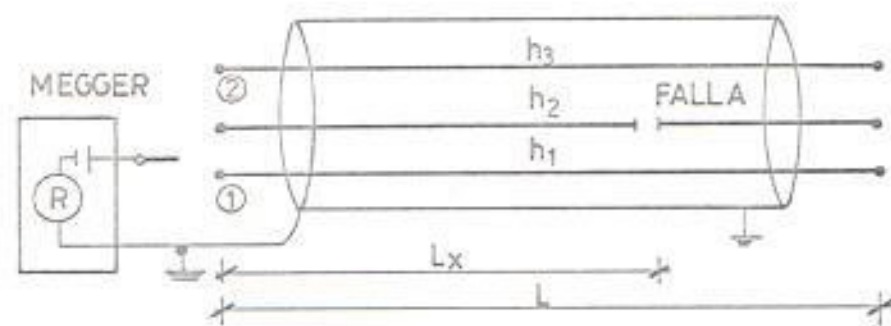


fig 24

- h_1 y h_3 = Conductores buenos
- h_2 = Conductor con falla
- E = Fuente.
- L_x = Distancia a la falla
- (1) y (2) = Contactos para prueba

ESTUDIO UTILIZADO: Megger portatil, o un medidor de resistencia (Fuente)

OPERACION: La distancia a una falla de circuito abierto desde un terminal, puede ser encontrada por la relación de las resistencias de aislamiento del conductor con falla y otro conductor sin falla de longitud conocida.

Poniendo de la resistencia R_x y de la sección del conductor puede calcularse su longitud L_x y por tanto determinar donde se halla la avería.

Las mediciones pueden efectuarse con un puente de Wheatstone o con un megohmetro.

DIAGRAMA DEL CIRCUITO: CALCULOS: Refiriéndonos a la conexión indicada por la fig. 24, podemos obtener el siguiente diagrama:

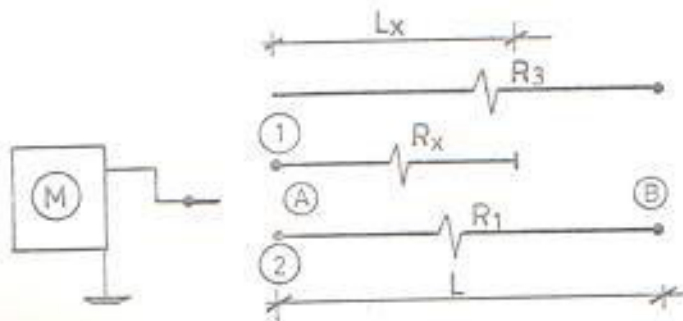


fig. 25

Siendo:

R_1 y R_x = Resistencia de conductores buenos, de distancias conocidas.

R_x = Resistencia del conductor con falla.

① y ② = Contactos para prueba.

M = Negger.

A y B = Terminales.

L_x = Distancia al punto de falla.

L = Longitud entre terminales.

Aplicando el principio enunciado tenemos: al medir en el punto (2):

$$R_1 = L \frac{\rho}{S}$$

Al medir en el punto (1):

$$R_x = L_x \frac{\rho}{S}$$

Dividiendo las dos expresiones tenemos:

$$\frac{R_1}{R_x} = \frac{L \cdot \frac{\rho}{S}}{L_x \frac{\rho}{S}}$$

Lo que nos da; simplificando:

$$\frac{R_1}{R_x} = \frac{L}{L_x}$$

Despejando la incognita:

$$L_x = \frac{R_x}{R_1} L \quad \text{metros}$$

RECOMENDACIONES: Las siguientes indicaciones deben tomarse en cuenta para la aplicación de este método:

- 1.- Usualmente, el conductor de prueba es uno en buen estado del mismo cable u otro cable colocado en la misma ruta del mismo calibre, y sección.
- 2.- Cuando tenemos un solo conductor instalado ó donde todos los conductores estén con fallas, entonces - conociendo la distancia original entre terminales; podemos calcular la distancia al punto de falla aplicando una variación a la fórmula

- 3.- La exactitud de este método, depende de la precisión de los instrumentos empleados y de la uniformidad del cable, en las más favorables - circunstancias con un megohmetro teniendo una escala logarítmica, una precisión de más ó menos 10% es posible.
- 4.- Este método es adecuado para instalaciones en - ductos, donde la falla debe solamente ser localizada dentro de una sección.
- 5.- Como prueba, deberá encontrarse la distancia, - desde ambos terminales.
- 6.- Este método es incapaz para cualquier cambio en la construcción de el cable a menos que una conversión sea hecha, para la longitud equivalente de un cable, desde la relación entre sus respectivas resistencias de aislamiento, por unidad - de longitud.
- 7.- El megohmio disponible debe permitir que todas las pruebas sean hechas a igual voltaje, preferiblemente el máximo.
- El método de relación de resistencia de aislamiento

miento puede ser aplicado para cualquier instalación de cables, es además rápido, simple y un medio barato de localizar fallas de circuitos abiertos.

lo indicado, midiendo desde ambos terminales podemos calcular también la distancia, tomando mediciones -- desde ambos terminales, solamente al conductor con falla.

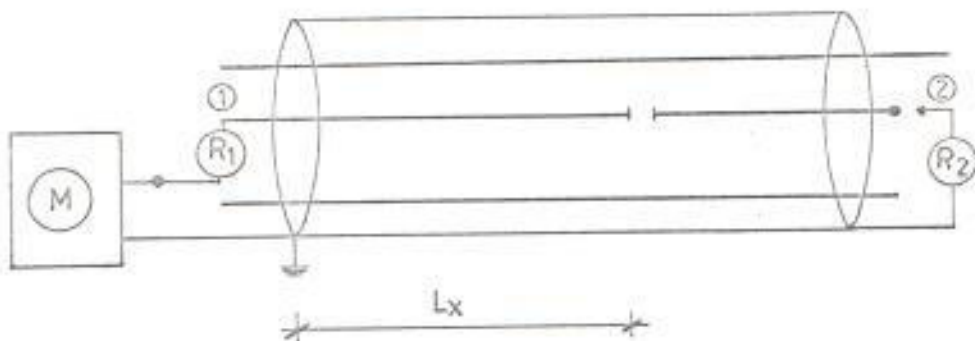


fig. 26

ASI TENEMOS:

$$\frac{R_2}{R_1 + R_2} = \frac{L_x}{L_x + (L - L_x)}$$

$L_x = \frac{R_2}{R_1 + R_2} L$

metros

METODO: MEDIDA DE LA CAIDA DE TENSION

PRINCIPIO: 1.- Según la ley de ohm, tenemos que la caída de tensión es igual a la corriente multiplicada por la resistencia $V = I \cdot R$

2.- El conductor tiene una resistencia uniforme por unidad de longitud.

APLICACION: Falla de línea a tierra en un conductor unipolar, no existiendo conductor de retorno.

DIAGRAMA DE CONEXIONES:

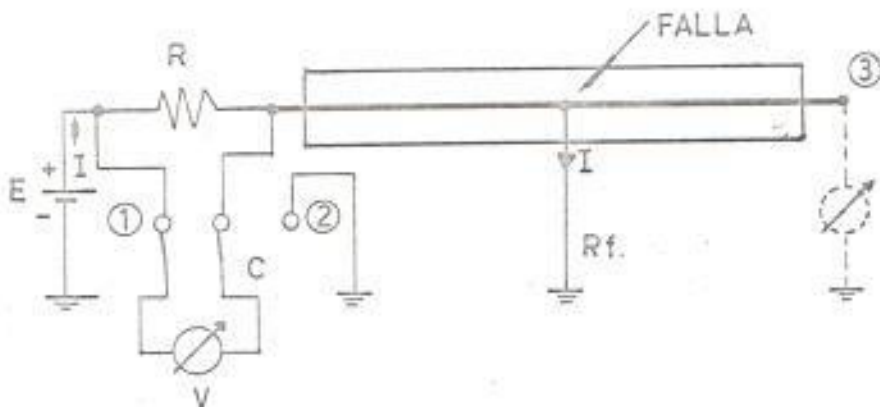


fig. 27

Siendo:

R = Resistencia de valor conocido

R_f = Resistencia del lugar defectuoso

R_x = Resistencia de la línea hasta el punto de falla.

E = Fuente de corriente constante.

C = Comutador doble.

V = Voltímetro.

EQUIPO UTILIZADO: Fuente, voltímetro, commutador doble.

OPERACION:

Con frecuencia se presenta el caso de no ser posible la localización del defecto de un conductor por el método del bucle, porque no se dispone de conductor de retorno, la localización puede entonces realizarse por este método efectuando en el orden indicando las siguientes medidas.

- 1.- El commutador C , se coloca en la posición (1), luego el voltímetro V_1 medirá la tensión:

$$V_1 = I \cdot R$$

- 2.- El commutador C, se coloca en la posición (2),
 luego el voltímetro V, medirá la tensión.

$$V_2 = I (R_x + R_f)$$

- 3.- El voltímetro se conecta entre el otro extremo de la línea y tierra, posición (3), e indicará la caída de tensión V_3 en la resistencia de fuga.

$$V_3 = I R_f$$

DIAGRAMA DEL CIRCUITO - CALCULOS: De acuerdo a la conexión indicada en la fig. 28, tenemos para las diferentes posiciones del commutador, los siguientes circuitos:

POSICION (1)

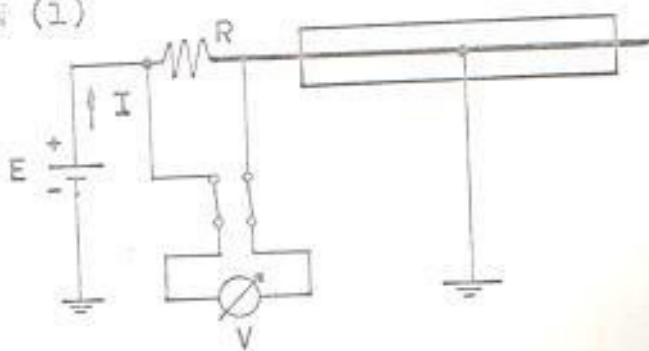


fig. 28

POSICION (2)

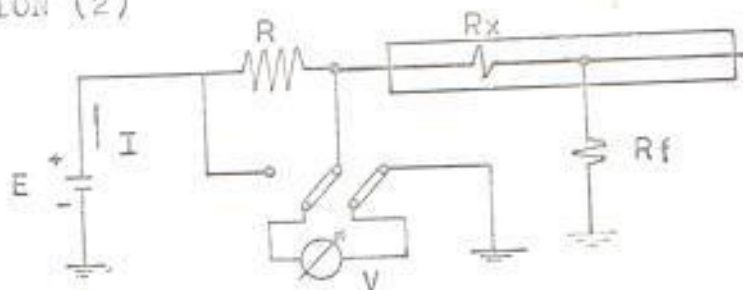


fig. 29

POSICION (3)

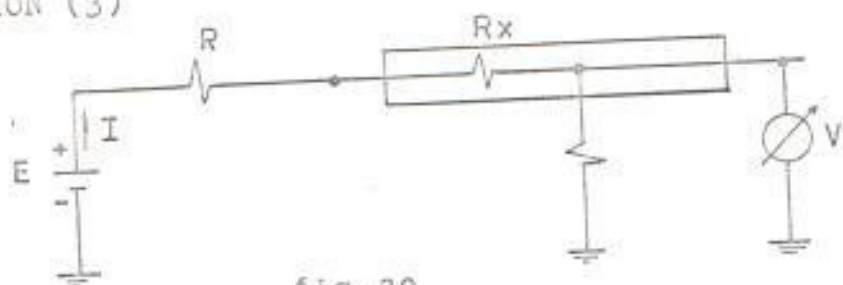


fig. 30

Partiendo de las tres ecuaciones para V_1 , V_2 y V_3 , puede calcularse la resistencia R_x , conocida la sección del hilo, la distancia a lo que está la folla puede determinarse. Se tiene:

$$V_1 = I \cdot R$$

$$V_2 = I (R_x + R_f) = I \cdot R_x + I \cdot R_f$$

$$V_3 = I \cdot R_f$$

Reemplazamos el valor V_3 en la segunda ecuación y tenemos:

$$V_1 = I \cdot R$$

$$V_2 = I \cdot R_x + V_3$$

Despejamos la corriente:

$$I = \frac{V_1}{R} \quad I = \frac{V_2 - V_3}{R_x}$$

Igualamos las dos ecuaciones:

$$\frac{V_1}{R} = \frac{V_2 - V_3}{R_x}$$

Despejamos R_x , y tenemos:

$$R_x = \frac{V_2 - V_3}{V_1} R \quad \text{ohmios}$$

La distancia desde el lugar de la avería hasta el origen del hilo es, según el principio enunciado:

$$R_x = L_x \frac{\rho}{S}$$

Luego:

$$L_x = \frac{R_x \cdot S}{\rho} \quad \text{metros}$$

- RECOMENDACIONES:
- 1.- Deben eliminarse al mínimo las resistencias de contacto.
 - 2.- Este método es solamente aplicable cuando la resistencia de falla no es muy grande, y no varía durante la medida.
 - 3.- La exactitud puede afectarse por la existencia de alguna condición de resistencias anormal en el conductor.

La aplicación de este método de localización de fallas en cables, nos permite obtener una localización aproximada del punto de falla, teniendo en cuenta de que si el otro terminal estuviere muy distanciado, es necesario tener un conductor de retorno.

Este método es rápido y fácil de aplicar, su precisión depende principalmente de la exactitud de sus instrumentos.

MÉTODO: Medida de la relación de tensiones.

PRINCIPIO: Basándonos en la ley de ohm, la distancia a un cortocircuito ó a una falla a tierra, puede ser encontrada a partir de las indicaciones de la caída de voltaje a través de los conductores desde los terminales, cuando una corriente constante es aplicada y la distancia entre terminales es conocida, debido a que el conductor tiene una resistencia uniforme por unidad de longitud.

APLICACIÓN: Falla de líneas a tierra a un cable unipolar.

DIAGRAMA DE CONEXIONES:

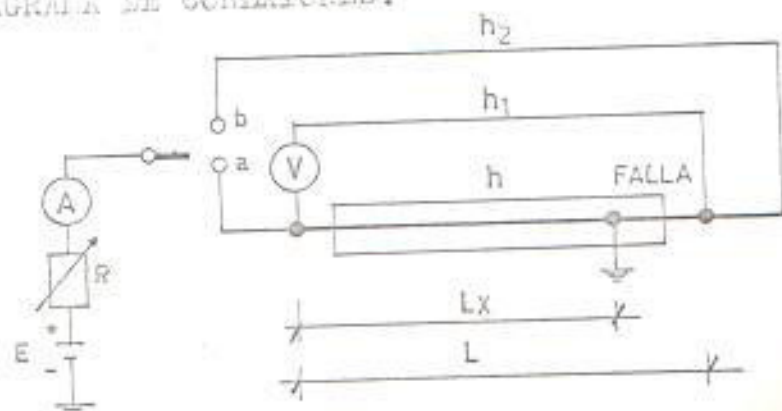


fig. 31

ESTUDIO:

h	= Conducto unipolar con falla
h_1 y h_2	= Conductores unipolares
L_x	= Distancia al punto de falla.
L	= Distancia entre terminales.
V	= Voltímetro
A	= Amperímetro
E	= Fuente de tensión
a y b	= Terminales para medir
R	= Resistencia.

EQUIPO UTILIZADO: Fuente de tensión (Batería), amperímetro, resistencias.

OPERACION: La localización del punto defectuoso puede ser encontrada a partir de las mediciones de caída de voltaje a través de los conductores.

Se debe leer el valor indicado por el voltímetro pasando la misma corriente por el interruptor en las posiciones a y b , y compensando con la resistencia R después de comutar.

DIAGRAMA DEL CIRCUITO - CALCULOS: De acuerdo a la

conexión indicada en la fig. 31 , se conectan dos conductores auxiliares al conductor con falla, y se efectúen las lecturas en el voltímetro, al circular una misma corriente para las dos posiciones del interruptor.

Así tenemos el siguiente diagrama:

POSICION (a):

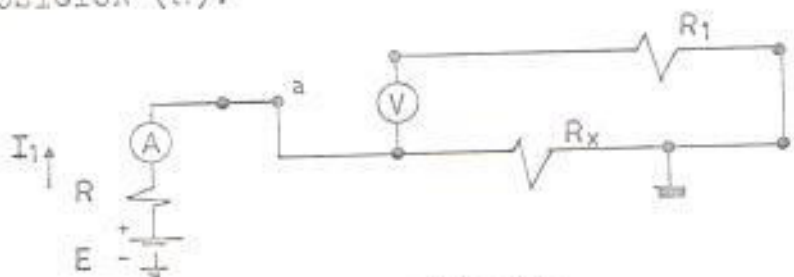


fig. 32

EL CIRCUITO QUEDA:

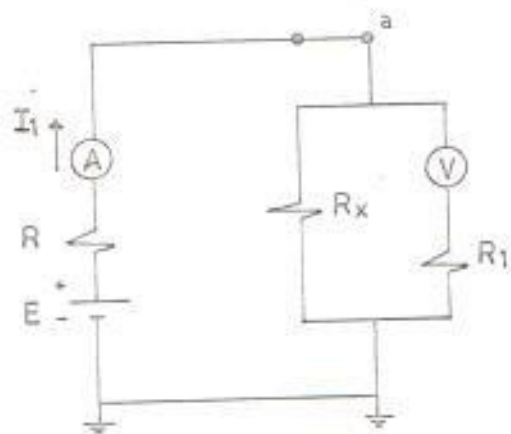


fig. 33

EN DÓBLES:

R = Resistencia de compensación

R_x = Resistencia del conductor en el punto
de falla

R_1 = Resistencia del conductor bueno

I_1 = Corriente para la posición a.

Como nos interesa la caída V_a , ésta es:

$$I_1 R_x = V_a \quad (1)$$

pues siendo la resistencia del voltímetro más la del conductor, muy mayor que la resistencia del conductor con falla, tenemos que la corriente mayor pasará por la resistencia menor (R_x).

POSICIÓN (b):

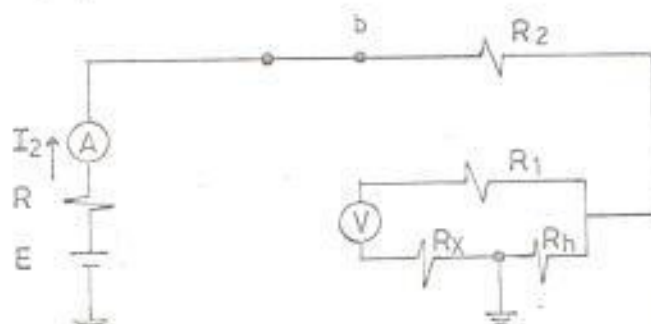
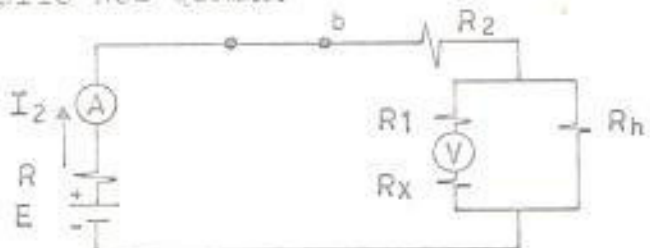


fig. 34

EN EL CIRCUITO NOS QUEDA:



EN DONDE:

fig. 35

- R = Resistencia de compensacion
R₂ = Resistencia del conductor auxiliar bu
no.
R₁ = Resistencia del conductor auxiliar bu
no.
R_x = Resistencia del conductor en el punto
de falla.
R_h = Resistencia del resto del conductor -
con falla.
I₂ = Corriente para la posicion b.

En forma similar a lo indicado para la caída V_a, -
calculemos la caída V_b, que es:

$$I_2 R_h = V_b \quad (2)$$

para poder determinar la distancia al punto de falla tenemos que tener presente los siguientes valores:

$$I_1 = I_2 = I$$

$$R_x + R_h = L$$

$$R_x : L_x$$

La distancia al punto de fallo, puede ser encontrada de la siguiente manera:

$$(R_x + R_h) : L$$

$$R_x : L_x$$

$$L_x = \frac{(R_x \cdot L) I}{(R_x + R_h) I} = \frac{V_a \cdot L}{V_a + V_b}$$

$$\boxed{L_x = \frac{V_a}{V_a + V_b} L} \quad \text{metros}$$

RECOMENDACIONES:

1. Es indispensable reducir al mínimo las resistencias de contacto.
2. Si no existiere un conductor auxiliar del mismo calibre, su longitud debe ser convertida a una equivalente por medio de sus respectivas resistencias por unidad de longitud.
3. La precisión de este método depende en gran parte de la selección de la resistencia de fallo n -

la resistencia del conductor, y esto es solamente práctico cuando la resistencia de falla se approxima a cero.

4. La exactitud es suelen afectada adveramente por la ocurrencia de alguna resistencia adicional en el conductor, causada por quemadura, corrosión, corrientes galvánicas, etc.
5. Como prueba, la distancia al punto de falla debe ser encontrada desde cada terminal.
6. La fuente y el voltímetro requerido variaran extensamente de acuerdo al calibre y longitud del conductor y la posición deseada. Pueden utilizarse instrumentos de corriente directa ó alterna.

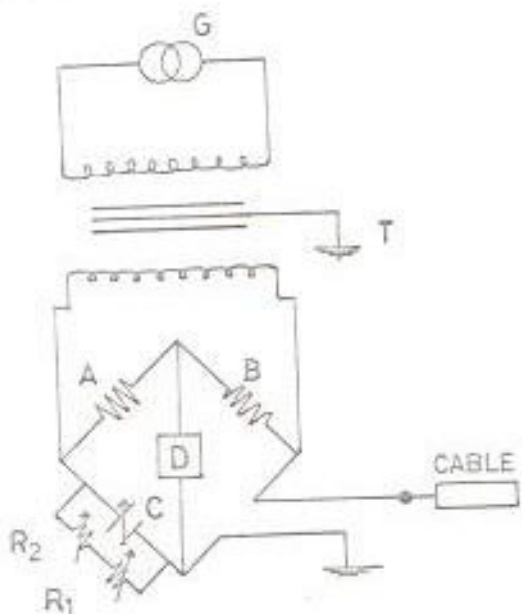
Aunque este método es muy rápido y económico, no es muy popular a causa de su falta de exactitud bajo muchas condiciones. Este método tiene valor solamente como una indicación de localización de una falla, para cualquier método de rastreo ó para verificación de otros métodos de terminales.

ANALOGO: Medida de capacitancia

PRINCIPIO: Este método se basa en el hecho de la relación entre la capacitancia de un conductor con falla con la capacitancia de un conductor bueno de longitud conocida.

APLICACION: Falla de circuito abierto, sin que haya circuito a tierra.

DIAGRAMA DE CONEXIONES:



PUENTE DE CAPACITANCIA

fig. 36

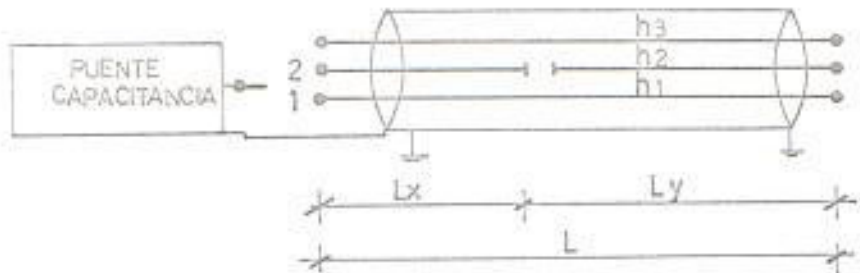


fig. 37

FALLA DE CIRCUITO ABIERTO
MEDICIÓN DESDE DOS TERMINALES

SIENDO:

- h_1 y h_3 = Conductores buenos
- h_2 = Conductor con falla de circuito abierto.
- L_x = Distancia al punto de falla del terminal.
- L_y = Distancia al punto de falla del otro terminal.
- L = Distancia total entre terminales.

EQUIPO UTILIZABLE: Puente de capacitancia (Dc & Ac)

OPERACION: Este caso de circuito abierto, sin que haya circuito a tierra, se presenta generalmente en los cables. No es posible entonces efectuar una medida de re-

distancias, por no poder enviar corriente alguna a la línea. La localización del punto de falla se lo efectúa generalmente midiendo las capacidades C_x y C_y de los dos segmentos en que queda dividido el cable.

Estas lecturas podemos efectuarlas por medio de un puente de capacitancia, el lugar de la falla puede localizarse porque la capacidad del cable es proporcional a su longitud.

DIAGRAMA DEL CIRCUITO - CALCULOS:

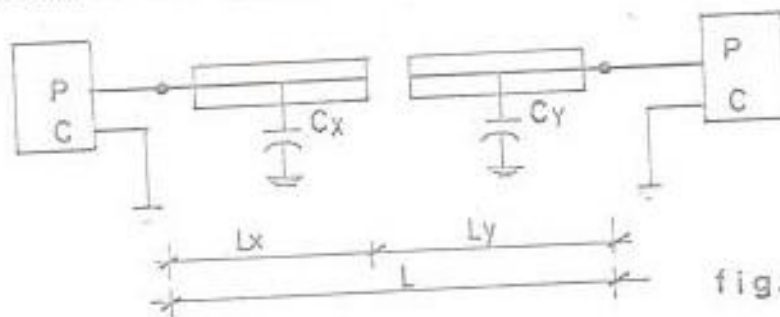


fig. 38

Siendo b la longitud total del hilo roto y L_x y L_y las distancias del lugar de la rotura a los dos extremos de aquél, se tendrá:

$$L_x + L_y = b$$

$$C_x = K \cdot L_x$$

$$C_y = K \cdot L_y$$

$$\text{y} \quad C_x + C_y = K \cdot L$$

Donde K es una constante desconocida dependiente de la construcción del cable. De las ecuaciones indicadas, tenemos:

$$L_x = L \frac{C_x}{C_x + C_y} \quad \text{metros}$$

$$L_y = L \frac{C_y}{C_x + C_y} \quad \text{metros}$$

Si tomáramos lectura desde un solo terminal tendríamos el siguiente diagrama:

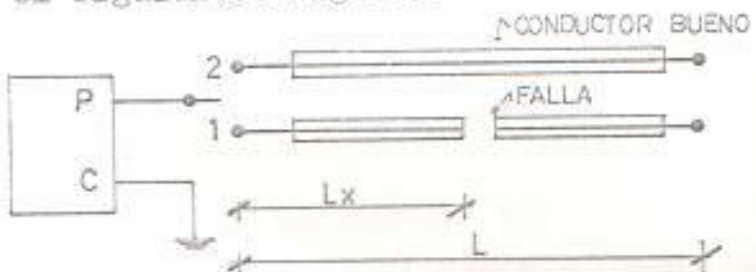


fig. 39

Luego tomando lecturas de capacitancia al conductor con falla y al conductor bueno, y teniendo en consi-

Consideración de que un conductor tiene una capacitancia uniforme por unidad de longitud, tenemos:

$$\frac{C_1}{C_2} = \frac{Lx}{L}$$

$$Lx = \frac{C_1}{C_2} L$$
 metros

RECOMENDACIONES:

1. Eliminar las resistencias en los puntos de contacto.
2. La precisión de este método depende principalmente sobre la exactitud de los instrumentos empleados, la uniformidad del cable y la ausencia de alguna pérdida no compensada en el cable, particularmente en cables enterrados directamente.
3. Este método es incapaz para cualquier cambio en la construcción del cable, a menos que se efectúe una conversión, para la longitud equivalente de un cable, a partir de la relación de sus respectivas capacidades por unidad de longitud.

4. El muente de capacitancia a utilizar en este método debe de estar provisto de una resistencia balanceada en serie con el capacitor de medición para corregir pérdidas de escape en el aislamiento, lo cual de otra manera introduciría errores en el resultado. Este ajuste es conocido como Factor de Desipación y deberá tener un rango de más del 10%.

Preferentemente, el instrumento será pequeño operado con batería, y generará una señal de no menor que un kilociclo. Este deberá ser capaz de medir capacidades desde 100 piraferndios a 100 nF lo cual es equivalente a unos pocos pies de cable de baja capacitancia a varios miles de cable de alta capacitancia. Una precisión de casi más menos uno por ciento del valor verdadero es posible en muchos rangos.

Este método puede ser aplicado para cualquier instalación de cables, es rápido, exacto y no se requiere demasiada experiencia, para localizar las fallas en cables.

MÉTODO: Medida del sentido da peso de la corriente según Wurmbach.

PRINCIPIO: Este método se basa en la caída de tensión que se produce en el conductor al circular una corriente constante, teniendo en cuenta la desviación de un galvanómetro, conectado al conductor entre ciertos tramos.

APLICACION: Falla de línea a tierra en un conductor unipolar.

DIAGRAMA DE CONEXIONES:

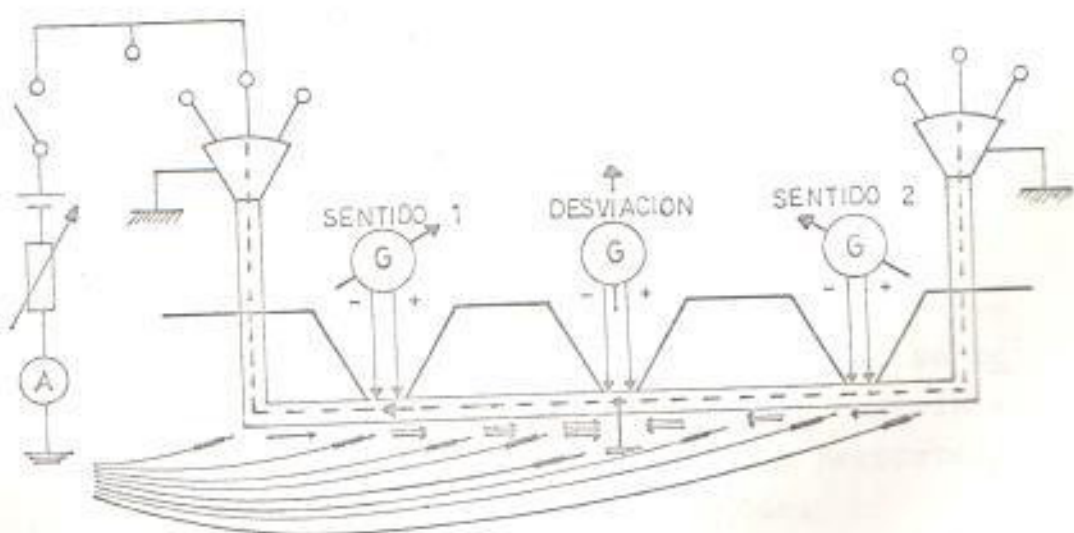


fig 40

SEÑALAS:

- A = Amperímetro
- R = Resistencia de compensación
- E = Fuente de tensión
- G = Galvanómetro.

EQUIPO UTILIZABLE: Amperímetro, galvanómetro, fuente, resistencias.

OPERACION Y LOCALIZACION DEL PUNTO DE FALLA: Los bornes del galvanómetro con indicación del cero ponen en contacto con diversos puntos de la armadura del cable, siempre en el mismo orden contando desde el mismo extremo del cable, tomas de tensión entre 0,5 y 1 metro.

La comprobación del desperfecto se logra por los diversos sentidos de oscilaciones de la aguja del galvanómetro por delante y por detrás del punto defectuoso.

La avería se encontrará en el lugar en el que el galvanómetro indique cero. Mientras se mide, se conectará y desconectará la corriente de la batería - con objeto de determinar las influencias perturbadoras de corrientes eléctricas extraídas.

Este método es indicado para defectos de baja resistencia química, es lento debido a las varias lecturas a tomarse, pero podemos encontrar la falla de una línea en su punto, en forma más o menos exacta.

MÉTODO DE IMPULSO

PRINCIPIO DE OPERACION:

Electricamente todos los fallos pueden ser representados por un camino ó espacio de ciro, en paralelo con una resistencia, como se ilustra en la Fig.

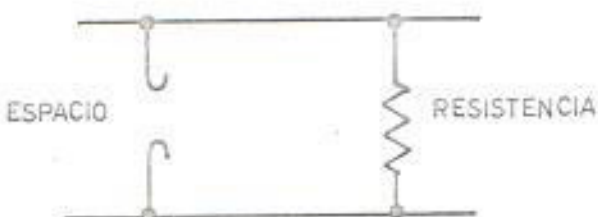


fig. 41

Aunque este circuito eléctrico es simple, las variaciones en las condiciones de los dos caminos pueden cubrir un rango muy ancho, el rango de resistencias desde un valor pequeño a megohmios, y el espacio de voltaje de ruptura variando desde cero a muchos cientos de voltios.

En el método de impulso para localizar fallos, un capacitor ó banco de condensadores es cargado desde un rectificador de potencia de alto voltaje suministrado

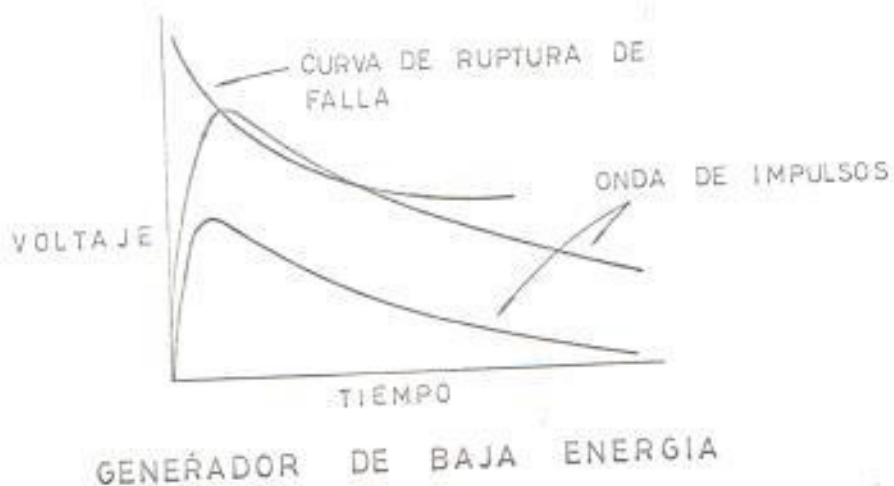
ce por un voltaje apropiado y luego es descargado en el cable con falla.

La onda voltaje-impulso producida, recorre a lo largo del cable hasta que alcance el punto de falla. Esta operación es automáticamente repetida por el generador de impulso hasta que la falla es localizada.

Refiriéndonos otra vez a la figura 41, cuando la onda de voltaje-impulso alcanza la falla puede disiparse por si mismo ya sea a través del camino de resistencia ó produciendo arco sobre el espacio de apertura.

En cualquiera de las dos formas, el resultado es una liberación de energía a tierra, con lo cual se produce una corriente que puede ser detectada. Si la energía pasa solamente a través del camino de resistencia, no resultará un arco, y la detección debe ser en forma electromagnética. Si la resistencia de la falla es muy alta y el voltaje de la onda es suficiente, el espacio producirá arco y el instrumento de detección será del tipo electromagnético ó acústico.

Es importante recordar que la resistencia de falla - puede ser infinitamente alta, pero la falla puede -



GENERADOR DE BAJA ENERGIA



GENERADOR DE ALTA ENERGIA

fig. 42

ser localizada por el método de impulso, con tal que el valor pico y el tiempo de duración de la onda volteje es el adecuado para causar arco.

Básicamente el arco es determinado por dos cosas, la naturaleza de la falla y la magnitud y escala de la onda de 2 voltajes, la última está determinada por el cambio de el generador de impulsos.

La característica de ruptura de fallas pueden ser dibujadas en relación al tiempo y el voltaje y la onda impulso de el generador en uso puede de igual manera dibujarse. Si estas curvas se interceptan, como ilustramos en las Figs. 42 , ocurrirá el arco en la falla.

La duración ó longitud de la onda impulso debe determinada por la capacidad de microfaradios del generador de impulso, consideración importante al escoger los equipos.

Si el cable está expuesto, las fallas pueden usualmente ser localizadas por el sonido ó brillo del arco. Cuando están directamente enterizados ó en duttos ó donde el revestimiento permanece intacto, un detector es el menor requerido.

VENTAJAS: Aunque no hay un método de localizar fallas que sea seguro y eficaz en cada tipo de falla, - el tipo de equipo de impulso generalmente tiene probado de ser el más exacto.

El equipo es conveniente para utilizarlo en localizar fallas, pues es pequeño en tamaño, liviano y requiere menos potencia de entrada que muchos de los métodos viejos.

SELECCIÓN DEL GENERADOR DE IMPULSO: Los dos más importantes características en la selección de un generador de impulso son el voltaje pico de salida y la cantidad de microfaradios los cuales establecen el tiempo de duración de la onda de voltaje. La salida de voltaje determina el voltaje pico de la onda de impulso como la salida del generador, considerando la energía contenida, que define la longitud de la onda de voltaje, esto largamente determinado por la capacidad de microfaradios.

Curvas mostrando energía disponible con voltaje son indicadas en la Fig. 43 . El resultado de estas curvas relaciona a estos parámetros designados los cuales contribuyen para producir arco en el camino de la falla. La localización de la falla puede lue-

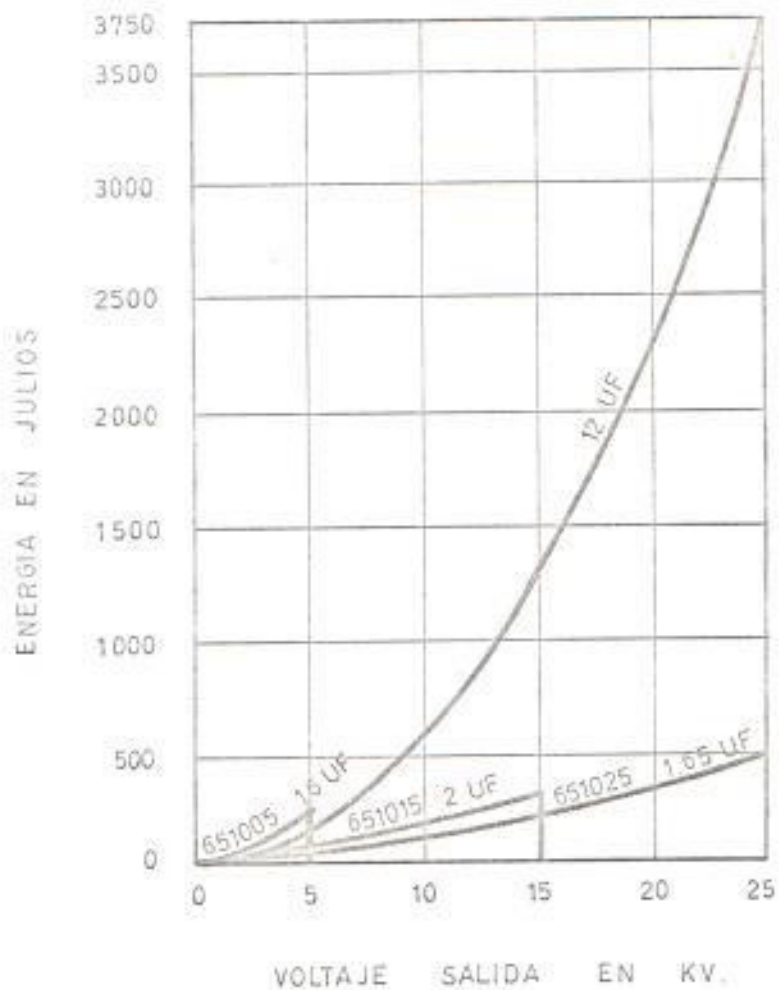


Fig. 43

se ser determinado por el uso de detectores acústicos e magnéticos.

La velocidad de propagación, que puede calcularse entre cables y el tiempo de tránsito de los impulsos, constituyen la base para determinar la distancia a que se encuentra el punto de reflexión y, por tanto, el desperfecto.

Si la velocidad de propagación de los impulsos se representa por V y la constante dieléctrica por ϵ .

$$V = \frac{C}{\sqrt{\epsilon}}$$

Siendo C = la velocidad de la luz.

El material y la sección del conductor no influyen en la velocidad de propagación. Las mediciones se pueden realizar sin conocimiento de las dos primeras, puesto que la constante dieléctrica de los cables del mismo tipo es aproximadamente la misma. Es conveniente no obstante, medir la duración de servicio en un conductor intacto y calcular la velocidad de propaga-

ación sobre esta base, antes de llevar a cabo las mediciones de localización.

CONCLUSIÓN: La aplicación del método de medida -- por reflexión está limitada fundamentalmente a los averías que originan una reflexión visible. En casales de potencia, la resistencia de piso de una derivación a tierra o cortocircuito no ha de ser superior a unos 600 ohmios, a fin de obtener resultados exactos. Se recomienda, por tanto, medir de antemano el valor aproximado de la resistencia de piso, usando un instrumento de prueba alimentado por batería y si fuere necesario preparar el punto defectuoso.

MÉTODO DEL RADAR

PRINCIPIO:

En forma similar al principio del método de impulso, este método se basa en la imposición de un pulso corto de corriente directa, de $1/2$ a 5 microsegundos, desde un generador al cable en falla y midiendo el tiempo que rido para que el pulso impuesto llegue a la falla y regrese reflejado a la fuente, indicando de esta manera la distancia a la falla.

APLICACION:

Estudiaremos este método para la localización de una falla de líneas a tierra en un cable unipolar.

DIAGRAMA DE COMPUTACIONES:

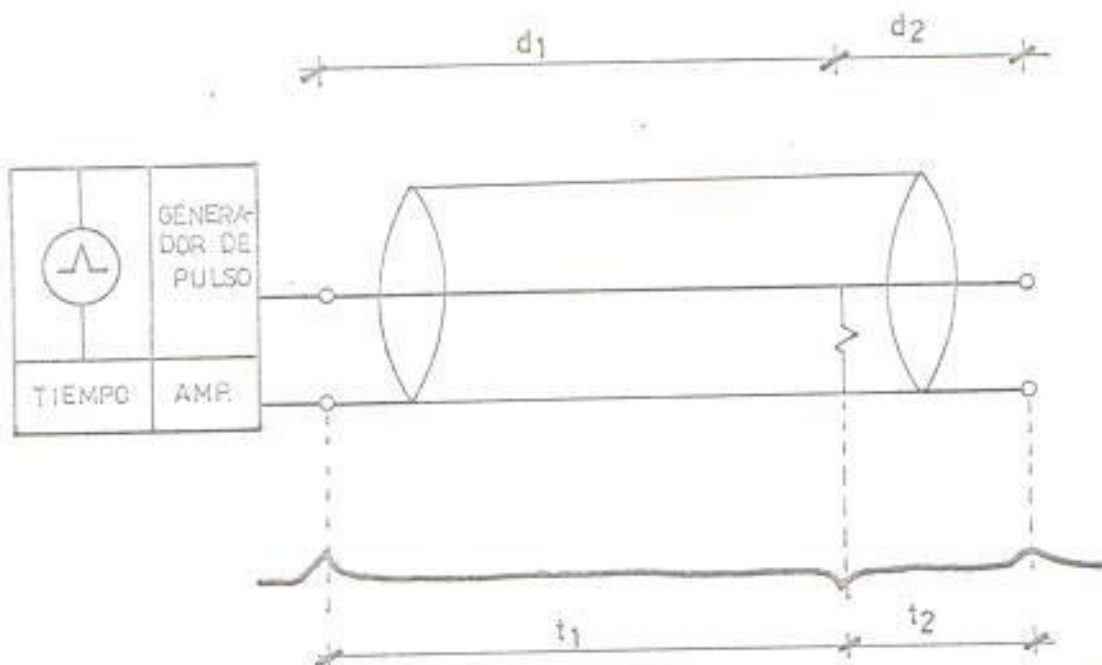


fig. 44.

EQUIPO UTILIZABLE: La fuente es un generador de pulso y el tiempo de reflexión es medido sobre un osciloscópico.

DESARROLLO-CALCULOS: Este método depende sobre el hecho de que toda ó parte de lo q

energía del impulso incidente es reflejado desde cualquier discontinuidad en la fuente de impedancia del cable y que la distancia a la falla es proporcional al tiempo de reflexión.

La distancia d_1 a la falla puede ser encontrada a partir de la siguiente ecuación:

$$d_1 = \frac{1}{2} t_1 V \quad \text{metros}$$

Donde:

t_1 = tiempo de reflexión

V = velocidad de propagación.

Cuando la velocidad de propagación es desconocida, ésta puede obtenerse del fabricante o puede ser encontrada a partir de la medición del tiempo de reflexión de un pedazo de longitud conocida de el mismo cable o de algún cable de características similares, usualmente entre terminales.

A menudo este conductor puede ser un conductor de el mismo cable u otro conductor colocado en la misma ruta.

Donde la ruta del cable tiene solo un conductor instalado disponible, o donde todos los conductores están con falla y solamente se conoce la distancia entre terminales, la distancia a la falla puede ser calculada a partir de la siguiente ecuación:

$$d_1 = \frac{t_1 (d_1 + d_2)}{t_1 + t_2} \text{ metros}$$

En donde:

d_1 = distancia a la falla desde un terminal.

d_2 = distancia a la falla desde el otro terminal.

t_1 = tiempo de reflexión desde un terminal.

t_2 = tiempo de reflexión desde el otro terminal.

Las discontinuidades pueden presentarse como pulsos ascendentes y pulsos descendentes; así tenemos:

- c) Pulsos descendentes: cortocircuitos, fallas de líneas a tierra de altas resistencias, capacitores discontinuos.

b) Pulso ascendentes: circuitos abiertos, conductor resistivo y discontinuidades inductivas.

Otras discontinuidades tales como uniones y potholes tienen sus propias formas características.

Desde que este método mide discontinuidades en impedancia, es capaz de detectar fallas radicales donde la resistencia permanece relativamente alta, tal como ocurre con defectos físicos en el revestimiento o en el aislamiento. El ingreso de agua y sus límites es fácilmente detectado a causa de la disminución de la impedancia, lo cual ocurre debido al cambio radical en los valores de las constantes dieléctricas.

RECOMENDACIONES: 1.- El alcance de este método, es que presenta una imagen visual de cualquier discontinuidad en la forma de reflexión características, la cual revela su identidad como su distancia, desde el terminal.

2.- La precisión de este método depende principalmente de la estabilidad y exactitud del osciloscopio.

- 3.- Este método puede aplicarse a cualquier tipo de instalación de cables, donde hay un escozamiento uniforme entre el conductor y el armario o - ratornio.
- 4.- La utilidad de este método de reflexión de pulso depende del voltaje del generador y del rango de barrido y sensibilidad del osciloscopio.

MÉTODO DE RASTRIGO POR CORRIENTE ALTERNA
MODULADA

PRINCIPIO: Cualquier corriente de 25 ó 60 ciclos - que se interrumpida ó varíe y transmisi-
tida a un conductor con falla desde un terminal y luego rastreada hasta locali-
zar el punto de falla, puede considerar-
se este procedimiento como un método de
corriente alterna modulada.

APLICACION: Falla de línea a tierra en un conductor
tripolar.

EQUIPO UTILIZABLE: Un transmisor de corriente alter-
na y un detector.

El transmisor puede ser cualquier sumi-
nistrador de potencia de corriente al-
terna que tenga el voltaje de salida de
señal y se able por interrupción ó varia-
ción este voltaje a intervalos determi-
nados. Los detectores pueden captar -
el cambio en la señal rastreadora.

DIAGRAMA DE CONEXIONES:

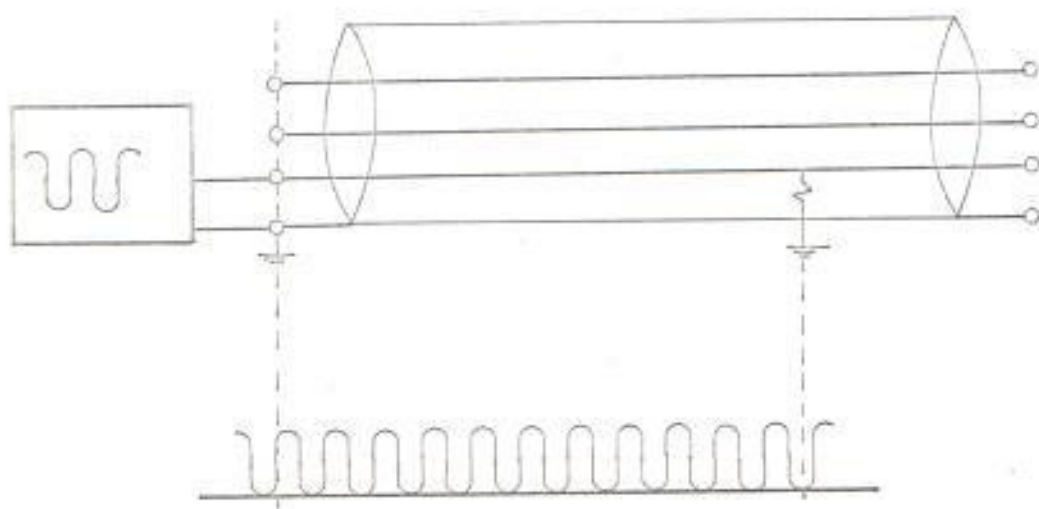


fig. 45

OPINACION: Como se indica en la fig. 45, la señal es transmitida desde un terminal a lo largo del cable hasta alcanzar la falla en ese punto, el corriente sigue por el camino de retorno, resultando un cambio en la señal aplicada en su nivel ó dirección ó en ambos, dependiendo este hecho del tipo de instalación.

El cambio de la señal varía para puede ser detectado por uno ó otro de los dos efectos. Uno siente el campo electromagnético alrededor del eje del cable, el cual es indicado por nivel de sonido sutil ó una deflexión en la medida. El otro sensación de la caída de voltaje es detectado por pruebas en el cruce de retorno de tierra y es indicado por un cambio en la medida. La señal rectificadora de c.c. es también usada para rastrear la ruta exacta de cables enterrados directamente antes de la operación de localización de fallas.

La señal rectificadora puede ser aplicada a un conductor esterizado donde la fuente puede ser conectada entre el conductor y el camino de retorno.

Esto es más efectivo puesto que una porción de la corriente desde la falla es eliminada a través de tierra ó un otro camino esterizado. Esto reduce la colección del campo electromagnético por la señal de retorno como ocurriría con conductores concéntricos con capa metálica, cables con neutro concéntrico, ó aún un simple alambre esterizado si cualquiera de estos llevara una parte de la corriente de retorno.

CONCLUSION: La detección de la señal en cables enterrados directamente algunas veces sufre de la pronuncia de subestructuras metálicas adyacentes tales como, tuberías, conductos metálicos de otros cables, etc., todos los cuales tienen que ser conocidos para scopiar una señal de corriente considerable en paralelo con el conductor falloso, luego pertenecen en más que una dirección y requiriendo más cuidado que el usual en el rastreo de la ruta y la localización de la falla.

Generalmente el resultado obtenido depende de que la resistencia de falla la cual no debe de ser sobre 50 kilo ohmios para detección electromagnética y no sobre 500 kilo ohmios para detección por gradientes de voltaje.

METODOS DIFERENTES: POR CORRIENTE DIRECTA MODULADA

PRINCIPIO: Por medio de una fuente generadora se envía una señal que puede ser continua ó interrumpida periódicamente desde un terminal a lo largo del conductor hasta el punto de falla, en el cual regresa por el camino de retorno, produciendo un cambio en la señal aplicada ó en su dirección ó en ambos.

Este cambio de la señal aplicada puede ser detectado por cualquiera de los detectores.

Aunque no hay nivel de sonido audible, la señal restringadora d-c tiene la ventaja que ella puede revelar la dirección de la señal tan bien como su magnitud.

APLICACION: Analizaremos este método para una falla de líneas a tierra en un cable tripolar.

EQUIPO UTILIZABLE: El equipo requerido para este mè-

CONEXION: La señal de voltaje como se indica en la Fig. , es transmitida desde un terminal a lo largo del cable y restreñida hasta alcanzar el punto de falla. Esta señal rastreadora puede ser aplicada a un conductor terrestrado donde la fuente puede ser conectada entre el conductor y el camino de retorno (tierra). Esto forma el la más efectiva puerta que una parte de la señal de corriente es eliminada a través de tierra u otro camino a terrestre. Esto reduce la cancelación del campo electromagnético por la señal de retorno como ocurriría con conductores concéntricos con revestimiento metálico, cable concéntrico neutro, ó aún - con un simple alambre a tierra cuando - cualquiera de estos lleve una porción de la corriente de retorno.

La señal puede ser rastreada por medio de detectores a lo largo de su ruta hasta localizar el punto de falla.

CONCLUSION: La experiencia indica que corrientes del orden de 5 amperios y voltajes ha-

de 20.000 voltios son requeridos para tener suficiente fuerza en la detección de fallas que tengan resistencias típicas a tierra, a menos que la falla pueda ser primero fulminada. Las fallas que tengan valores de resistencia muy altos para permitir la adecuada corriente de la señal pueden ser también fulminadas o quemadas.

Los transmisores de corriente directa-modulada necesitan de aproximadamente el 125% del producto corriente-voltaje de la disponibile en el terminal del cableo para las entradas de potencia. Los transmisores comercialmente disponibles varían en capacidades desde 500 voltios a 5 amperios hasta de 10/20 Kv. a 25/12.5 amperios.

Se ha reportado por parte de Empresas Eléctricas, que el método de la corriente directa modulada ha sido usado satisfactoriamente en instalaciones subterráneas y subarrancos.

METODO: Diferencia de potencial D.D.C sobre el recubrimiento.

CLASIFICACION: El método de la diferencia de potencial (D.C) sobre el recubrimiento puede ser mejor descrito refiriéndonos a la fig.

En este caso de una falla en un conductor al plomo, una corriente directa proveniente de una batería pasa a través de una corta longitud del recubrimiento (csmico de plomo) y la caida de voltaje resultante, que puede aparecer entre el conductor con falla y el recubrimiento, es medida en uno de los terminales del cable.

Si la resistencia de falla paralela es lo suficiente baja o la resistencia interna del circuito de medida de voltaje usada en el terminal del cable es lo suficientemente alta, un voltaje será medido en el terminal del lado sin falla de la batería.

No se medirá voltaje en el terminal sobre el lado con falla y los contactos de

todo consiste en un transmisor para suministrar la señal y un detector usado para seguir la señal.

El transmisor puede ser cualquier suministrador de potencia de corriente directa que tenga el voltaje de salida deseado e indique como va variando este voltaje a intervalos definidos.

Los detectores usados para restrear la señal poseen dos formas generales: el electromagnético y el gradiente de voltaje, las características de ambos se indican en páginas posteriores.

DIAGRAMA DE CONEXIONES:

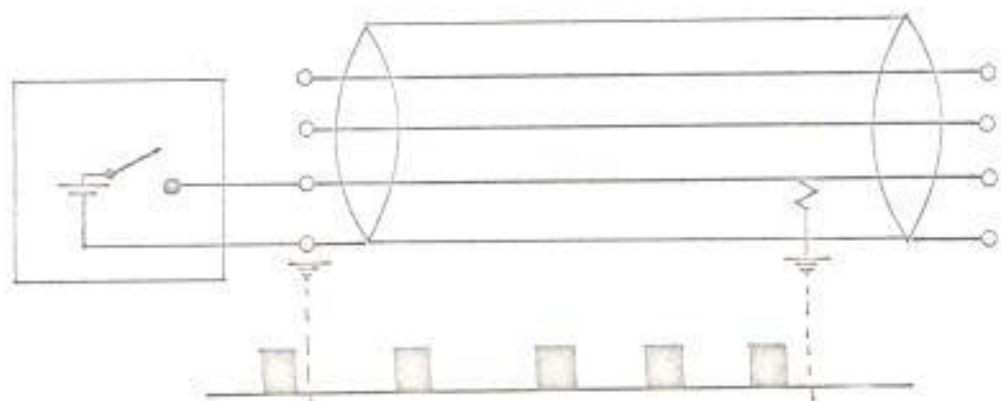


fig. 46

la batería y el recubrimiento puede ser notado hasta que este terminal hasta que un voltaje es indicado, de este modo localizamos la falla.



DIFERENCIA DE POTENCIAL DC
SOBRE EL RECOBRIEMIENTO

fig. 47

Puedo reportarles que este método ha sido satisfactoriamente usado en cables sórcos y cables con recubrimiento metálico enterrados directamente, una batería

de seis voltios y un voltímetro del tipo tubo al vacío han sido empleados para suministrar respectivamente la potencia y el instrumento de medida de voltaje.

Si la instalación del cable es tal que un camino de baja resistencia parallelo al recubrimiento alrededor de la falla, tal como puede ocurrir a través de tierra en instalaciones enteradas directamente, la indicación del voltímetro sobre el lado con falla puede ser negativa más allá de coro, lo cual puede aún indicar mejor el punto de localización de la falla.

En el caso de instalaciones enterradas directamente el método obviamente requiere del uso de agujeros de crucero para aplicar el voltaje de la batería al recubrimiento. Además, haciendo buenos contactos de prueba a la camaña de plomo a través de madure o chancado risledo, o haciendo buen contacto a todos los filamentos de coro, suele presentarse un problema tanto para instalaciones sobre o enterradas directamente. En éstas donde corrientes vagabundas o corrientes galvánicas directas están presentes, el método puede estar limitado en su aplicación para instalaciones enteradas directamente.

PREPAREACION DEL PUNTO DEFECTUOSO

PROCESO DE QUEMADO: Es necesario reducir lo suficiente la resistencia de paso de los puntos defectuosos para poder emplear el instrumento de medición -- por reflexión de impulsos sencillos en aquellos en que dicha resistencia óhmica sea muy elevada.

Para sobreponer este problema, es a menudo posible -- reducir la resistencia de falla a un valor aceptable, con la aplicación de un voltaje suficiente para quemar el aislamiento en sus puntos más débiles sin producir sobrepresiones en el resto del aislamiento. La falla es asumida que ocurre en su punto más débil.

En la Fig. 48 , se indica la forma de conexión de un aparato de quemadura al cable:

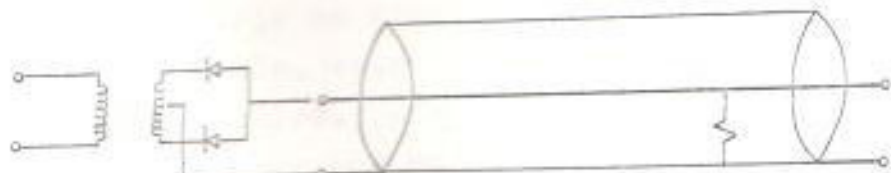


fig. 48

la corriente de quemado, carboniza el revestimiento --- hasta que la resistencia es reducida a valores los cuales son menores que la fuente de impedancia de el cable. Cuando este proceso sucede, es luego posible emplear cualquier método de medida de terminales con un máximo de precisión y sensibilidad. Naturalmente este procedimiento no se necesita en fallas serias.

El proceso es realizado por medio de un quemador de falla el cual es un suministrador ajustable d.c. de alto voltaje-alta corriente que es aplicado en un terminal.

La corriente es normalmente controlada por la aplicación cuidadosa de la corriente de quemado. Un quemador de falla típico entrega 250 mil amperios en 24 Kv d.c. bajando a 2 A en 3 Kv d.c. y 9 A. en un bajo voltaje de 500 V. c.c. Esto requiere 6 Kva.

Si embargo, hay una desventaja de este proceso. -- Desde que el voltaje es aplicado igualmente a todas las partes del cable, este puede producir otras fallas en puntos débiles. Además ha sido demostrado que el proceso de quemado no es siempre sconsejable en aislamiento de polietileno, el cual predomina en la actualidad en las instalaciones de cables.

DETECTOR ELECTROMAGNETICO

El detector electromagnético siente la magnitud del campo magnético que resulta cuando parte de la señal transmitede es retornada a través de tierra y es retornada sobre el recubrimiento cuando ésta está presente. Excepto para señales rastreadoras de corriente alterna, este trubión detecta la dirección de la corriente dominante. Como se indica en la fig. 49, el detector consiste de una bobina recolectora conectada a un receptor, teniendo un indicador y para señales audibles, un altavoz o suriculares.

Para sonidos de tono audibles el receptor responde a una frecuencia seleccionada y el medidor mantiene una deflexión continua en la misma dirección. Para la corriente directa interrumpida y la señal de impulso de capacitancia, el indicador responde a cada pulso, como se indica en el diagrama, hay dos tipos de bobinas recolectoras empleadas, dependiendo del tipo de instalación que está siendo rastreada. Una es una bobina diseñada para ser llevado sobre la superficie de la tierra. Esta bobina de superficie es a menudo usada para rastrear la ruta y señalar el punto de una falla en instalaciones directamente en

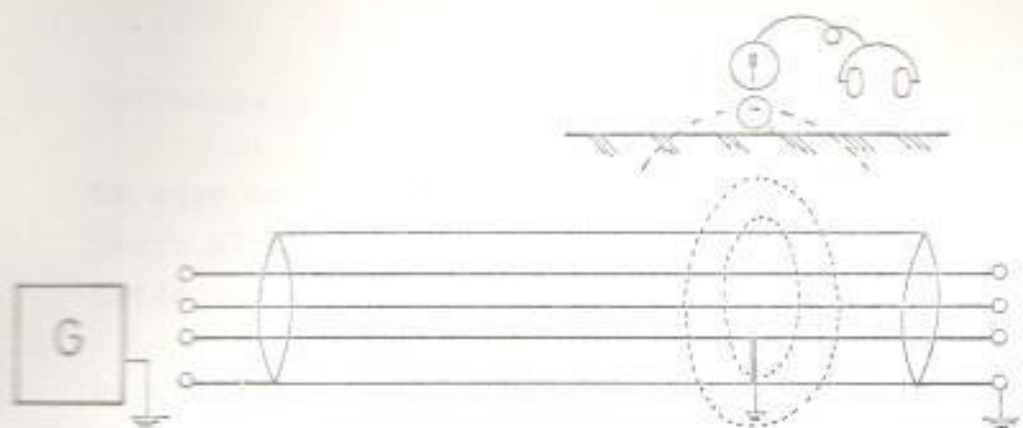


fig. 49

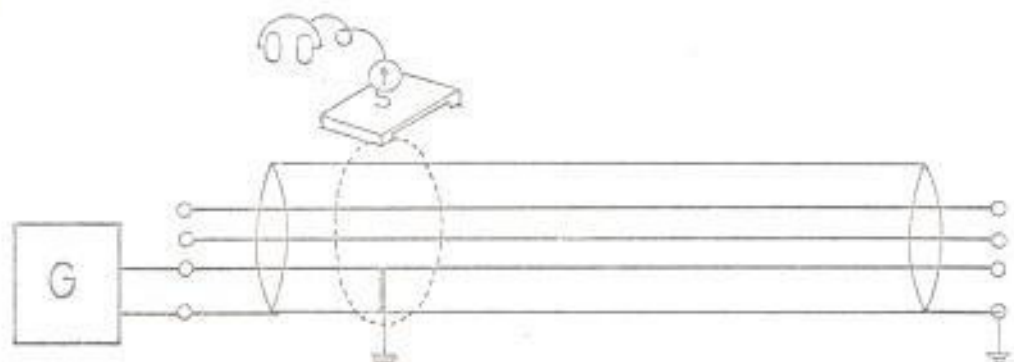


fig. 49-a

terradas.

La otra bobina es diseñada para ser aplicada manualmente alrededor de la circunferencia de la camisa protectora del cable.

Desafortunadamente con conductores con camisa metálica individual, una parte de la corriente de retorno por tierra es coaxial a el conductor siendo impulsada y esto tiene el efecto de cancelación de la señal transmitida. Sin embargo, el detector electromagnético trabaja mejor con conductores sin recubrimiento. Con cables multiconductores con camisa de plomo, la falla es localizada por pérdida del efecto excentrico, o "desequilibrado", y los cambios periódicos en el nivel de la señal debido a la posición de el conductor impulsado con respecto a el eje del cable. - Con cables de multiconductores sin camisa metálica, la falla es localizada por pérdida del nivel de la señal con o sin pérdida del efecto desequilibrado.

Con cables unipolares la falla es localizada por pérdida del nivel de la señal. Con cables tipo camisa de plomo y neutro desnudo concéntrico, el efecto coaxial puede ser sobrepassado por medio de un shunt externo colocado sobre la bobina del tipo alrededor de la el eje, para evitar algunas de las corrientes de la camisa y luego recolectar una señal proporcional

a la corriente del conductor.

La utilidad de el detector depende de su sensibilidad básica. Un instrumento disponible proveerá un control mejorado para ajustar la sensibilidad para dar unas condiciones de rangos anchos de señal. Bajo circunstancias favorables esto es posible para localizar talles centros de una precisión de unos pocos pies.

EL DETECTOR GRADIENTE DE VOLTAJE

El detector gradiente de voltaje siente la magnitud del voltaje de retorno por tierra desde el punto de cable. Excepto para algunos restregadores de corriente síntesis, este también detecta la dirección del voltaje como se indica en la Fig. 50.

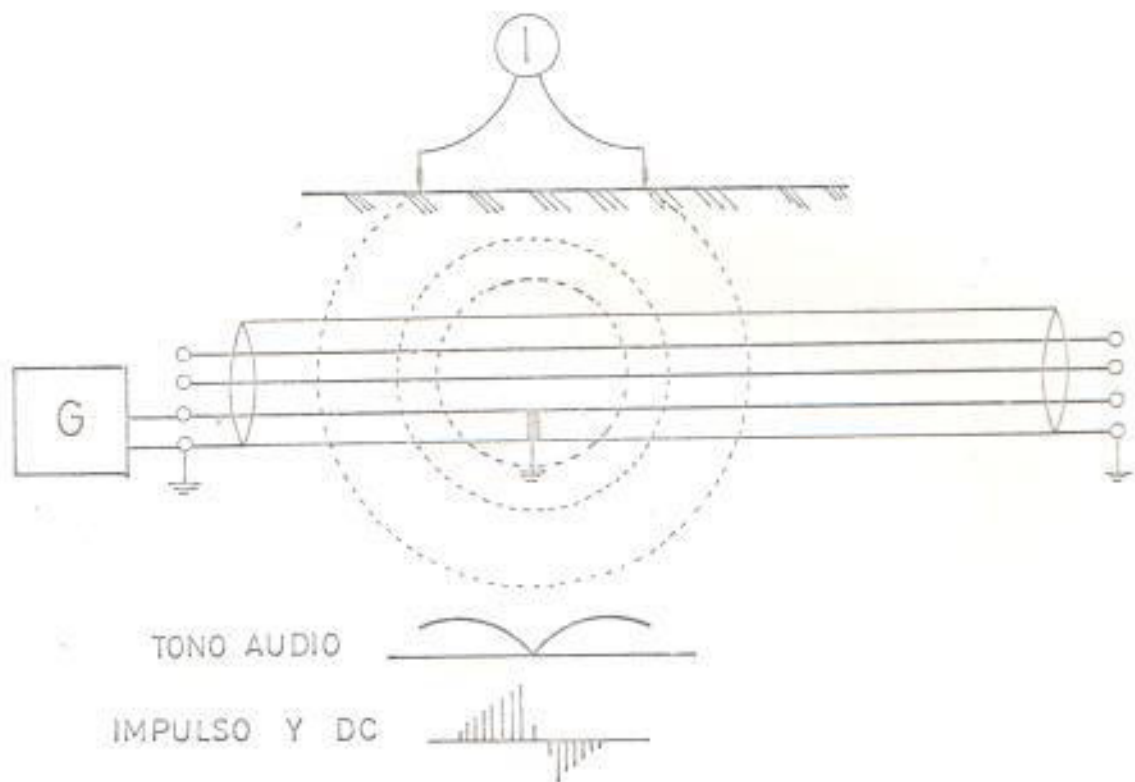


fig. 50

El corriente se une en cables enterrados directamente donde los circuitos equipotenciales son radiales donde la falla en todos las direcciones.

El detector consiste de un par de puntos probadores conectados a cualquiera de los mismos receptores usados para el detector electromagnético dependiendo de el tipo de falla que esté siendo rastreada.

En cualquier caso, la ruta en la superficie del cable es mostrada con pruebas de espacios iguales, pero un incremento de gradiente de voltaje como la falla se percibe desde cualquier lado. Una indicación nula se obtiene cuando los probadores están montados sobre la falla.

Aunque el método es muy real, este es algunas veces menos sensible sobre conductores con recubrimiento - que sin él, por las mismas razones indicadas en el detector electromagnético. Con bobinas del tipo receptor del cable, este detector se también usado sobre cable con envoltura de plomo, el cual está unido en ambos terminales, bajo circunstancias favorables, es posible detectar una falla en cables directamente enterrados tan lejos como 25 pies del equino y localizar la falla dentro de una precisión de más menor 6 pulgadas.

Como indica la Fig. 50, el detector de gradiente de voltaje puede ser simplemente un par de puntos sostenidos con un cable conectado a uno de los detectores mencionados previamente. En la práctica, los puntos de prueba son mantenidos en un espaciamiento igual mientras se está probando la superficie.

ESTADISTICA DE DAÑOS
OCURRIDOS EN LAS
ALIMENTADORAS SUBTERRANEAS
DEL SISTEMA
DE LA
CIUDAD DE GUAYAQUIL

AÑOS : 1971 - 1972 - 1973 - 1974

**RESUMEN ESTADISTICO DE DAÑOS
OCURRIDOS EN EL SISTEMA
SUBTERRANEO**

CARACTERISTICA DEL AÑO	1971	1972	1973	1974
FALLA EN CABLE SUBTERRANEO	57 %	33 %	46.5 %	75 %
FALLA EN EQUIPO SUBTERRANEO	43 %	67 %	33.3 %	25 %
INUNDACION POR AGUA	—	—	11.1 %	—
FALLA DESCONOCIDA	—	—	11.1 %	—

FECHA	ALIMENTADORA	CARACTERÍSTICA DEL DAÑO	
		ESTADO	TIPO DE DAÑO
1-30-JUNIO	ESTUFA	SEGURO	DAÑO EN ESTUFA
10-JULIO	REFRIGERADOR	SEGURO	DAÑO EN REFRIGERADOR
22-JULIO	REFRIGERADOR	SEGURO	DAÑO EN REFRIGERADOR
15-AUGUSTO	REFRIGERADOR	SEGURO	DAÑO EN REFRIGERADOR
08-AGOSTO	REFRIGERADOR	SEGURO	DAÑO EN REFRIGERADOR
27-AGOSTO	REFRIGERADOR	SEGURO	DAÑO EN REFRIGERADOR
12-SEPTIEMBRE	REFRIGERADOR	SEGURO	DAÑO EN REFRIGERADOR
27-SEPTIEMBRE	REFRIGERADOR	SEGURO	DAÑO EN REFRIGERADOR
03-OCTUBRE	REFRIGERADOR	SEGURO	DAÑO EN REFRIGERADOR
09-OCTUBRE	REFRIGERADOR	SEGURO	DAÑO EN REFRIGERADOR
13-OCTUBRE	REFRIGERADOR	SEGURO	DAÑO EN REFRIGERADOR
19-OCTUBRE	REFRIGERADOR	SEGURO	DAÑO EN REFRIGERADOR
13-NOVIEMBRE	REFRIGERADOR	SEGURO	DAÑO EN REFRIGERADOR
			ESTADO
			TIPO DE DAÑO

FECHA	ALIMENTADORA	CARACTÉRISTICA DEL DÑO
Número gestante	Servicio	
16 Mayo	• CORTADO	Destrucción de la conducta de lactancia. Síntesis y excreción de cortisol sobre el tejido mamario.
17 Mayo	• CORTADO	Cortocircuito entre la conducta de lactancia y la conducta de secreción de cortisol que lleva a una alteración de la conducta de lactancia.
18 Mayo	• CORTADO	Alivio de la conducta de lactancia.
19 Mayo	• CORTADO	Resolución de la conducta de lactancia.

CARACTERÍSTICAS DEL BANDO

ALIMENTADORA

FECHA	ALIMENTADORA	CARACTERÍSTICAS DEL BANDO
2 Mayo	200000	Exploración: Cabeza blanca en blanco ojeras negras
2 Mayo	9-10: 320000	Exploración: Piel blanca liso á
7 Mayo	9-10: 300000	Exploración: Corchetes blancos
28 Mayo	100000	Corchetes blancos con las pestañas
29 Mayo	300000	Esponjado
29 Mayo	300000	Exploración: ojos completamente abiertos
6 Mayo	1000000	Muy alta actividad por noche
6 Mayo	1000000	Movilidad limitada por noche
6 Mayo	9-12: 300000	Piel en combinación de negro
29 Mayo	3-4: 1000000	Color A.T. Manzana
10 Junio	1000000	Grande y espesas en A.T. Dientes
20 Junio	300000	Piel en color sobremanejo
21 Junio	2000000	Piel en color grisáceo A.T.
24 Agosto	9-10: 300000	Movimiento en negro de noche
27 Sept.	300000	Ojos amarillentos A.A. dientes
30 Oct.	300000	Movimiento

20 DICIEMBRE
1968

Un solo sujeto de 50 kg. A.P. distendido
y con una orina excesiva

CARACTERÍSTICA DEL DAÑO

ALIMENTADORA

FECHA	ALIMENTADORA	CARACTERÍSTICA DEL DAÑO
16 Junio	Generalizado	Arrancó volante del coche automotriz.
21 Mayo	J. generaliz.	Coche arrancado en el extrado.
7 Mayo	J. generaliz.	Coche A. C. en el exterior.
30 Junio	Generalizado	Arrancón extrado en la noche.

EJEMPLOS PRACTICOS

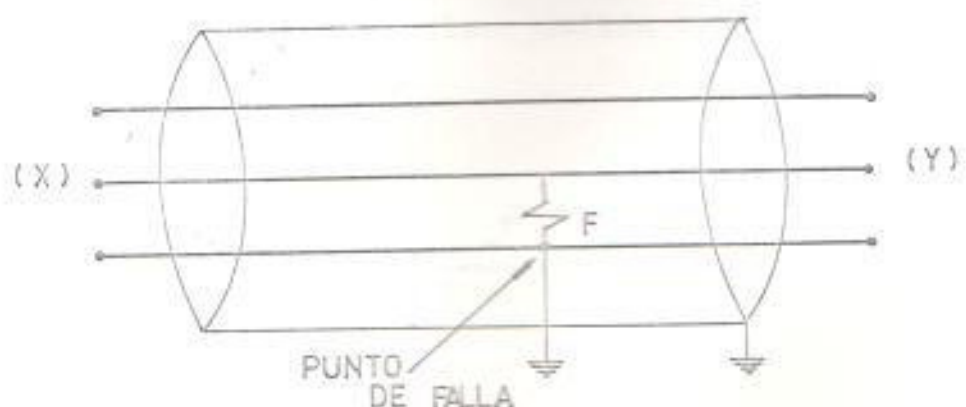
CASO I:

Falla en un conductor tripolar con catrino de plomo de 50 mm^2 de sección y 200 metros de longitud entre los hilos.

PROBLEMA:

i) Identificación del tipo de falla:

Utilizando un logger, realizamos las pruebas entre los conductores y entre estos y tierra para determinar el tipo de falla, pero nuestro caso este fue de una falla entre conductores y a tierra.



2) Operación para localización del punto de fallo:

Por medio de un puente de medida de resistencias, se mide primordialmente la resistencia de los dos segmentos de líneas convencionales entre el origen (...) y el punto de fallo (Y), con esta medición se mide también la resistencia de piso en el lugar de la falla, con lo que:

$$R_x = \frac{2 L_x \rho}{S} + R_f$$

para el caso citado

$$R_x = 2.7 \Omega$$

Después se efectúa la misma medida desde el extremo (Y) y obtenemos:

$$R_y = \frac{2 L_y \rho}{S} + R_f$$

entre el eje central

$$R_Y = 2.2 \Omega$$

entre otras las ecuaciones para eliminar la R_f en la
de decomposición. Despejando $L=L_X+L_Y$ la longitud de
uno de los hilos de las líneas, se obtiene:

$$L_X = \frac{S}{4\varphi} (R_X - R_Y) + \frac{L}{2} \quad \text{metros}$$

$$L_Y = \frac{S}{4\varphi} (R_Y - R_X) + \frac{L}{2} \quad \text{metros}$$

DIMEN:

$S =$ Sección líneas

$\varphi =$ Coeficiente conductividad, 0.0175 cobre

LARGO

$$L_X = \frac{50}{4 \cdot 0,0175} (2,7 - 2,2) + 100 = 135,7 \text{ m.}$$

$$L_Y = \frac{50}{4 \cdot 0,0175} (2,2 - 2,7) + 100 = 64,3 \text{ m.}$$

Capítulo III:

MÉTODOS DE ALIMENTACIÓN: CAÍDA DE TENSIÓN

RESUMEN: Conductor unipolar, de 35 mm^2 de sección
una longitud de 1000 metros, fijo a tierra.

ALIMENTACIÓN: Aplicando el método de la caída de tensión y siguiendo el diagrama de la Fig. 27 tenemos los siguientes datos:

resistencia conocida = 0,5 ohmios
fuente de tensión de 2.5 voltios
Colocando el comutador en sus dos posiciones y leyendo la caída indicada en el voltímetro, tenemos:

$$a) V_1 = 2.5 \text{ VOLTIOS}$$

$$b) V_2 = 16.5 \text{ VOLTIOS}$$

c) Conectando luego el voltímetro en el otro extremo de la línea, tenemos:

$$V_3 = 15 \text{ VOLTIOS}$$

Introduciendo la resistencia desde el origen hasta el lugar defectuoso se puede calcular:

$$R_X = \frac{V_2 - V_3}{V_1} R \Omega$$

complejando valores tenemos:

$$R_x = \frac{16,5 - 15}{2,5} 0,5 = 0,3 \Omega$$

Se estimaría el punto de falla en, según la fórmula:

$$R_x = \frac{L_x \rho}{S}$$

$$L_x = \frac{R \times S}{\rho} = \frac{0,3 \times 3,5}{0,0175} = 600 \text{ metros}$$

NOTA: Este método es aplicable solamente cuando la resistencia de falla no es muy grande y no varíe durante la medida.

NOTA FINAL

Es evidente que hoy en día no existe un método que pueda localizar con facilidad todos los tipos de fallas en todos los circuitos de instalaciones. Es por eso que cualquier sistema en particular la selección es fundamentalmente determinada por el sistema económico y el tipo de instalación que predominante. Un método el cual puede ser económicamente justificado y efectivamente disponible en un sistema que tiene muchos miles de cables en ductos, no puede estar disponible para un sistema de una pequeña cantidad de equipos subterráneos y cables enterrados directamente.

La selección del método puede ser solamente determinada por la evaluación del local o del problema específico.

Los siguientes factores deben ser considerados en la determinación del método a usarse para una aplicación específica.

- 1) Algunos métodos necesitan más destreza que otros y deben ser considerados en función del personal disponible.
- 2) Algunos métodos involucran el uso de equipos más caros con requerimiento de entrada de poder más grande que otros.

- 3) Los errores que cometen en la detección de la falla de los recubrimientos son generalmente, causados por problemas e instalaciones subterráneas en ductos.
- 4) En el curso de construcción de líneas de ductos subterráneos varios los métodos de seguimiento de señal son imposibles por los registros llenos de agua y las condiciones de las calles, tales como el tráfico, hielo, nieve, lodo, etc.
- 5) En la construcción de líneas de ductos es suficiente que la falla sea localizada entre manholes.
- 6) Los circuitos cuyos cables tengan numerosas ramificaciones o derivaciones, generalmente presentan problemas de localización de falla más complicado y generalmente indican el uso de los métodos seguidor o retrocedores.

Para rutas de cables en las que no sea rentable el empleo de un equipo sofisticado (vehículo) completo, un puente de medida portátil puede constituir el equipo básico para la localización de averías en cables.

La posibilidad del puente se puede aumentar a un ní

vel que permite localizar las fallas cuya resistencia varía inferior a unos 50 kilohmios. El puente de medición de cables está equipado tanto para las mediciones de resistencias, según Thomson (a partir de 0.4) y Wheatstone, así como para medir el nivel de aislamiento con tensión de batería (hasta aproximadamente). Se pueden medir todos los resistencias ohmicas que interesen para la localización de averías (resistencia del conductor, aislamiento y punto defectuoso). Además el puente de medición de cables se puede utilizar para medir capacidades con un condensador petrón interno o externo, así como para las mediciones de reactores capacitivos.

En el cuadro siguiente se presentará un resumen aplicativo del tipo de fallas más comunes que se presentan y el método más recomendable para localizarlas.

En el apéndice podemos encontrar bibliografía referente a catálogos de fabricantes de instrumentos y equipos para localizar fallas, y algunos ejemplos prácticos realizados por compañías eléctricas.

El presente trabajo ha tenido como finalidad la de presentar a los ingenieros de distribución, un guía

para la localización de talles en crecimiento y
que en el futuro se encarguen técni-
camente que favorezcan a los ingenieros y científicos en
la resolución más eficaz y rápida de este problema.

ON

2

ON 3

APENDICE

SECCION 1

SECCION 2

SECCION 3



MEG-CHEK® MEGOHM METERS

MEASURE INSULATION RESISTANCE
of electrical equipment in operation or off-line

Modern MEG-CHEK®
for electrical maintenance

featuring

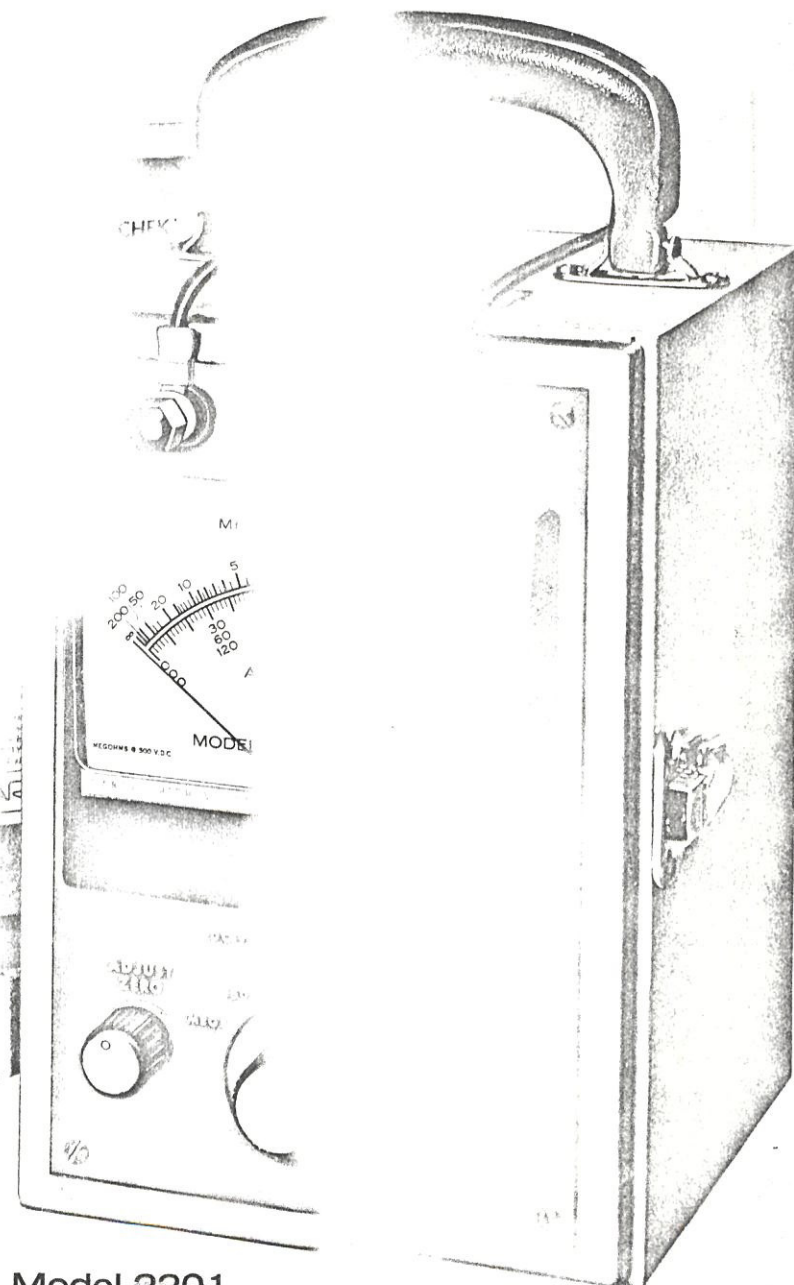
- self-powered
- one-hand operation

for long service

in circuits

and

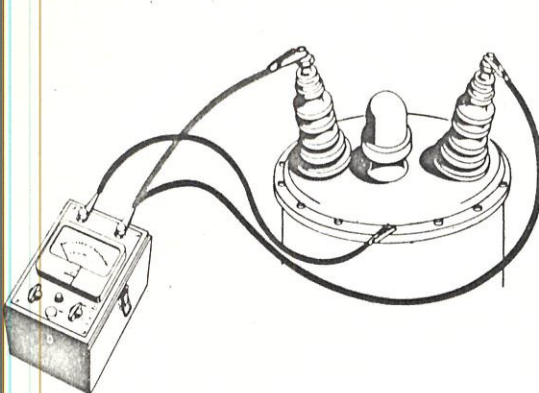
models



Model 2201

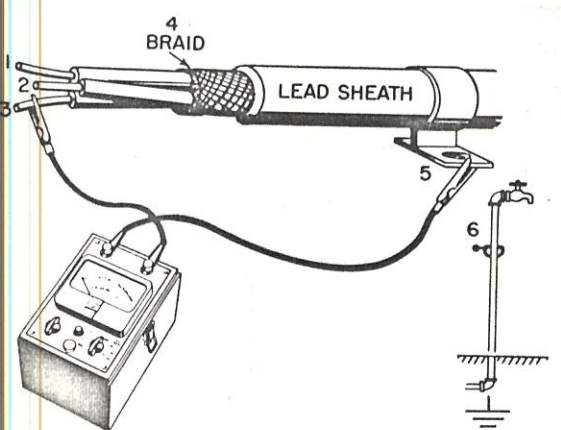
MEG-CHEK® APPLICATIONS

Simple, fingertip, accurate insulation resistance measurements



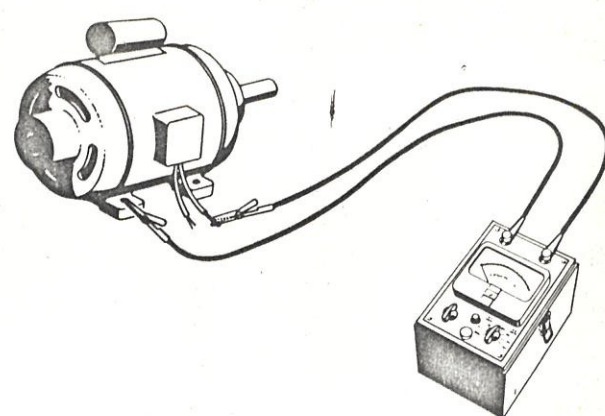
Circuit breakers

After disconnecting circuit breaker from line, check each terminal to ground, placing positive lead at terminals in turn. Next, open breaker and test insulation resistance between terminals: one lead on each terminal. If your breakers are oil type, dirty oil may be causing leakage current through the breaker even when it is open. In dry breakers, dirt or grease in mounting may be causing leakage.



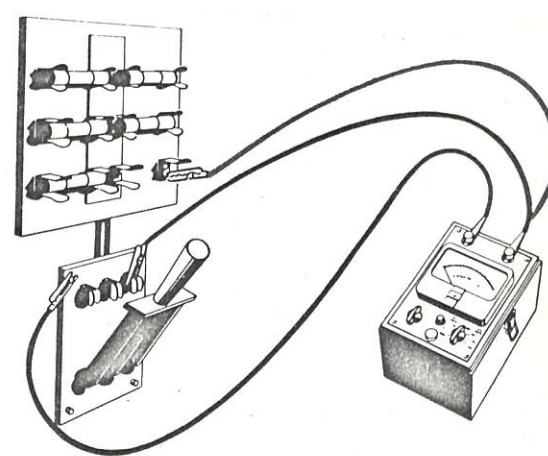
Multi-conductor cables

These may be tested in any of the ways shown. The drawing depicts the measurement of insulation resistance between wire (3) and lead sheath (5). Other measurements can be made such as wire to ground (1, 2 and/or 3 to 6), wire to wire (1, 2 or 3 to any combination of each other), wire to braid (1, 2 or 3 to 4), wire to sheath (1, 2 and/or 3 to 5).



A.C. motors

First disconnect motor from line, either by use of the switch or by disconnecting the wiring at the motor terminals. If the switch is used, remember that the insulation resistance of the connecting wire, switch panel and contacts will also be read at the same time. Best test is to connect the positive lead to the motor line, and the negative lead to the frame of the motor.



Switches

Where you have a distribution panel, you can check the whole system to ground by attaching one lead to the dead post of the open main power switch; and the other lead to grounded conduit. Individual circuits are tested to ground by opening distribution panel switches or fuses and testing each circuit in turn (shaded lead).

Predict motor failure with periodic insulation resistance tests

Two motors of the same make, horse power and age may have substantially different insulation values, yet both be in safe operating condition. Of very great importance in preventive maintenance is the change in resistance, particularly an accelerated decrease in insulation resistance. A simple system of record keeping for each piece of equipment will graphically indicate important changes in insulation resistance and allow a prediction of potential equipment failure.

Our record cards, as illustrated at the right, are a convenient way to keep insulation records. Record #1 shows normal aging insulation. Readings plotted show a gradual expected decrease in insulation resistance.

In contrast, Record #2 shows a sharp drop in insulation resistance—a warning that insulation is about to fail. Inspection showed a need for new stator windings which were installed during scheduled down time before the unit shorted out under load.

INSULATION RESISTANCE RECORD									
DEVICE No. 2 Pump Motor		SERIAL NO. 491349		RATING 1/2 HP		LOCATION Main Power Panel		DATE INSTALLED 5/2/66	
MEDIUM	WATER	1966	1967	1968	1969				
MEASUREMENT	1 MEDIUM	1000	1000	1000	1000				
MEASUREMENT	2 MEDIUM	1000	1000	1000	1000				
MEASUREMENT	3 MEDIUM	1000	1000	1000	1000				
MEASUREMENT	4 MEDIUM	1000	1000	1000	1000				
MEASUREMENT	5 MEDIUM	1000	1000	1000	1000				
MEASUREMENT	6 MEDIUM	1000	1000	1000	1000				
MEASUREMENT	7 MEDIUM	1000	1000	1000	1000				
MEASUREMENT	8 MEDIUM	1000	1000	1000	1000				
MEASUREMENT	9 MEDIUM	1000	1000	1000	1000				
MEASUREMENT	10 MEDIUM	1000	1000	1000	1000				
MEASUREMENT	11 MEDIUM	1000	1000	1000	1000				
MEASUREMENT	12 MEDIUM	1000	1000	1000	1000				
MEASUREMENT	13 MEDIUM	1000	1000	1000	1000				
MEASUREMENT	14 MEDIUM	1000	1000	1000	1000				
MEASUREMENT	15 MEDIUM	1000	1000	1000	1000				
MEASUREMENT	16 MEDIUM	1000	1000	1000	1000				
MEASUREMENT	17 MEDIUM	1000	1000	1000	1000				
MEASUREMENT	18 MEDIUM	1000	1000	1000	1000				
MEASUREMENT	19 MEDIUM	1000	1000	1000	1000				
MEASUREMENT	20 MEDIUM	1000	1000	1000	1000				
MEASUREMENT	21 MEDIUM	1000	1000	1000	1000				
MEASUREMENT	22 MEDIUM	1000	1000	1000	1000				
MEASUREMENT	23 MEDIUM	1000	1000	1000	1000				
MEASUREMENT	24 MEDIUM	1000	1000	1000	1000				
MEASUREMENT	25 MEDIUM	1000	1000	1000	1000				
MEASUREMENT	26 MEDIUM	1000	1000	1000	1000				
MEASUREMENT	27 MEDIUM	1000	1000	1000	1000				
MEASUREMENT	28 MEDIUM	1000	1000	1000	1000				
MEASUREMENT	29 MEDIUM	1000	1000	1000	1000				
MEASUREMENT	30 MEDIUM	1000	1000	1000	1000				
MEASUREMENT	31 MEDIUM	1000	1000	1000	1000				
MEASUREMENT	32 MEDIUM	1000	1000	1000	1000				
MEASUREMENT	33 MEDIUM	1000	1000	1000	1000				
MEASUREMENT	34 MEDIUM	1000	1000	1000	1000				
MEASUREMENT	35 MEDIUM	1000	1000	1000	1000				
MEASUREMENT	36 MEDIUM	1000	1000	1000	1000				
MEASUREMENT	37 MEDIUM	1000	1000	1000	1000				
MEASUREMENT	38 MEDIUM	1000	1000	1000	1000				
MEASUREMENT	39 MEDIUM	1000	1000	1000	1000				
MEASUREMENT	40 MEDIUM	1000	1000	1000	1000				
MEASUREMENT	41 MEDIUM	1000	1000	1000	1000				
MEASUREMENT	42 MEDIUM	1000	1000	1000	1000				
MEASUREMENT	43 MEDIUM	1000	1000	1000	1000				
MEASUREMENT	44 MEDIUM	1000	1000	1000	1000				
MEASUREMENT	45 MEDIUM	1000	1000	1000	1000				
MEASUREMENT	46 MEDIUM	1000	1000	1000	1000				
MEASUREMENT	47 MEDIUM	1000	1000	1000	1000				
MEASUREMENT	48 MEDIUM	1000	1000	1000	1000				
MEASUREMENT	49 MEDIUM	1000	1000	1000	1000				
MEASUREMENT	50 MEDIUM	1000	1000	1000	1000				
MEASUREMENT	51 MEDIUM	1000	1000	1000	1000				
MEASUREMENT	52 MEDIUM	1000	1000	1000	1000				
MEASUREMENT	53 MEDIUM	1000	1000	1000	1000				
MEASUREMENT	54 MEDIUM	1000	1000	1000	1000				
MEASUREMENT	55 MEDIUM	1000	1000	1000	1000				
MEASUREMENT	56 MEDIUM	1000	1000	1000	1000				
MEASUREMENT	57 MEDIUM	1000	1000	1000	1000				
MEASUREMENT	58 MEDIUM	1000	1000	1000	1000				
MEASUREMENT	59 MEDIUM	1000	1000	1000	1000				
MEASUREMENT	60 MEDIUM	1000	1000	1000	1000				
MEASUREMENT	61 MEDIUM	1000	1000	1000	1000				
MEASUREMENT	62 MEDIUM	1000	1000	1000	1000				
MEASUREMENT	63 MEDIUM	1000	1000	1000	1000				
MEASUREMENT	64 MEDIUM	1000	1000	1000	1000				
MEASUREMENT	65 MEDIUM	1000	1000	1000	1000				
MEASUREMENT	66 MEDIUM	1000	1000	1000	1000				
MEASUREMENT	67 MEDIUM	1000	1000	1000	1000				
MEASUREMENT	68 MEDIUM	1000	1000	1000	1000				
MEASUREMENT	69 MEDIUM	1000	1000	1000	1000				
MEASUREMENT	70 MEDIUM	1000	1000	1000	1000				
MEASUREMENT	71 MEDIUM	1000	1000	1000	1000				
MEASUREMENT	72 MEDIUM	1000	1000	1000	1000				
MEASUREMENT	73 MEDIUM	1000	1000	1000	1000				
MEASUREMENT	74 MEDIUM	1000	1000	1000	1000				
MEASUREMENT	75 MEDIUM	1000	1000	1000	1000				
MEASUREMENT	76 MEDIUM	1000	1000	1000	1000				
MEASUREMENT	77 MEDIUM	1000	1000	1000	1000				
MEASUREMENT	78 MEDIUM	1000	1000	1000	1000				
MEASUREMENT	79 MEDIUM	1000	1000	1000	1000				
MEASUREMENT	80 MEDIUM	1000	1000	1000	1000				
MEASUREMENT	81 MEDIUM	1000	1000	1000	1000				
MEASUREMENT	82 MEDIUM	1000	1000	1000	1000				
MEASUREMENT	83 MEDIUM	1000	1000	1000	1000				
MEASUREMENT	84 MEDIUM	1000	1000	1000	1000				
MEASUREMENT	85 MEDIUM	1000	1000	1000	1000				
MEASUREMENT	86 MEDIUM	1000	1000	1000	1000				
MEASUREMENT	87 MEDIUM	1000	1000	1000	1000				
MEASUREMENT	88 MEDIUM	1000	1000	1000	1000				
MEASUREMENT	89 MEDIUM	1000	1000	1000	1000				
MEASUREMENT	90 MEDIUM	1000	1000	1000	1000				
MEASUREMENT	91 MEDIUM	1000	1000	1000	1000				
MEASUREMENT	92 MEDIUM	1000	1000	1000	1000				
MEASUREMENT	93 MEDIUM	1000	1000	1000	1000				
MEASUREMENT	94 MEDIUM	1000	1000	1000	1000				
MEASUREMENT	95 MEDIUM	1000	1000	1000	1000				
MEASUREMENT	96 MEDIUM	1000	1000	1000	1000				
MEASUREMENT	97 MEDIUM	1000	1000	1000	1000				
MEASUREMENT	98 MEDIUM	1000	1000	1000	1000				
MEASUREMENT	99 MEDIUM	1000	1000	1000	1000				
MEASUREMENT	100 MEDIUM	1000	1000	1000	1000				
MEASUREMENT	101 MEDIUM	1000	1000	1000	1000				
MEASUREMENT	102 MEDIUM	1000	1000	1000	1000				
MEASUREMENT	103 MEDIUM	1000	1000	1000	1000				
MEASUREMENT	104 MEDIUM	1000	1000	1000	1000				
MEASUREMENT	105 MEDIUM	1000	1000	1000	1000				
MEASUREMENT	106 MEDIUM	1000	1000	1000	1000				
MEASUREMENT	107 MEDIUM	1000	1000	1000	1000				
MEASUREMENT	108 MEDIUM	1000	1000	1000	1000				
MEASUREMENT	109 MEDIUM	1000	1000	1000	1000				
MEASUREMENT	110 MEDIUM	1000	1000	1000	1000				
MEASUREMENT	111 MEDIUM	1000	1000	1000	1000				
MEASUREMENT	112 MEDIUM	1000	1000	1000	1000				
MEASUREMENT	113 MEDIUM	1000	1000	1000	1000				
MEASUREMENT	114 MEDIUM	1000	1000	1000	1000				
MEASUREMENT	115 MEDIUM	1000	1000	1000	1000				
MEASUREMENT	116 MEDIUM	1000	1000	1000	1000				
MEASUREMENT	117 MEDIUM	1000	1000	1000	1000				
MEASUREMENT	118 MEDIUM	1000	1000	1000	1000				
MEASUREMENT	119 MEDIUM	1000	1000	1000	1000				
MEASUREMENT	120 MEDIUM	1000	1000	1000	1000				
MEASUREMENT	121 MEDIUM	1000	1000	1000	1000				
MEASUREMENT	122 MEDIUM	1000	1000	1000	1000				
MEASUREMENT	123 MEDIUM	1000	1000	1000	1000				
MEASUREMENT	124 MEDIUM	1000	1000	1000	1000				
MEASUREMENT	125 MEDIUM	1000	1000	1000	1000				
MEASUREMENT	126 MEDIUM	1000	1000	1000	1000				
MEASUREMENT	127 MEDIUM	1000	1000	10					



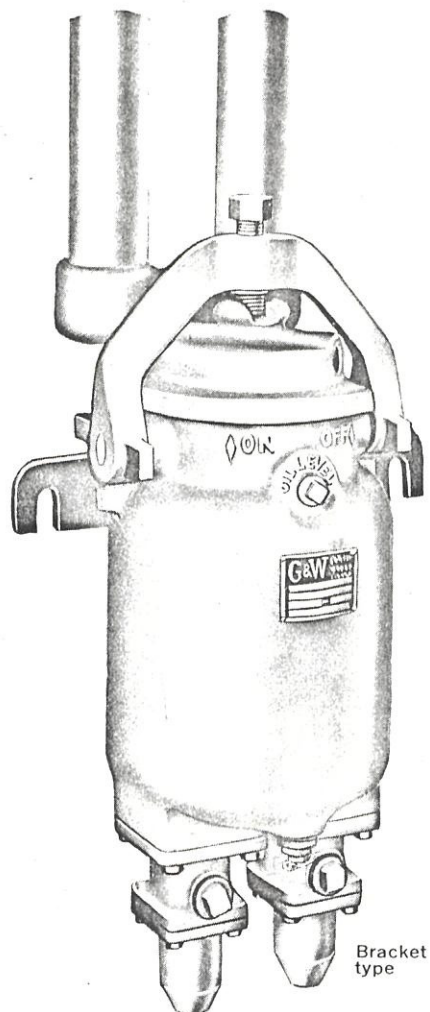
OIL FUSE CUTOUTS

SG2-10

Page 1
April 1969

G & W type FC oil fuse cutouts provide short circuit protection and load-break operation on distribution systems. The cutouts are designed for indoor, outdoor, submersible, or hazardous area applications. The same cutout can be used in buildings without requiring additional fireproof enclosures, pole mounted, in unit substations or load centers, or in underground vaults. The use of interchangeable draw on stud bushings and cable heads with wiping sleeve or stuffing box entrances enables the cutouts to accommodate any type of single conductor cable.

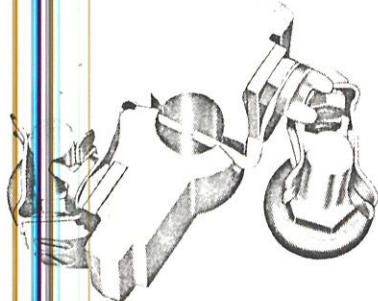
Two basic variations are available: BRACKET for wall or channel mounting; FLANGE for equipment mounting.



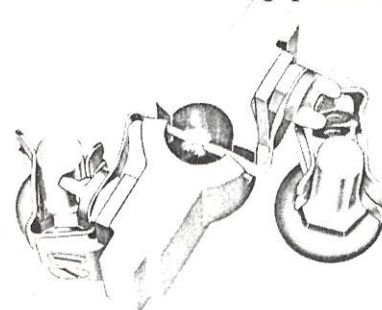
Excessive current melts the fuse link and arcing occurs. Arcing produces gas pressure and a magnetic

field which forces the link out of the explosion chamber. These forces extend the arc gap and re-

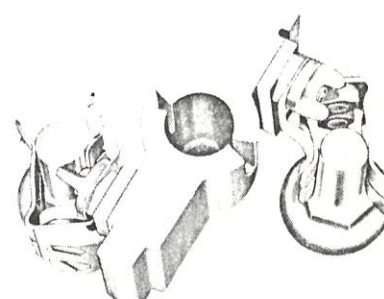
duce gap conductivity which quickly extinguishes the arc. This action takes place below oil level.



1. Switch is shown in the closed position with the fuse link in place.

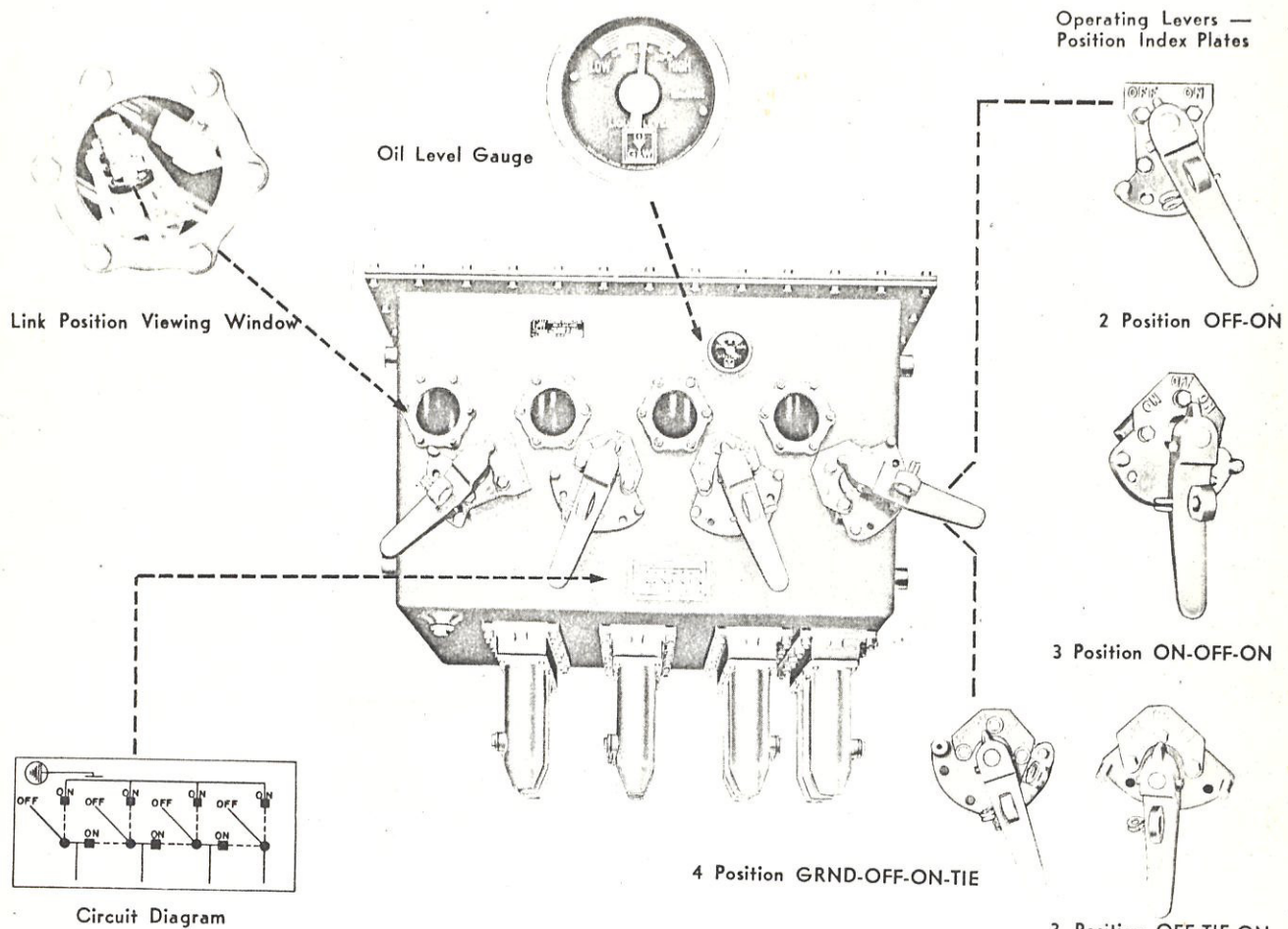


2. Excessive current begins to melt the fuse. The arc is confined within the explosion chamber.



3. The fuse has blown. Fuse ends have been forced out of the explosion chamber.

Component Parts - Standard Equipment



in the index plate positioning holes. Eye pins for padlocking are located on the side of the operating handle. One is permanently attached and the other is removable and attached with a chain. When the eye pin is removed, the spring loaded pin can be released, and the handle can be operated.

The position index plates are furnished with bosses on the extremities for stopping the handle. Switches having a ground or test-ground position have a movable ground stop which may be padlocked to prevent accidental grounding. The position index plate is normally a part of the rotary oil seal housing and has raised letter designating the link position. Shaft extensions may be furnished (extra) with the operating handle and position plate located at a remote position.

OIL LEVEL GAUGE

A magnetic oil level liquid gauge is furnished on all switch tanks. A stainless steel non-magnetic plate is welded into the wall of the switch tank eliminating any gasket. A gauge magnetically coupled to the float on the inside is attached.

LINK POSITION VIEWING WINDOWS

Viewing windows 3-1/2" diameter permits visual inspection of the position of switching links. Windows help satisfy safety regulations which require visual disconnect. One window is provided for each OFF position. Additional windows furnished as an extra.

CIRCUIT DIAGRAMS

A one-line circuit diagram showing the circuit connections is attached to the switch tank near the operating handles.

CAP SCREWS

Corrosion resistant, high strength, silicon-bronze cap screws are used to maintain tight joints.

PIPE PLUGS

Straight thread pipe plugs with tapered gaskets are used for sealing filling holes, the bosses drilled and countersunk to form a tapered section for the gasket for positive sealing.

DRAIN VALVES

One half inch drain valves are used for draining oil when necessary.



CABLE BOXES

3 POLE—5000 VOLTS—500 AMPERE

SG3-10

Page 1

November 1968

When used in cable systems, type WH link boxes provide an economical means for isolating or sectionalizing with a minimum service outage. The WH boxes are multi-way with a common bus. Each way is connected to this bus through a set of disconnect links. The interior of the box is lined with bakelite, and there are bakelite barriers between phases to provide an extra measure of safety when the links are being removed or replaced. The links are designed for removal or replacement only when the circuits within the box are de-energized. An insulated switch stick for link removal is stored under the lid of each box.

G&W cable boxes are welded construction. They are fabricated from $\frac{1}{4}$ " steel which is shot blasted and finished with G&W Tricote Paint System. The steel plate covers are sealed with gaskets and bolts. All type WH cable boxes can be fitted with wiping sleeve or stuffing box entrance fittings, as required. Internal connectors are solder type.

ELECTRICAL CHARACTERISTICS

Nominal Voltage	5 KV
BIL	40 KV
DC 15 min. withstand	25 KV
Continuous current	500 Amp RMS
Momentary	20,000 Amp RMS Asym.

CABLEHEADS

3-1/C or 3/C Shape C furnished as standard. 3/C elbow types K and A priced extra. See Section SG3-10, page 2 for alternates.

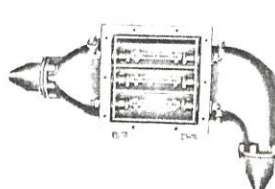
COMPOUND REQUIRED PER CABLEHEAD

3-1/C	3/C, Shape "C"	3/C, Shape "K"	3/C, Shape "A"
1/4 gal.	3/4 gal.	1-1/2 gal.	1 gal.

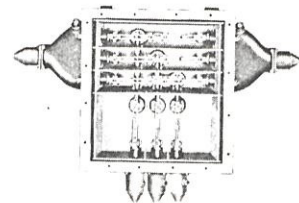
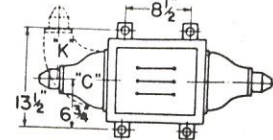
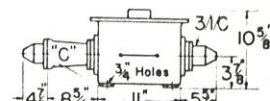
For 3/C cableheads: Wiping sleeve (WS) or Stuffing Box (RS or DP) furnished as standard. Other combinations of entrances priced extra. 3-1/C cableheads are furnished only with RS or WS entrances.

Dimensions approx. Do not use for construction.

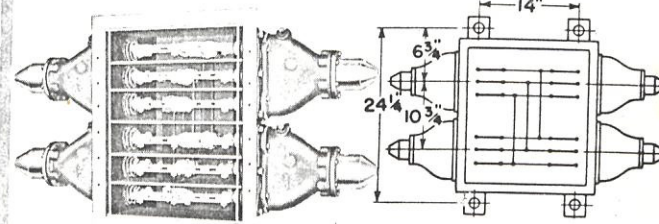
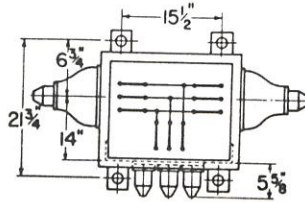
TYPE WH with disconnecting links



2 WAY

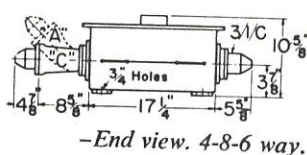


3 WAY three sets of links

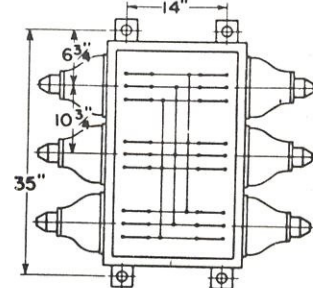


-Four way.

4 & 6 WAY



-End view. 4-8-6 way.



-Six way.

CATALOG LISTING

Ways	Sets Links	CATALOG NUMBER	Min.Size* Manhole	Approx. Shipping Wt. Lb.
500 Amperes				
2	1	WH2345	22" ID	180
3	3	WH3345L	22" ID	360
4	4	WH4345	22" ID	400
6	6	WH6345	22" ID	600

*With cableheads removed

Commercial Subsurface Transformer (CST)

Three-phase

150 to 2500 Kva • 55 C Rise • 95- and 125-kv BIL • 60 Hertz • 25 Kv and Below

Dec. 28, 1970

DESCRIPTION

The General Electric three-phase commercial subsurface transformer (CST) is designed for use on radial- or loop-feed primary systems in new commercial developments, schools and institutions where appearance is of upmost importance, and for underground conversion in older urban areas troubled with dense, congested overhead systems. It is well-suited for installation in areas where there is risk of damage, or where surface space is expensive and limited. Moreover, its compactness permits close-to-load placement.

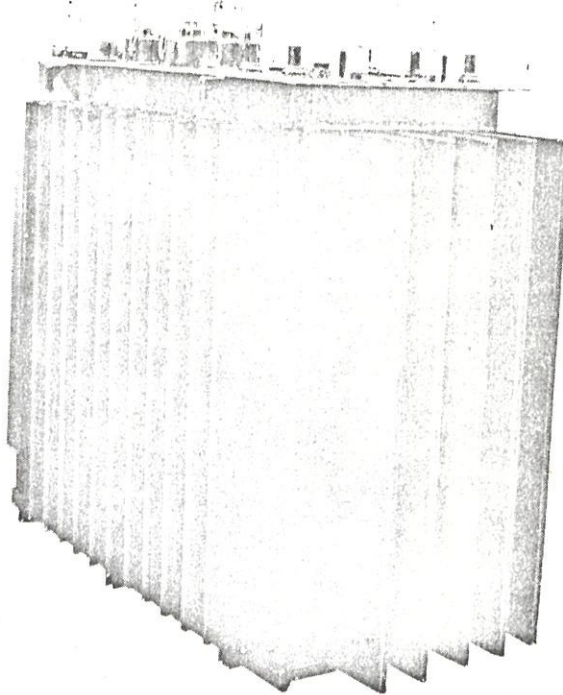
The CST is available in standard ratings from 150 to 500 kva (for 750 to 2500 kva, refer to factory) with standard voltage ratings up to and including 16.3 kv delta, 95-kv BIL or grounded wye 24.9 kv, 125-kv BIL. (See voltage-rating table below.)

All commercial subsurface transformer operating controls are mounted on the transformer cover, permitting the operator to accomplish switching, operate disconnectable terminations, and replace externally removable fuses without entering the enclosure. The tank cover and base are of all-welded construction, with the cover designed to shed water. All load-break switch controls are provided with a hermetic seal. Gaskets are used on the four secondary bushings and on the hand-hole cover. All gasket mountings are on raised flanges.

The CST is designed for small vault enclosures permitting easy, economical installation in areas where pad-mounted equipment could not normally be used. Bushing arrangements allow for primary entering at one end and the secondary at the other end, as well as for other possible cable arrangements.

The protective finish consists of a specially developed corrosion-resistant, zinc-rich primer with a coal-tar epoxy covering applied to a properly prepared transformer surface. For installations in highly corrosive environments, additional cathodic protection can be provided.

Optional accessories include: dual-voltage (series-multiple) switch and tap-changing switch, both for de-energized operation only; loop-feed, load-break switch (2 two-position switches) or radial-feed switch (1 two-position switch).



(Photo 1212592)

Typical three-phase 500-kva commercial subsurface transformer

Voltage Ratings

Delta-connected		Wye-connected Isolated Neutral		Wye-connected Having Commonly Grounded with Secondary Neutral	
High Voltage	Low Voltage	High Voltage	Low Voltage	High Voltage	Low Voltage
2400	208GrY/120	4160Y	240	4160GrY/2400	208Y/120
4160	208Y/120	8320Y	240 with 120V Mid-tap in 1φ	8320GrY/4800	216Y/125
4330	240	12,470Y		12,000GrY/6930	460Y/265
4800	240 with 120V Mid-tap in 1φ	13,200Y	480	12,470GrY/7200	480Y/277
7200				13,200GrY/7620	
8320	216GrY/125			13,800GrY/7970	
12,000	216Y/125			14,400GrY/8320	
12,470	460GrY/265			16,340GrY/9435	
13,200	460Y/265			20,780GrY/12,000	
13,800	480GrY/277			22,900GrY/13,200	
14,400	480Y/277			23,900GrY/13,800	
16,340	480			24,940GrY/14,400	

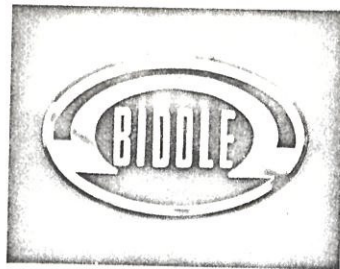
PUBLICATIONS: (Use latest issue)
Descriptive Bulletin GEA-8652

Revised since Jan. 26, 1970 issue.

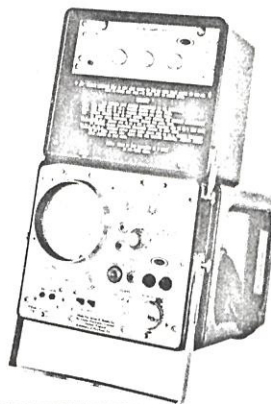
NB 700, 701, 702, 711-713, 721-723, 731-737
NC 700, 711-713, 721-723, 731-737

Prices and data subject to change without notice

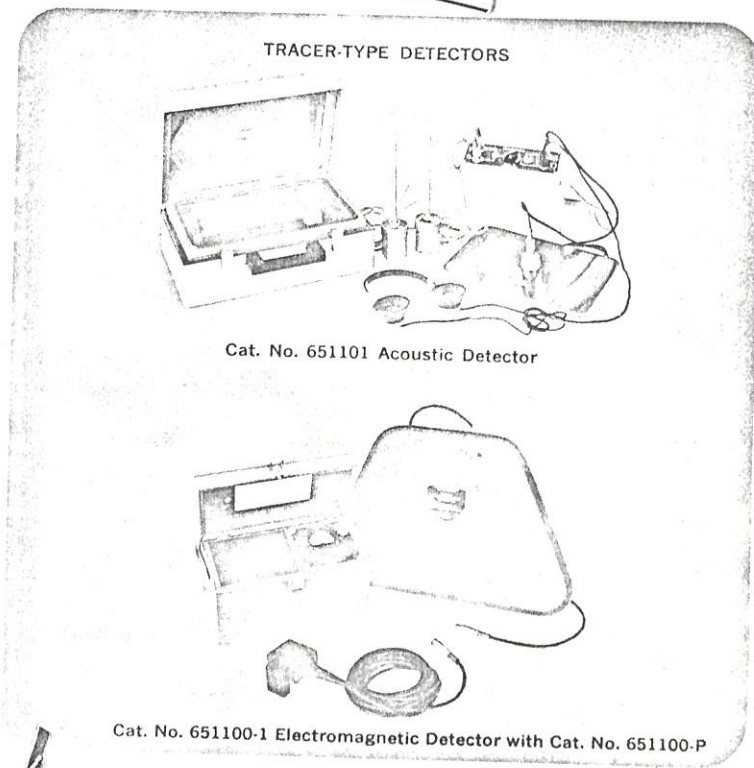
GENERAL ELECTRIC



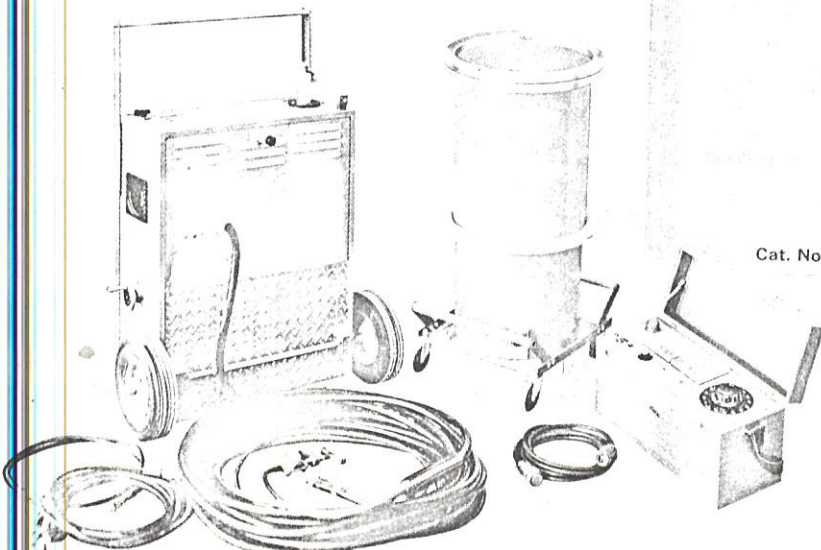
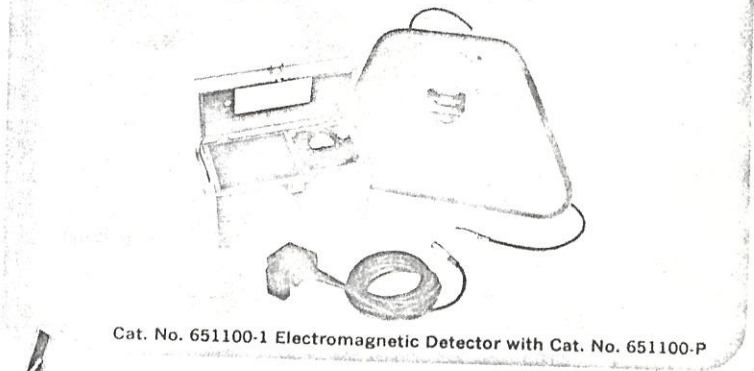
Cable Fault Locating Equipment



RADAR
Cat. No. CME-110A
Pulse Reflection Set
With Cat. No. CME-111
Pulse Amplifier



Cat. No. 651101 Acoustic Detector



Cat. No. 650125 Tracer-Type Impulse Generator with Cat. No. 221050 50 kV Dielectric Test Set

A Word About Fault Locating

As the use of electrical power continues to grow throughout the world, maintaining the continuity of electrical power-cable systems as the vital link between generation and utilization grows correspondingly more important. In most cases, restoration of a faulty cable circuit must be performed quickly to minimize the economic losses that can result from a forced shutdown due to the loss of electric power.

A similar and more critical situation exists within the electric utilities whose business it is to generate and distribute electric power. If a utility experiences a cable outage, it can seriously affect many industrial customers at one time. Similarly, with the use of direct-burial cable for residential service on the upswing, the home is just as vulnerable to loss of power from cable outages. The purpose of Cable Fault Locating and Proof Testing Equipment is to quickly and efficiently identify and locate faults and weaknesses in cables. Biddle was one of the earliest manufacturers of fault locating equipment and this bulletin summarizes the wide variety of equipment which is available today.

Types Of Fault-Locating Equipment

Cable Fault locating equipment can be grouped into two categories: "Terminal" and "Tracer" types.

TERMINAL EQUIPMENT

Localizes faults after being connected to the terminals of a cable system. Depending upon the terminal equipment selected, *localization to within $\pm 5\%$ of total cable length can easily be accomplished.*

TRACER EQUIPMENT

Utilizes a High Voltage Impulse Generator and Detector—and requires cable patrol in the vicinity of the fault localized by the Terminal equipment.

Using this equipment, it is quite common to *pinpoint the fault location to within six inches.*

Equipment selected from the above categories should be determined by the type of cable installation on which it will be used. While it is not necessary to use "Terminal" equipment to localize faults, it does reduce total man hours necessary to find and repair them.

Selection Guide

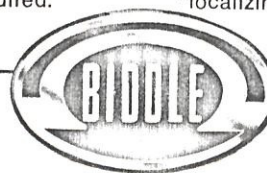
This guide is arranged to help you select fault locating equipment by relating its selection directly to the type of cable installation. Fault locating equipment should be purchased as a "package." That is to say, no single piece of equipment can find all faults. Because of this we have created two groups: an Economy Equipment Package and a Complete Equipment Package.

ECONOMY PACKAGE

Contains one Terminal Instrument (a Megger® Tester) and one Tracer System containing one detector. This equipment can be used for pinpointing faults without localizing as the Megger Tester only categorizes faults. However, complete patrol of the cable is required.

COMPLETE PACKAGE

Contains a terminal instrument which localizes, and a Tracer system containing at least two detectors and a Cable Locator. This equipment is capable of obtaining very accurate measurements in fewer manhours, by first "localizing" and then pinpointing the fault.



SELECTION GUIDE #1 for Duct-Enclosed Primary Cable with Manholes (5-15 kV Concentric Neutral or Lead Sheathed)

GROUP 1: TERMINAL EQUIPMENT

21154 or 21158 MEGGER Tester

Function

Measure fault resistance to categorize fault

Reference & Use

Bulletin 21-50

CME-110A/CME-111 Radar Pulse Reflection Set

Localize fault to within $\pm 2\%$ of range

Bulletins 65 and 65-1

650325 High Voltage Murray Loop Bridge

"Localize" the fault using a good and faulty cable together. 650325 fault resistance range to 3 M ohms @ 25 kV excitation voltage.

Bulletin 65

72-432 Low Voltage D.C. Murray-Varley Loop Bridge

Fault resistance range 1000 ohms and less @ 4.5 V internal or 22.5 V external excitation voltage

Bulletin 72-7

GROUP 2: TRACER TYPE-GENERATORS

650125 (25 kV @ 4 MFD) Impulse Generator

Depending on fault characteristics—use on circuits 6 miles in length, or longer.

Manual 65T
Ideal for URD & duct systems

220040 0-40 kV for 2 purposes:

1. Impulse Driver for Cat. No. 650125
2. Dielectric Test Set

Bulletin 22-40
Conventional 650125 driver unit 40 kV proof not adequate for some applications

221050 0-50 kV for 2 purposes:

1. Impulse Driver for Cat. No. 650125
2. Dielectric Test Set

Bulletin 22-50
Tendency by users to proof test up to IPCEN levels.

Combination Unit

651025 (25kV @ 1.65 MFD)
Impulse Generator and Proof Test Set

Depending on fault characteristics—use on circuits 3 miles in length, or longer.
Impulse 25 kV every 3 seconds; 0.25 kV for proof testing

Manual 65T
Conventionally chosen for most duct systems in the past. Energy output for some water faults is marginal

Combination Unit

652025 (25 kV @ 12 MFD)
Impulse Generator and Proof Test Set

Depending on fault characteristics—use on circuits 18 miles in length, or longer.
Impulse 25 kV every 6 seconds; 0.30 kV for proof testing

Manual 65T
Being used for duct systems where water faults are prevalent and high energy is a requirement

Combination Unit

651015 (15 kV @ 2 MFD)
Impulse Generator and Proof Test Set

Depending on fault characteristics—use on circuits 2 miles in length, or longer.
Impulse 15 kV every 3 seconds; 0.15 kV for proof testing

Manual 65T
Used with drag cable in mines, in-plant use and other applications

GROUP 3: TRACER TYPE-DETECTORS

651100-1 Electromagnetic with Iron Core Coil

Check Cables in manholes. Isolate fault between manholes

Manual 65T

651101 Acoustic

Can be used over cable run and in manholes to verify 651100-1

Bulletin 65

651102 Acoustic/Electromagnetic

Performs both of the above functions

Bulletin 65

Selection Guide #1 (Con't)

Economy Equipment Package

- For Group 1: 21154 or 21158 MEGGER Tester
 For Group 2: First choice—650125 and 221050, if Direct Buried is also a consideration. Select 651025, 652025 or 651015 depending upon length of cable circuits.
 For Group 3: 651100-1

Complete Equipment Package

- For Group 1: 21154 or 21158 MEGGER Tester, and CME-110A/CME-111
 For Group 2: First choice—650125 and 221050 if Direct Buried is also a consideration. Select 651025, 652025 or 651015 depending upon length of cable circuits.
 For Group 3: 651100-1
 Choose either 651101 or 651102; if 651102 chosen delete 651100-1

SELECTION GUIDE #2 for URD Direct Buried Primary Cable (5-15 kV Concentric Neutral)

GROUP 1: TERMINAL EQUIPMENT	Function	Reference
21154 or 21158 MEGGER Tester	Measure fault resistance to categorize fault	Bulletin 21-50
CME-110A/CME-111 Radar Pulse Reflection Set	Localize fault to within $\pm 2\%$ of range	Bulletins 65 and 65-1
72-432 or 650325 Bridge (refer to Guide #1 on Page 2)	Use when good conductor also available as in duct systems	Bulletins 72-7 and 65
GROUP 2: TRACER TYPE-GENERATORS	Group same as listed in Selection Guide #1	
GROUP 3: TRACER TYPE-DETECTORS		
651100-1 Electromagnetic with Earth Gradient Probes	Patrol cable and measure Impulse Earth Voltage; Pinpoint fault within ± 5 feet	Bulletin 65
651101 Acoustic	Patrol cable and listen for Impulse discharge at the fault Pinpoint fault within ± 6 inches	Bulletin 65
651102 Acoustic/Electromagnetic	Performs both of the above functions	Bulletin 65
GROUP 4: CABLE TRACING	Trace cable being impaled	Bulletin 65
651100-P Flat Loop		

Economy Equipment Package

- For Group 1: 21154 or 21158 MEGGER Tester
 For Group 2: 650125 and 221050 first choice; Select 651025, 652025, or 651015 depending upon length of cable circuits.
 For Group 3: Choose either 651101 or 651102

Complete Equipment Package

- For Group 1: 21154 or 21158 MEGGER Tester
 For Group 2: 650125 and 221050 first choice; Select 651025, 652025, or 651015 depending upon length of cable circuits.
 For Group 3: 651100-1 with Earth Gradient Probes
 Choose either 651101 or 651102; if 651102 chosen delete 651100-1
 For Group 4: 651100-P

SELECTION GUIDE #3 for URD Direct Buried Secondary Cable (600 V Unshielded)

GROUP 1: TERMINAL EQUIPMENT	Function	Reference
21154 or 21158 MEGGER Tester	Measure fault resistance to categorize fault	Bulletin 21-50
72-432 Low Voltage D.C.	Same as listed in Selection Guide #1	Bulletin 72-7
Murray-Varley Loop Bridge		
CME-110A/CME-111 Radar Pulse Reflection Set	Usually not applicable to URD Secondary systems unless duplex or triplex cable is used	Bulletins 65 and 65-1
GROUP 2: TRACER TYPE-GENERATORS	Useable on faults as high as 50 k ohms to ground unshielded cable only	Bulletins 65-90 and 65
651000 (1000 V 100 ma) Earth Gradient Transmitter	Use on faults not covered by 651000. Impulses 0.5 kV every 3 seconds, 0.5 kV for proof testing	Bulletin 65
Combination Unit		
651005 (5kV @ 16 MFD)	Patrol cable measuring Earth Voltage resulting from 651000. Pinpoint fault to within ± 6 inches	Bulletins 65-90 and 65
Impulse Generator and Proof Test Set	Patrol cable observing amplitude and polarity of impulse (651005) Earth Voltage. Pinpoint fault to within ± 5 feet	Bulletin 65
GROUP 3: TRACER TYPE-DETECTORS	Patrol cable and listen for discharge of impulse from 651005 at the fault. Pinpoint fault to within ± 6 inches	Bulletin 65
651001 with Earth Gradient Probes	Same as 651100-1 and 651101.	Bulletin 65
651100-1 with Earth Gradient Probes	Trace cable being impaled by Cat. No. 651005	Bulletin 65
651101 Acoustic		
651102 Acoustic/Electromagnetic		
GROUP 4: CABLE TRACING		
651100-P Flat Loop		

Economy Equipment Package

- For Group 1: 21154 or 21158 MEGGER Tester
 For Group 2: 651100
 For Group 3: 651001 with Earth Gradient Probes.
 Supplied with 651000

Complete Equipment Package

- For Group 1: 21154 or 21158 MEGGER Tester, and 72-432 Bridge
 For Group 2: 651000, 651105
 For Group 3: 651001 with Earth Gradient Probes. Supplied with 651000, 651100-1 with Earth Gradient Probes. Choose either 651101 or 651102; If 651102 chosen delete 651100-1.
 For Group 4: 651100-P

SELECTION GUIDE #4 for Other Cable Installations Sometimes Encountered

SUBMARINE CABLES (Primary Shielded) Apply CME-110A/CME-111 or a dc Bridge to localize fault. Then apply appropriate Impulse Generator, selected from tables on primary cable, with a 651100 and 651101, or 651102 detector to pinpoint the fault.

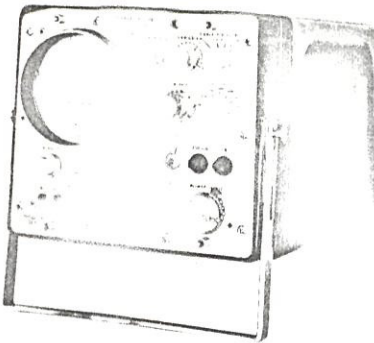
RADIANT HEATING, HEAT TRACING AND SNOW MELT CABLE (Low Voltage Shielded) Apply CME-110A/CME-111 or a dc Bridge to localize fault. Then apply 651005 and 651101 or 651102 to pinpoint fault where these instruments can be used safely. Other L.V. ac instruments are presently being evaluated by James G. Biddle Co. for this application.

SERIES STREET LIGHTING (Primary Unshielded) Constant currents of 5.5 and 6.6 amps apply to these circuits. Apply a dc Bridge to localize the fault then Impulse with 651005 or 651015 using 651101 or 651102 to pinpoint the fault.

AERIAL CABLES (Primary Shielded) Apply CME-110A/CME-111 or a dc Bridge to localize fault. Then apply appropriate Impulse Generator, selected from tables on primary cables, with a 651100 and 651101 or 651102 detector to pinpoint the fault.

COMMUNICATIONS CABLE (Low Voltage Telephone, CATV, etc.) CME-110A/CME-111 or the dc Bridge 72-432 to localize the fault. Request Special Applications Notes for These Applications from James G. Biddle Co.

TERMINAL EQUIPMENT—RADAR



CME-110A Pulse Reflection C Set

DESCRIPTION

An instrument which is designed to locate power and communication cables by initiating down the cable and observing the reflected any discontinuity. Short circuits yield a "no reflection" pulse, open conductors yield a reflection pulse. Faults with resistance between may be observed using the x 5 Amplifier. Pulse Amplifier provides additional gain to

TYPICAL APPLICATIONS

Aerial Feeders—balanced and unbalanced	Naval Systems
Aircraft Systems	Power Cables especially us
Cable Manufacturers	oxidized aluminum conductors
Cable Radio and T.V. systems	Slip-ring Brushes
Coaxial Rotating Joints	Submarine Cable
Distribution Cables	Telephone Cable
Industrial and Domestic Wiring	Telephone Over

SPECIFICATIONS

Input Power

110 or 230 V ac, 45 to 550 Hz 25 VA for recharging. Self-contained rechargeable batteries (1 provide 5-hour continuous operation.

Range

2 to 10,000 yards in 7 range positions of 100, 5000, and 10,000 yards.

Accuracy

±5% of range on C.R.T. Graticule.
±2% using X-shift vernier.

Dielectric Constant Calibration

Selector switch provides preset fixed calibration for polyethylene and teflon. Variable position allows other Dielectric materials with constants from

Calibrator

Built-in delay line provides standard for Dielectric calibration.

Vert. X5

Built-in x 5 gain using an additional vertical axis.

Pulse Width and Amplitude

Width varies with range from 20 to 3000 nanoseconds. 10 Volts open circuit.

Cable Impedance Range

Set matched to operate into impedances between 1000 ohms.

Construction

One-piece welded construction—Case is watertight and submersible into two feet of water.

Size and Weight

7½" H x 8½" W x 16¼" L — 18 cm x 22 cm x 41 cm
13½" lbs (6 kg) without batteries
17½" lbs (8 kg) with batteries

Temperature Range

Fully operational from 26°C to 55°C

Options Available

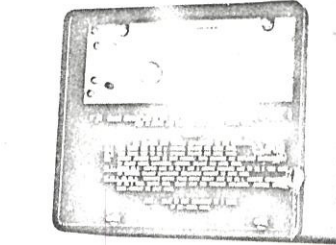
Metric ranges.
Polaroid-type camera.
Coaxial Connector Adapter Kit for BNC and UHF connections.

Accessories

One 5 ft. UHF input cable with Alligator clips, and one input power cable.

Test Set

All types of pulses caused by



Cat. No. CME-111 Pulse Amplifier

DESCRIPTION

Designed to be used with the CME-110A Test Set to compare faulty cable with a known good cable. Test Set is connected to the selector switch.

additional gain continuously adjustable allows comparison of a faulty cable with a known good cable. The pulse generated by the CME-110A and CME-111 buffer Amplifier and function selector switch.

Reflection Amplifier

Vertical gain

Function Selector

CH.1-Line

CH.2-Line

Alternate—CH

all

CH.1 (minus) C

TX. CH.1 RX. CH

CHARACTERISTICS

Gain adjustable from x 1 to x 100

Operating Modes

to CH.1 displayed.

to CH.2 displayed.

H.2 are displayed simultaneously to comparison.

Algebraic difference of CH.1 and CH.2 displayed.

Transmits output pulse down faulty pair in CH.1. Receives reflections on CH.2 from another pair. Detects cross-over or split pairs.

CME-111 Delay

30 NS equivalent to

air-dielectric cable

System Delay CME-111

Minimum distance in cable.

is 20 yards of air-dielectric

Dimensions

Instructions sent for cable

height

3" W x 5½" D

cm x 20 cm x 14 cm). Weight

Accessories

Instruction book

lifts to give access to storage

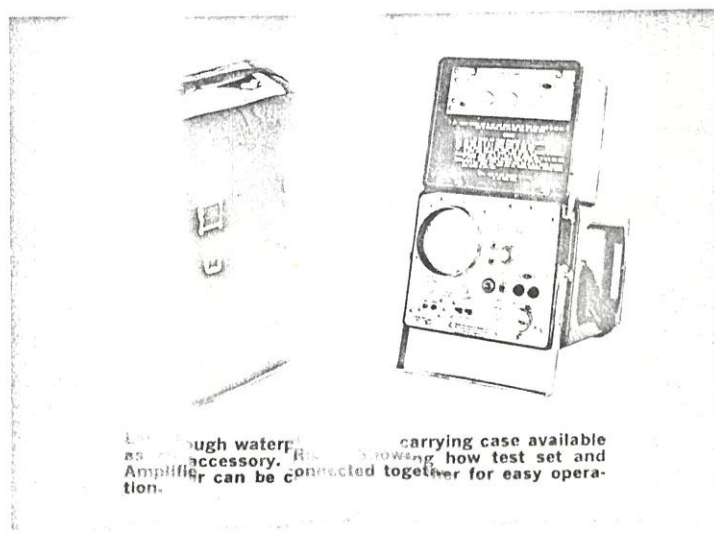
R.T. filter

cm x 20 cm x 14 cm). Weight

Accessories

UHF input

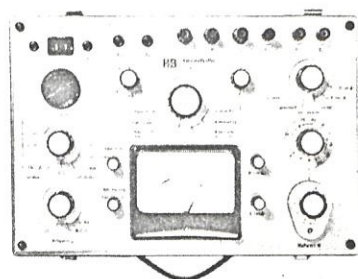
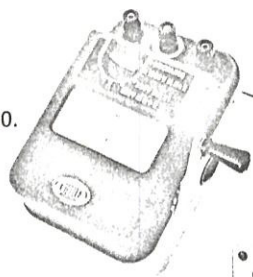
with Alligator clips, and one



DC TERMINAL EQUIPMENT

Megger® Testers

Cat. Nos. 21154 or 21158 can be used to categorize a fault as to resistance value, either conductor to ground or ground to conductor. See Bulletin 21-50.



EFK1 Universal Cable Test Set

Performs Murray Loop and multiple cable fault loop measurements for loop resistances above 0.01 ohms and fault resistances less than 1 Megohm. This is a multi-purpose test set which is mainly intended for locating faults in telephone, control, and measuring cables as well as service maintenance on these cables. See Bulletin 85.



Low Voltage DC Wheatstone Murray-Varley Loop Bridge

Cat. No. 72-432 is for Murray-Varley and loop resistance measurements. Resistance of the cable loop should be at least .3 ohms and the fault path resistance 100 ohms or less. See Bulletin 72-7

High Voltage DC Murray Loop Bridges (Not shown)

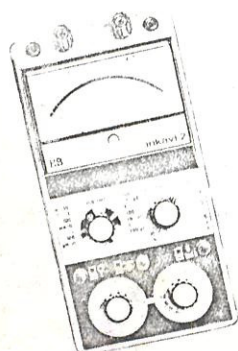
Cat. No. 650325—25 kV excitation (supply) voltage. Reads out in percentage of loop length to fault resistance as high as 3 mΩ.

Cat. No. 650320—20 kV excitation (supply) voltage. Reads out in percentage of loop length.

Low Voltage DC Murray Loop Bridge (Not shown)

Cat. No. 655001—6 V excitation (supply) voltage. Reads out in percentage of loop length to fault resistance as high as 200mΩ.

AC TERMINAL EQUIPMENT



AC Capacitance Bridge

For locating complete conductor breaks in single and multiple conductor cables. This bridge is useable if the insulation resistance to ground of the faulted conductor is at least 2000 ohms—divided by the cable capacitance in Microfarads. (The capacitance of power cables may be assumed to be 0.05 μF per 1000 ft. whereas the capacitance of telephone cables is .083 μF per mile). It is impractical to use this method if the faulted cable has numerous branches, or if current, potential, or power transformers are permanently connected.

EQUIPMENT AVAILABLE:

- Cat. No. 4231-000 Inkavi Capacitance and Inductance Bridge.
- Cat. No. 4423-111 EFK1 Universal Cable Test Set. See Bulletin 85.

HIGH VOLTAGE DC TRACER EQUIPMENT IMPULSE GENERATORS

BASIC OPERATION: An impulse wave is generated by charging a capacitance, then discharging it into a cable. This wave travels along the cable until it reaches the fault—then arcs over it, provided the crest voltage and energy content of the wave is sufficient. A 25 kV crest is common and a requirement on the larger systems. 15 kV crest receives some acceptance on smaller systems. Water faults, in particular, require high energy sets. Refer to Selection Guide for determining the proper Impulse Generator.

Impulse Generator/Proof Test Sets

CAT. NO. 651005



Economical equipment for use on cables rated up to 5 kV. See Selection Guide under "Direct Buried Secondary Cables."

Input Voltage:

115V, 50/60 Hz, single phase 500 VA

Output:

Impulse & Voltage: continuously adjustable 0.5 kV

Storage Capacitance: 16 μ fd

Internal Stored Energy at 5 kV: 200 watt-seconds

Pulse Timing: Automatic 3 to 3.6 seconds interval, with 3 secs. at 60 Hz, 3.6 secs. at 50 Hz.

Proof Test:

Voltage: 0.5 kV

Current: 10 mA @ 5 kV; 60 mA, 2 kV continuous.

Meters:

Kilovoltmeter: single range 0 to 5 kV

Accessories Included:

Input Cable: 50 ft.

Ground Cable: 15 ft. with clamp

Output Cable: 25 ft. permanently connected to set.

Dimensions and Weight:

26" H x 21" W x 13" D

(62cm x 55cm x 34cm)

Wt. 146 lbs. (66kg)

CAT. NO. 651015

Economical equipment for use on cables rated up to 15 kV. See Selection Guide under "Primary Cables."

Input Voltage:

115V, 50/60 Hz single phase, 600 VA

Output:

Impulse Voltage: continuously adjustable 0 to 15 kV

Storage Capacitance: 2 μ fd

Internal Stored Energy at 15kV: 225 watt-seconds

Pulse Timing: Automatic 3 to 3.6 seconds interval, with 3 secs. at 60 Hz, 3.6 secs at 50 Hz.

Proof Test:

Voltage: 0 to 15 kV

Current: 3 mA @ 15 kV, 25 mA @ 5 kV continuous

Meters:

Kilovoltmeter: single range 0 to 15 kV

Accessories Included:

Input Cable: 50 ft.

Ground Cable: 15 ft. with clamp

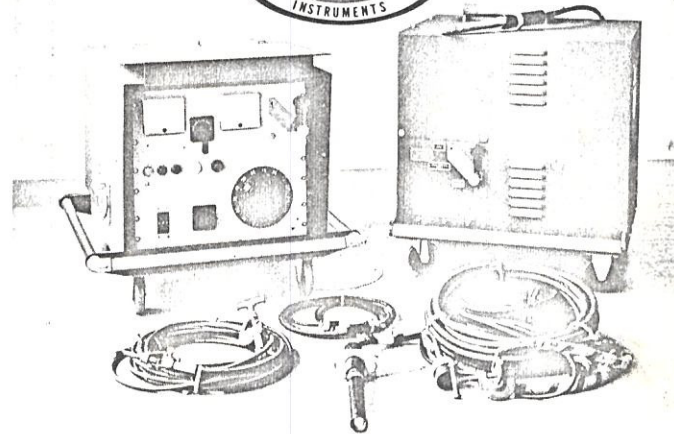
Output Cable: 25 ft. permanently connected to set.

Dimensions and Weight:

26" H x 21" W x 13" D

(62cm x 55cm x 34 cm)

Wt. 146 lbs. (66kg)



CAT. NO. 652025

Heavy-Duty Impulse Generator/Proof Test Set

This semi-portable set is designed for cables rated up to 25 kV. It has the ability to impulse many of the more difficult (water) faults encountered in very large distribution systems beyond the capability of smaller generators. See Selection Guide under "Primary Cables."

Input Voltage:

115 V, 50/60 Hz single phase, 2000 VA

Output:

Impulse Voltage: Continuously adjustable 5 to 25 kV

Storage Capacitance: 12 μ fd

Internal Stored Energy at 25 kV: 3750 watt-seconds

Pulse Timing: Automatic, 7.2/6.0 seconds interval, with 7.2 secs. at 50 Hz, 6.0 secs. at 60 Hz.

Proof Test:

Voltage: 0 to 30 kV

Current: 30 mA @ 30 kV

Meters:

Voltmeter: 0 to 30 kV output

Current: 0 to 5/50 mA also measures relative charge taken by main capacitance bank

Accessories Included:

Input Cable: 25 ft. long

2 Ground Cables: 25 ft. long with clamps

1 Interconnecting 2-wire control cable: 5 ft. long

1 Interconnecting ground cable: 5 ft. long

1 Interconnecting High Voltage Cable: 5 ft. long permanently connected to Impulse Generator

1 Output Test Cable: 75 ft. long

Dimensions and Weight:

26" H x 29" W x 33" D (66cm x 74 cm x 84 cm) Wt. 250 lbs. (114kg)

Impulse Generator:

30" H x 29" W x 27" D (76cm x 74 cm x 69cm) Wt. 350 lbs. (160kg)

CAT. NO. 651025

Mobile Impulse Generator/Proof Test Set

This is a medium-duty unit proven over many years of service in public utilities and heavy industry. See Selection Guide under "Primary Cables."

Input Voltage:

115V, 50/60 Hz single phase, 800 VA

Output:

Impulse Voltage: 0 to 25 kV

Storage Capacitance: 1.65 μ fd

Internal Stored Energy at 25 kV: 515 watt-seconds

Pulse Timing: Automatic, 3 to 3.6 seconds interval, with 3 secs. at 60 Hz, 3.6 secs. at 50 Hz.

Proof Test:

Voltage: continuously adjustable 0 to 25 kV

Current: 10mA@ 25 kV, 15 mA@ 15 kV continuous

Meters:

Voltmeter and Kilovoltmeter: 0 to 130 V AC line; 0 to 30 kV output

Current: 0.3/30/300 mA protected for surge operation.

Accessories Included:

Input Cable: 25 ft.

Ground Cable: 25 ft. with clamp.

Output Cable: 75 ft. detachable.

Dimensions and Weight:

26 1/2" H x 29" W x 27" D (64cm x 74 cm x 68 cm)

Wt. 285 lbs. (130 kg)

CAT. NO. 650125

Impulse Generator (with Cat. No. 221050 Dielectric Test Set)

This instrument converts a Dielectric Test Set (as shown) into an Impulse driver. It can be driven to its full 25 kV rating by using any dc Dielectric Test Set capable of supplying 320 watts output continuously. (See Page 3.) A lower power driver supply can also be used by de-rating impulse generator specifications. The equipment was designed for those who have a preventive maintenance cable program utilizing a dc Dielectric Test Set, who also experience occasional cable faults. The added function of cable location may be added economically by selecting a detector from the Equipment Selection Guide.

Output Voltage: 0 to 25 kV

Surge Generator Capacitance: 4.0 μ F

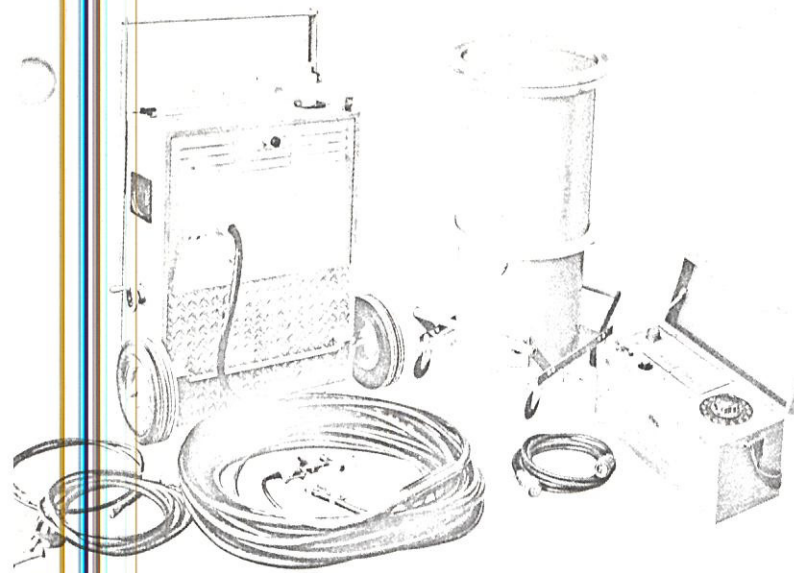
Surge Repetition Range: Controlled by adjustable spark gap—one discharge every eight seconds maximum at 25 kV, slightly faster at less than 25 kV. A fixed gap rotary switch is available. Consult Factory.

Surge Output Available: 1250 watt-seconds at 25 kV.

Accessories Supplied: Ground cable: 15 ft. with clamp. Inter-connected.

Dimensions and Weight:

24" H x 22" W x 20" D (61 cm x 56 cm x 51 cm).
Wt. 150 lbs. (68 kg).



CAT. NO. 654025

Mobile Impulse Generator/Proof Test Set

An economical substitute for Kenatron/Thyatron installations. This test set reduces the cost of substation cable maintenance while also conserving valuable floor area because of its compact design. The set can be used on cables rated up to 27 kV, and its efficient design enables one man to rapidly perform many of the routine tests.

Input Voltage: 115 V, 50/60 Hz, single phase, 2500 VA

Output:

Impulse:

Voltage: 5 to 25 kV
Storage Capacitance: 12 μ fd
Internal Stored Energy at 25 kV: 3750 watt-seconds

Pulse Timing: Automatic, 6/7.2 seconds interval; with 6 secs. at 60 Hz; 7.2 secs. at 50 Hz.
Voltage: 0 to 50 kV

Storage Capacitance: .05 μ fd
Internal Stored Energy at 50 kV: 62.5 watt-seconds

Pulse Timing: 6 seconds fixed interval

Metering:

Impulse Mode:

Output Voltage: 0 to 30 kV single range
Charge Meter: 0 to 30 arbitrary units measure relative charge in main capacitance bank.

Proof Test Mode:

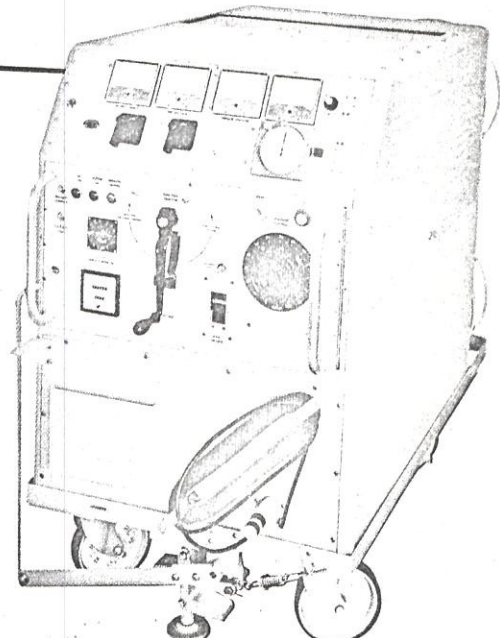
Output Kilovoltmeter: 0 to 2.5/25/50 kV also used for low capacitance impulse.
Output Current: 0 to 1/5/50 mA

Accessories Included:

Automatic discharge of main capacitance bank and power supply. Single lever change-over from proof test to impulse operation. Storage reels for all cables. Input cable 100 ft. long, two ground cables 6 ft. long, one output cable 50 ft. long.

Dimensions and Weight:

5 1/4" H x 32 1/4" W x 59" D (130 cm x 82 cm x 150 cm) Wt. 820 lbs. (373 kg)



CAT. NO. 651000

DC Earth Gradient Cable Fault Locator

A lightweight, portable self-contained Generator and Detector for testing unshielded URD rated to 1 kV. This system is designed for locating faults quickly and accurately between conductor and ground—even if the cable route is not well-known. Semi-skilled personnel can often pinpoint a fault to within 1 ft. or less without exposing the cable. This system allows one man to quickly perform the entire fault locating process by himself. (For detailed information, please refer to the Selection Guide under the heading "Secondary Cable".)

TRANSMITTER SPECIFICATIONS:

Input Voltage:

115 V 50/60 Hz single phase, 300 VA.

Output:

Voltage 0 to 1000 V dc, continuous or periodically reversing in polarity; reversing period 1.2 seconds dwell on each polarity @ 50/60 Hz. Current 100 mA maximum in any mode.

Tau-band Meter:

Output current single range 100 to 0 to 100 mA.

Controls:

Line and Mode Switch, fuse and output voltage/current control.

Case:

Constructed of laminated insulating material with wood-grain finish.

Accessories Included:

1 10-ft. Input Power Cable

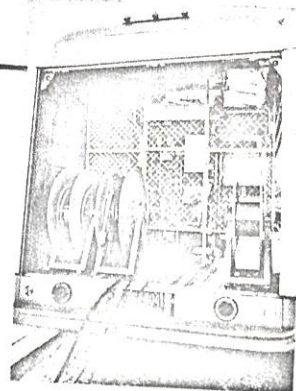
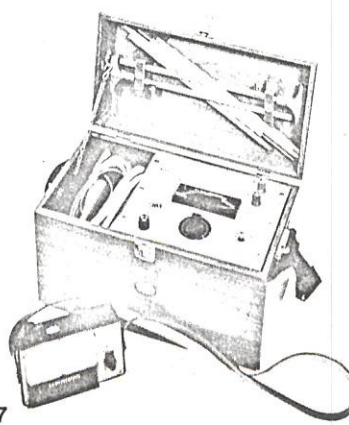
Output Leads: two 10 ft. lengths; one 50 ft. length.

Two collapsible Earth Probes.

Microammeter and two 10 ft. leads.

Dimensions and Weight:

8" H x 14" W x 8" D (20.3 x 35.5 x 20.3 cm) Weight: 32 lbs. (14.5 kg.)



TRUCK-MOUNTED TEST SETS

The Biddle Co. can supply this equipment on a special order basis. Please send your inquiries to Plymouth Meeting.

BIBLIOGRAFIA

LOTHAR HEINRICH

"Cables conductores para transporte de energía".

HANS FLUCHERT

"La escuela del técnico electricista (Vol. III - Técnica de las medidas eléctricas)".

BIDDIE TECH. SCHOOL

"Lectures on cable fault locating in Power systems".

J. BIDDIE Co. PUBL. 22TI, 1971

"Insulation testing by dc methods".

O.V.Telles and M.E.Gillihan

"Locating underground faults Power Distribution conference, Tex. Oct. 1971".

P.H. REYNOLDS

Cable fault location techniques".

I.E.E.E. Suplement.

"Special tech. Conf. - underground distribution, 31C35, 1966".

O.X. HEINRICH

"Methods and equipment for locating cable".

PHILIPS DODGE COPPER PRODUCTS

"Fault locating and field testing of power cable engineering".

WESTINGHOUSE

"Underground Systems - reference book".

- CHALMERS, MANNING
"Import of cable faults
I..... - Vol-Lia-9 No.
4".
- COOPER, JAMES
"Transmission and dis-
tribution reference --
Book".
- A.J. DICKINSON
"General Standard del In-
geniero Electrico".
- G.B. DUNWICH, JR.
"Análisis de sistemas
eléctricos de potencia".
- J.D. EWING
"Electromagnetismo".
- HESKETH, Leo J.
"The triple alliance in
electrical insulation"
Electrical Engineering,
Vol 59 (Jan, 1940).
- FIELD, R.W.
"The basis for the Non
destructive testing of
insulation" - A.I.E.,
Vol. 60 (Sept. 1941).
- BUCK, FLOYD, AL TELAH, MITTER
"Cable fault location"
39th meeting transmis-
sion and distribution
committee. (Feb. 16-19
1946).
- HARDING G.B.
"Cable fault reduction
and localization by the
direct method". - 39th
meeting, T. and D. ---
Committee.

JAQUEMIL DEL CANTILLO P.

"Entrenamiento de ca-
bles subterráneos en
sistemas de distribu-
ción de energía eléc-
trica". - Congreso
Panamericano Ing. Mecá-
nica, Eléctrica y re-
medios finos. (soñt. 1969)

UNESCO INTERNATIONAL CONFED-
ERATION.

"Fault location in un-
derground cable systems"
Papers and publications
(Feb. 1943).